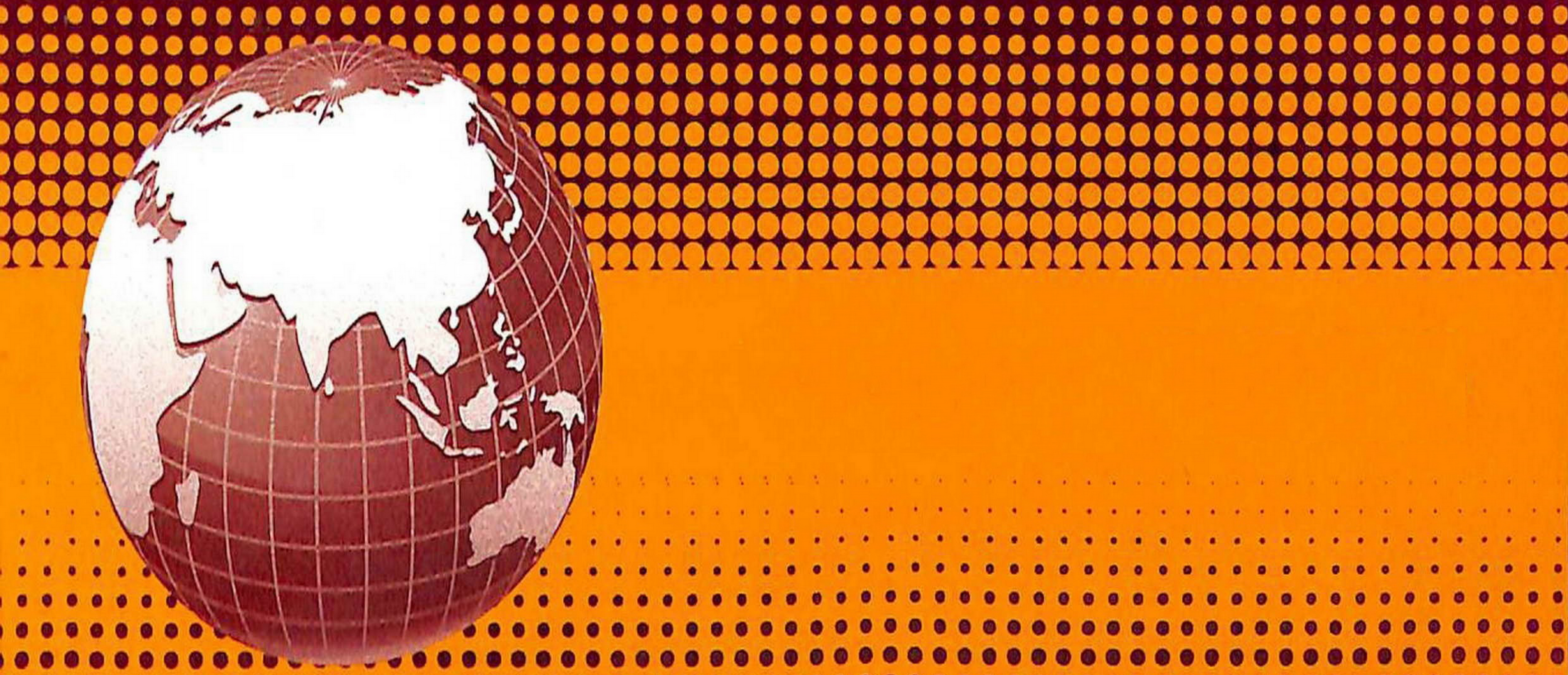
ՀՍՍՌ ԳԱ Երկրաբանական և աշխարհագրական գիտությունների սերիա

4hSAHQ3AHUUTT TP4Ph UUUPU HAYKN О ЗЕМЛЕ EARTH SCIENCES



ԽՄԲԱԳՐԱԿԱՆ ԿՈԼԵԳԻԱ՝

Ա. Հ. Գաբրիծլյան (պատ խմթագիր), Ա. Տ. Ասլանյան, Ա. Բ. Րաղդասարյան, Գ. Պ. Բաղդասարյան, Ն. Ի. Դոլուխանովա, Բ. Շ. Թադևոսյան, Է. Ա. Խաչատրյան (խմթագրի տեղակալ), Ա. Հ. Մեսրոպյան, Ս. Ս. Մկրաչյան, Հ. Մ. Վանցյան, Ն. Գ. Մելիբ-Մուրադյան (պատ, քարտու-

РЕДАКЦИОННАЯ КОЛЛЕГИЯ:

А. А. Габриелян (ответ. редактор), А. Т. Асланян, А. Б. Багдасарян, Г. П. Багдасарян, Г. М. Ванцян, Н. И. Долуханова, А. И. Месропян, С. С. Мкртчян, Т. Ш. Татевосян, Э. А. Хачатурян (зам. редактора), Н. Г. Мелик-Мурадян (отв. секретарь), С. М. Айвазян.

and the same of th

ՀԱՅԿԱԿԱՆ ՍՍՌ ԴԻՏՈՒԹՅՈՒՆՆԵՐԻ ԱԿԱԴԵՄԻԱՅԻ ՏԵՂԵԿԱԳԻՐ известия академии наук армянской сср

Երկրաբ, և աշխարճագր, գիտ.

XV, № 2, 1962 Геологич и географич. маука

ТЕКТОНИКА

С. К. АРЗУМАНЯН

новые данные о тектонике ереванского СОЛЕНОСНОГО БАССЕЙНА

Ереванский соленосный бассейн протягивается с юго-запада на северо-восток и прослеживается от гайона сс. Норагавит и Аргаванд до района с. Фонтан и юго-западных берегов оз. Севан, а с востока на запад прослеживается на территории, расположенной между сс. Джрвеж и Аштарак.

Возраст соленосных пород Ереванского района определяется как средне-верхнемиоценовый.

Вопросы геологического строения района освещены достаточно детально [1, 2]. Однако, тектоническое строение этого района, вследствие широкого развития базальтовых покровов, оставалось далеко не уточненным. Поэтому, до последнего времени, представления о тектоническом строении основывались, главным образом, на экстраполяции и интерполяции данных соседних обнаженных районов.

В последнее 10-летие в пределах Ереванского соленосного бассейна, в частности Канакер-Егвардского плато, пробурено большое количество скважин, давших ценнейший геологический материал, уточняющий тектоническое строение соленосного бассейна.

Ранее предполагалось, что структуры Канакер-Егвардского плато представляют нормальные антиклинали, имеющие северо-восточное простирание, протягивающиеся параллельно Шорахбюрской антиклинали, обнажающейся к востоку от гор. Еревана. В строении последней принимают участие породы эоцена, олигоцена и нижнего миоцена, собранные в асимметричную антиклинальную складку с крутопадающим северо-западным крылом. В пределах Ереванского соленосного бассейна, в частности в районе Канакер-Егвардского плато, образования эоценового, олигоценового и нижнемиоценового возраста дислоцированы слабо, и углы ладения этих пород составляют 7—10—12—15°. При этом они падают моноклинально с юга на север.

На фоне этой моноклинали образования эоцена, олигоцена и нижнего миоцена очень слабо дислоцированы и образуют очень пологие антиклинали и синклинали, протягивающиеся с юго-запада на северо-восток параллельно Шорахбюрской антиклинали. Выше по разрезу залегают соленосно-гипсоносные образования, которые связаны с нижележащей пестроцветной толщей постепенным переходом.

По падению моноклинали установлено увеличение мощности камен-

ной соли. Так, например, если в районе с. Норагавит, расположенном на приподнятой части моноклинали, мощность соли составляет 20—40 м, то в районе сс. Элар и Арамус, расположенных в зоне ее погружения, мощность соли превышает 1000 м.

Проведенные исследования показывают, что севернее Приереванского глубинного разлома до обрыва Ереванского амфитеатра, разделяющего Араратскую низменность от Канакер-Егвардского плато, соленосные породы имеют также моноклинальное падение с юга на север, а уже севернее последнего установлено наличие соляных структур.

Как видно из прилагаемой карты (фиг. 1), структуры, осложненные соляной тектоникой приурочены к зонам больших мощностей соленосных



Фиг. 1.

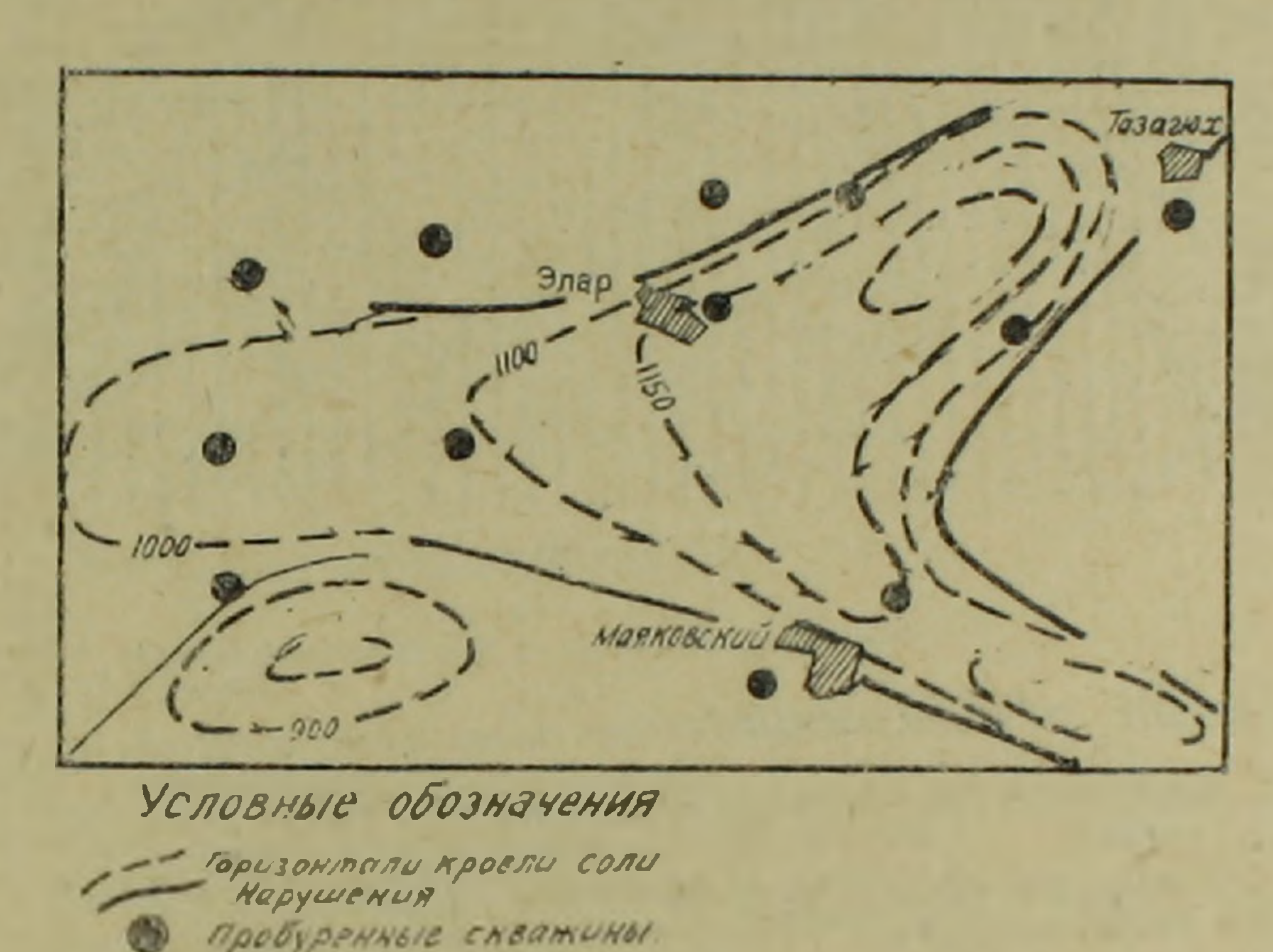
образований, что свидетельствует о решающем значении мощности соли и образовании солевых структур. Среди основных солевых структур наиболее хорошо изучены: Эларская, Разданская, Аванская, Арамусская, Кирза-Зейтунская и соответствующие им компенсационные депрессии или синклинали.

Эларская соляная антиклиналь расположена в пределах с. Элар и имеет своеобразное строение. Она в своей западной части имеет широтное простирание с некоторым смещением оси на северо-восток. Ее северо-во-

сточная переклиналь разветвляется на две части — северную и южную. Северная часть протягивается в северо-восточном направлении в сторону c. Таза-гюх, а южная — в сторону c. Арамус (фиг. 2).

В геологическом строении Эларской соляной антиклинали принимают участие отложения среднего и верхнего миоцена, а также покровные базальты плиоценового и постплиоценового возрастов (фиг. 3). Длина западной, неосложненной части структуры составляет 4 км, а ширина 1 км. Длина Тазагюхского ответвления достигает 1,5 км, а ширина 1 км. Предполагаемая длина восточного ответвления составляет 1,5 км, а ширина 1 км.

Схематическая структурная карта Эларской соляной антиклинали



Фиг. 2

В приосевой части, описываемой соляной антиклинали, принимают участие отложения среднего миоцена. Кроме того, здесь участвуют и лавы плиоцен-постплиоценового возрастов.

В синклиналях принимают участие как средневерхнемиоценовые образования, так и лавовые покровы. Следует отметить, что в синклиналях наблюдается увеличение мощностей, как верхнемиоценовых, так и плиоценовых образований.

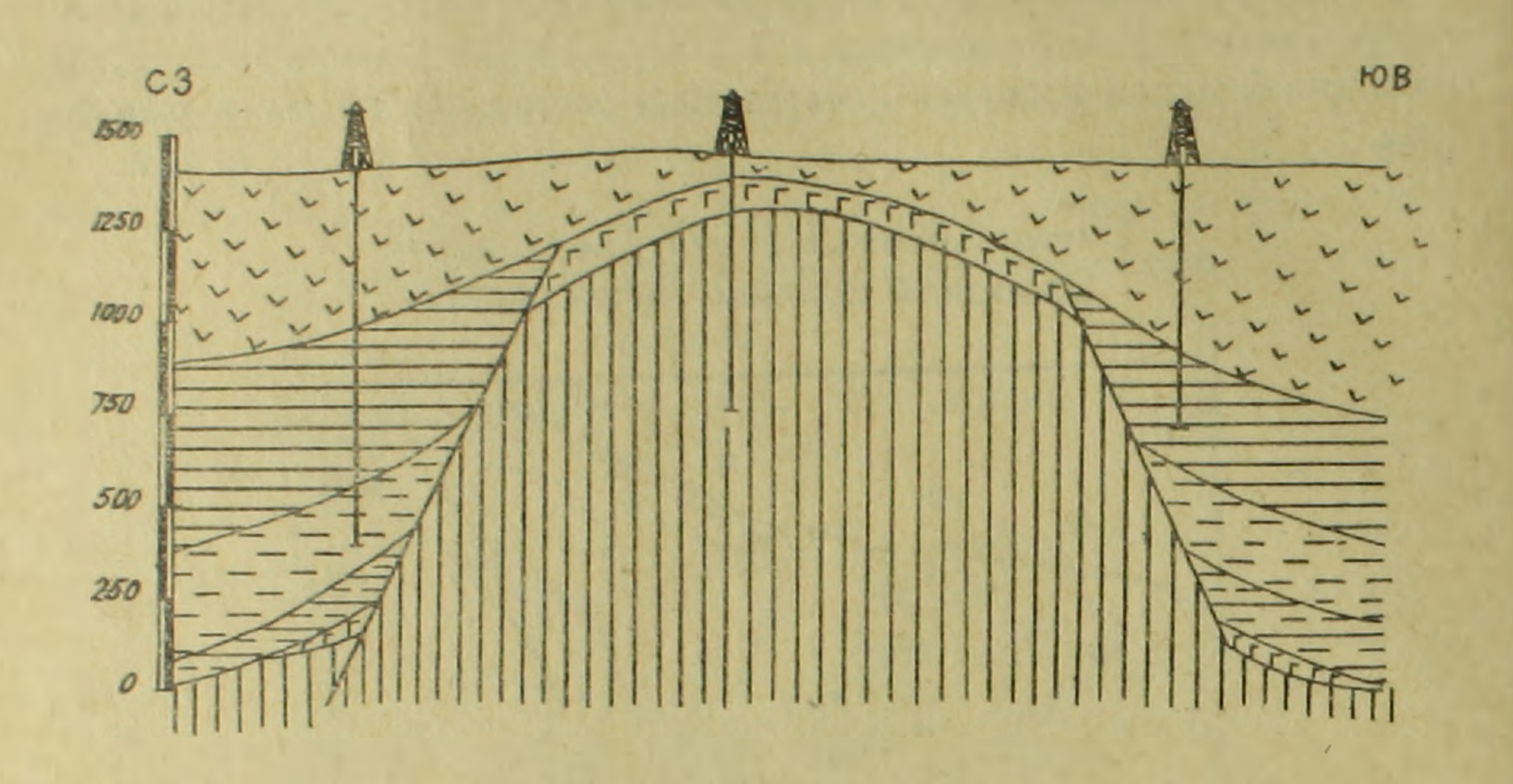
Юго-западная часть описываемой структуры представляет собой нормальную соляную антиклиналь с некоторой ассиметричностью, где породы юго-восточного крыла падают под углом 25—35°, а северо-западного крыла — 15—25°.

Здесь мощность базальтового покрова в сводовой части составляет 70 метров, а в крыльях мощность его достигает 450 метров. Породы верхнего миоцена на сводовой части структуры отсутствуют, они принимают участие только в строении крыльев, где углы падения пластов составляют 20—35°.

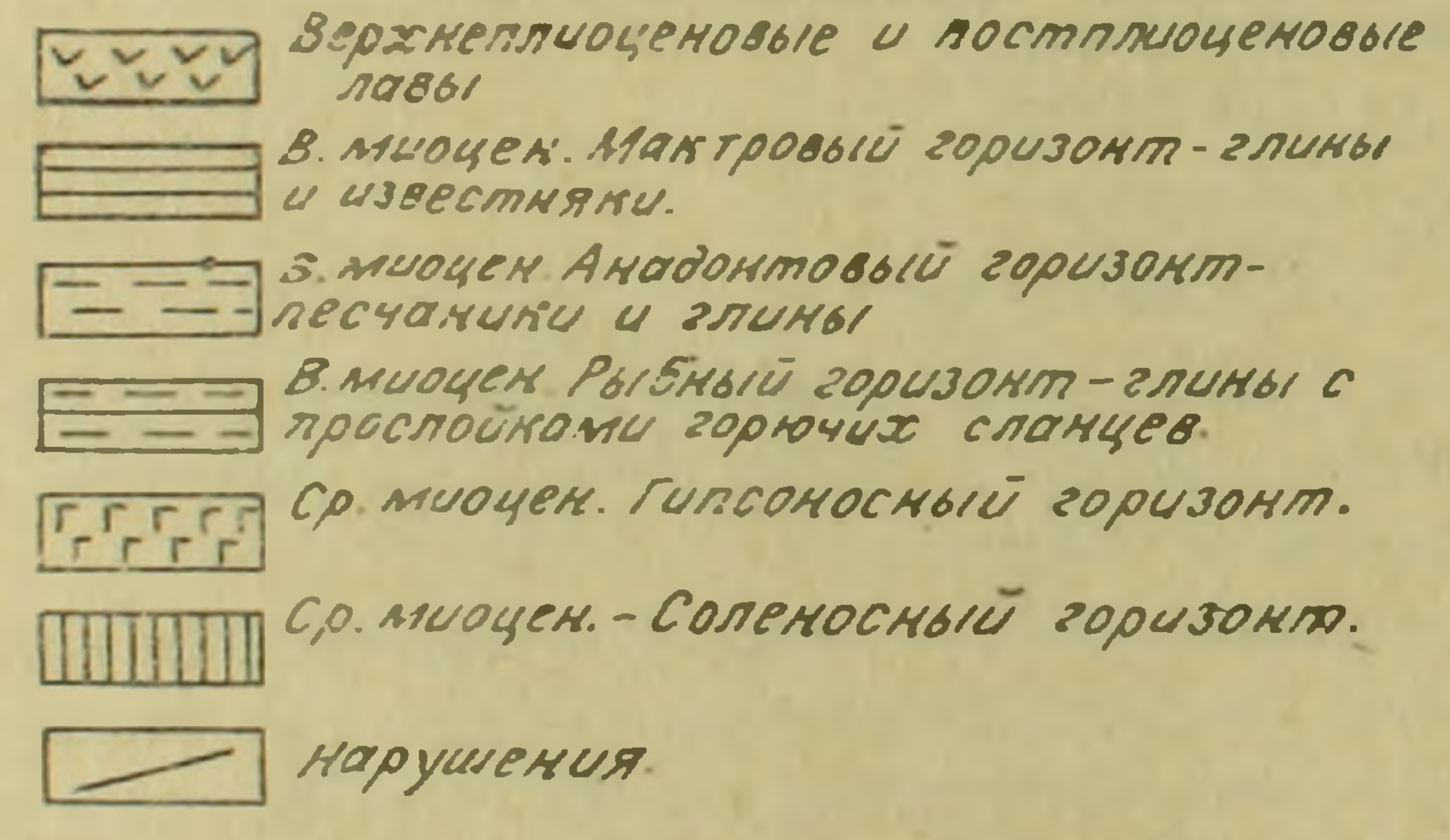
Среднемноценовые породы (гипсоносно-соленосная толща) принима-

ют участие в строении приосевой части структуры. Они перемяты и раздроблены, углы падения пород 1—5—10—60—80°. Перемятость и такое ненормальное залегание пластов свидетельствуют о внедрении соли.

Схематический геологический разрез Эларской соляной антиклинали



Условные обозначения



Фиг. 3.

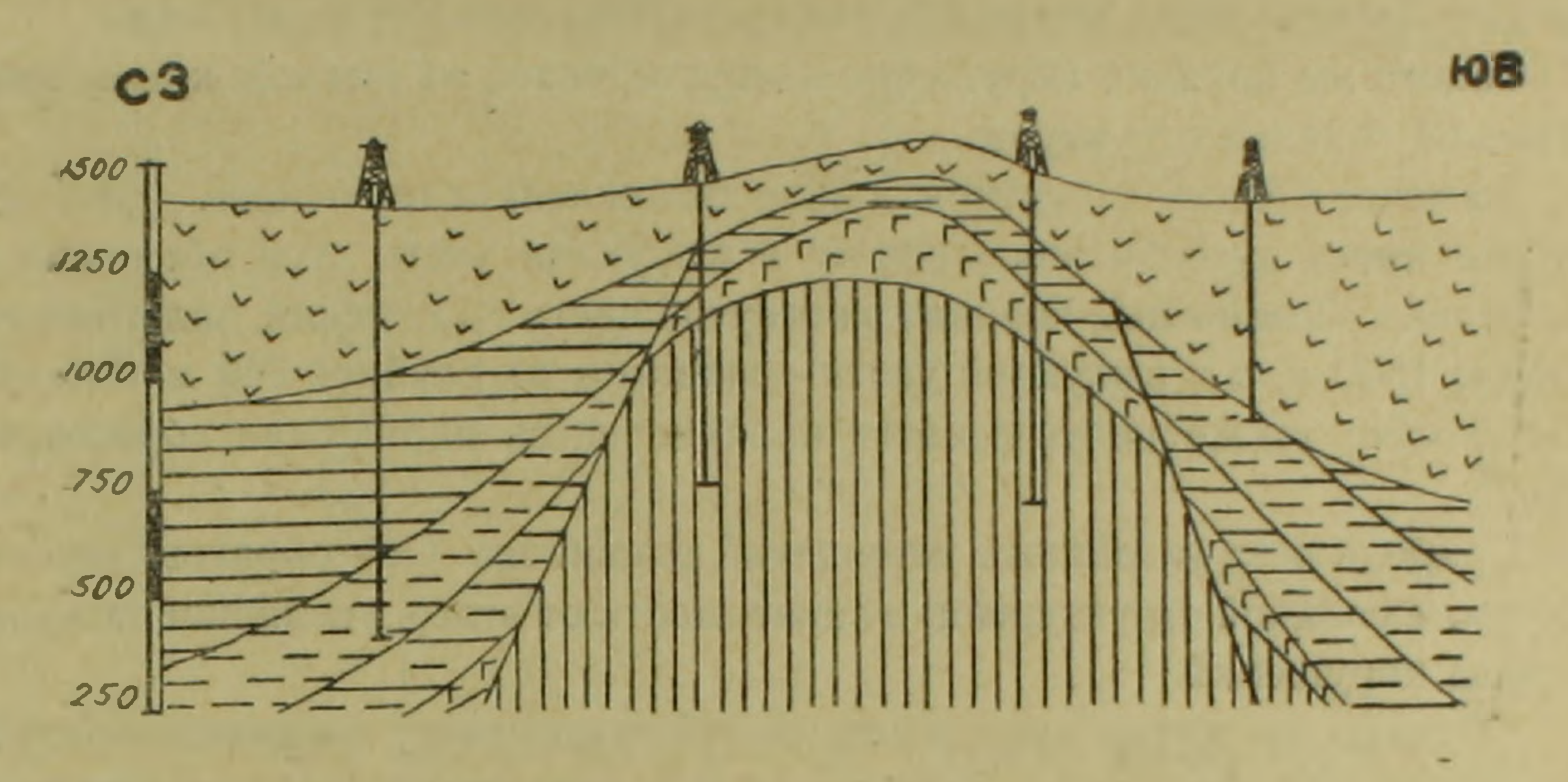
Как мы уже отметили, северо-восточная периклиналь структуры разветвляется на следующие две части: северную — Тазагюхскую и южную—Восточношагапскую.

Северное или Тазагюхское ответвление имеет строго северо-восточное простирание. В его строении принимают участие также образования среднего и верхнего миоцена и лавовые покровы плиоцена и постплиоцена (фиг. 4).

Следует отметить, что горизонт гипсоносных глин среднего миоцена здесь представлен перемятым и раздробленным гипсом и ангидритом, свойственным «кепрокам» типичных соляных структур. Кроме того, соле-

носные образования также сильно перемяты с углами падения пород 1— 10—40—70—80°. Если в пределах этого ответвления каменная соль залегает на глубине 250—300 м, то на соседних участках, в строении прогнутых участков участвуют породы всех горизонтов верхнего миоцена и они залегают на глубине 1500 м.

Геологический разрез северо-восточного шипа Эларской соляной антиклинали



Условные обозначения

Верхнеплиоценовые и постплиоценовые павы
B. MUOYEH. MAKTPOBOIÚ ZOPASOKM-ZNUHOI U U388CMN9KU.
В. МИОЦЕН АНОВОНТОВЫЙ горизонт-пес-
В. Миоцен. Рыбный горизонт-глины С
TETE CP. MUDGEN TUNCONOCHBIU ZOPUSONM
ПППП Ср. миоцен. Соленосный горизонт.
Нарушения.

Фиг. 4.

На основании приведенных данных можно отметить, что Тазагюхское ответвление, которое хорошо выражено в рельефе в виде возвышенности, представляет собой соляной шип.

Эларская соляная антиклиналь осложнена дизъюнктивными нарушениями. Эти нарушения осложняют крылья (фиг. 2, 3, 4). Нарушение северного крыла протягивается от железнодорожной ст. Элар в северо-восточном направлении и проходит через с. Элар; дальше оно протягивается в северо-восточном направлении и затухает западнее с. Тазагюх. В приподнятой части структуры, в пределах с. Элар образования соленосной толщи залегают на глубине 210—250 м, а в синклинальной части пробуренная скважина № 106 на глубине 1000 м не вышла из пород анодон-

тового горизонта. При сопоставлении разрезов этих участков видно, что в приосевой части структуры наблюдается уменьшение мощности лавовых потоков и полное выпадение из разреза отложений верхнего миоцена.

Таким образом, на расстоянии 700—800 м имеется разница в мощностях образования более чем на 1000 м. Такую разницу мощностей можно объяснить только наличием дизъюнктивного нарушения сбросового типа. Сброшенной частью является северо-западный участок. Кроме того, в пределах, нарушенной сбросом зоны, породы падают под углом 70—85°. Все эти данные свидетельствуют о наличии дизъюнктивного нарушения.

Такого же порядка нарушение констатировано на южном крыле описываемой соляной структуры.

Восточная часть структуры также осложнена нарушением (фиг. 2), которое имеет дугообразную форму и выпуклая часть дуги обращена к юго-западу. Соленосные породы, в вогнутой части нарушения, залегают на глубине 1500 м, а в выпуклой части—залегают на глубине 240 м. Это обстоятельство также подтверждает наличие здесь нарушения сбросового типа.

Природа всех указанных нарушений одинакова. Они образовались за счет роста соляной структуры и, в зависимости от этого, увеличивалась амплитуда нарушений.

Однако не всегда нарушения способствуют росту соляных структур. Временами отдельные нарушения направляют и создают новые структуры. К числу таких нарушений относится дугообразный сброс, осложняющий восточную переклиналь Эларской соляной структуры, разделяя ее на две части, которые в дальнейшем развивались самостоятельно за счет протыкания солью (фиг. 2).

Интересно отметить, что Эларская соляная структура, за исключением участка пересечения ее р. Гедар, четко вырисовывается в рельефе (фиг. 2). Это обстоятельство также подтверждает наличие соляных структур, рост которых продолжается и в настоящее время.

Кроме того, следует подчеркнуть, что скважины, пробуренные на приподнятых участках рельефа, вскрывают залежи каменной соли на незначительных глубинах, а в пониженных участках, наоборот, они залегают на больших глубинах.

Из таблицы видно, что в приподнятых участках рельефа каменная соль залегает на небольших глубинах (250—300 м), а в пониженных участках на глубине 1500 м. Это обстоятельство еще более подтверждает наличие соляных структур, рост которых продолжается и в настоящее время.

Разданская антиклиналь расположена юго-западнее Эларской. Выходы осадочных пород в ущелье р. Раздан известны с давних пор. Эти образования дислоцированы и собраны в антиклинальную складку, а в литературе она была известна как Разданская.

Проведенные работы несколько изменили наши представления об этой структуре. В настоящее время установлено, что она представляет собой соляную антиклиналь.

Для наглядности приводится нижеследующая таблица

№ № п/п	№№ скважин	Альтитуда устья скважины	Глубина забоя скважины	Глубина вскрытия каменной солн	Примечание
			Арамусск	ая площадь	
1 2 3 4 5 6	1 3 4 5 54 53	1560 1420 1440 1480 1540 1460	800 600 549 475 625 385	240 не вскрыли 316 м 230 не вскрыли	
1 2 3 4 5 6 7 8	106 109 112 41 2 pac. 105 104 2	1410 1430 1460 1440 1440 1430 1380 1420	1000 819 670 675 700 800 1225 654	не вскрыли 325 270 260 270 290 480 не вскрыли	

В геологическом строении Разданской соляной антиклинали принимают участие те же образования, что и в Эларской (фиг. 5). Однако следует отметить, что породы анодонтового горизонта верхнемиоценового возраста обнаружены лишь в северо-восточной периклинальной части структуры, а в юго-западной части эти образования отсутствуют.

Длина описываемой структуры достигает 6 км, а ширина — 1,5—2 км. По данным скважин установлено, что описываемая структура осложнена соляной тектоникой (фиг. 5). Действительно, в сводовой части структуры мощность каменной соли достигает 700 м, в то время как на крыльях ее мощность составляет 300—350 м.

В северо-восточном направлении наблюдается некоторое воздымание оси структуры. Наконец, в северо-восточной периклинали за счет этого воздымания образовался Птгнисский соляной шип (фиг. 6).

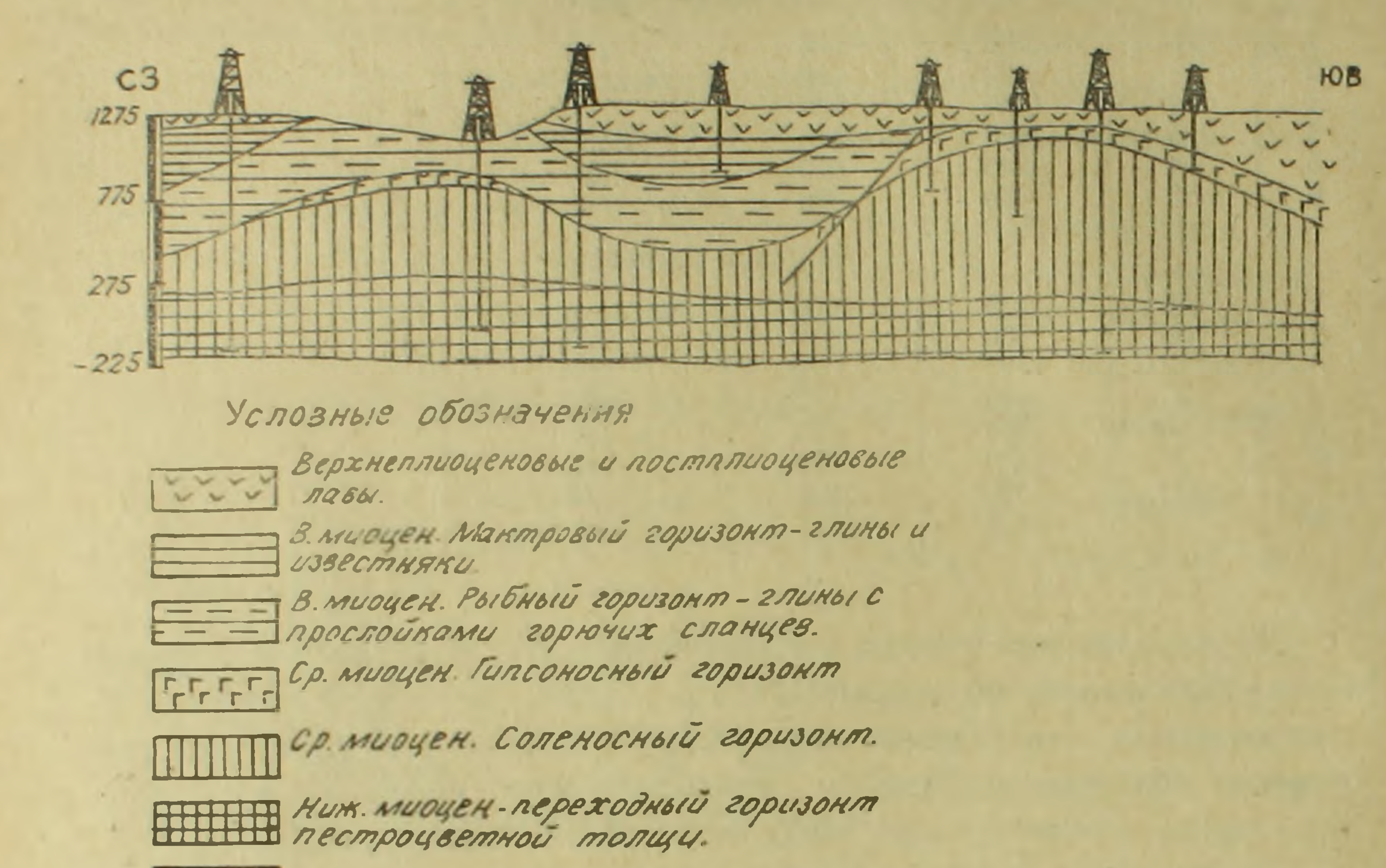
Птгнисская возвышенность расположена севернее с. Птгни и четко выделяется в рельефе. Со всех сторон она обрывистая и лишь в северном направлении относительно пологая. Северо-восточный борт этой возвыщенности осложнен нарушением, о чем свидетельствуют данные, полученные из скважины, пробуренной восточнее этой возвышенности.

Вследствие этого нарушения в приосевой части структуры принимают участие отложения анодонтового горизонта. В зоне этого нарушения углы падения пород составляют 80—85°. Такого же типа нарушение констатировано и на юго-восточном крыле (фиг. 6), где породы мактрового горизонта залегают в приосевой части структуры. Предполагается наличие такого же типа нарушения на северо-западном крыле.

Аванский соляной купол расположен на северо-западной окраине с. Аван. В геологическом строении этого купола принимают участие от-

ложения среднего и верхнего миоцена, которые в свою очередь перекрываются базальтами и озерными отложениями плиоценового и постилиоценового возраста (фиг. 5).

Схематический геологический разрез Аванского соляного купола и Разданской соляной антиклинали



Фиг. 5.

Нарушения.

Аванский купол имеет северо-восточное простирание (фиг. 7). Длина его составляет 3,5 км, а шигина 2 км. В строении приподнятой части купола участвуют отложения среднего миоцена, а в крыльях уже появляются и образования верхнего миоцена, где их мощность достигает 700—800 м. Юго-восточное окончание купола осложнено небольшим нарушением, где породы верхнего миоцена появляются на небольшом участке приподнятой части. Северо-западное крыло этого купола также осложнено нарушением (фиг. 6), вследствие чего породы мактрового горизонта контактируют с породами гипсоносного горизонта.

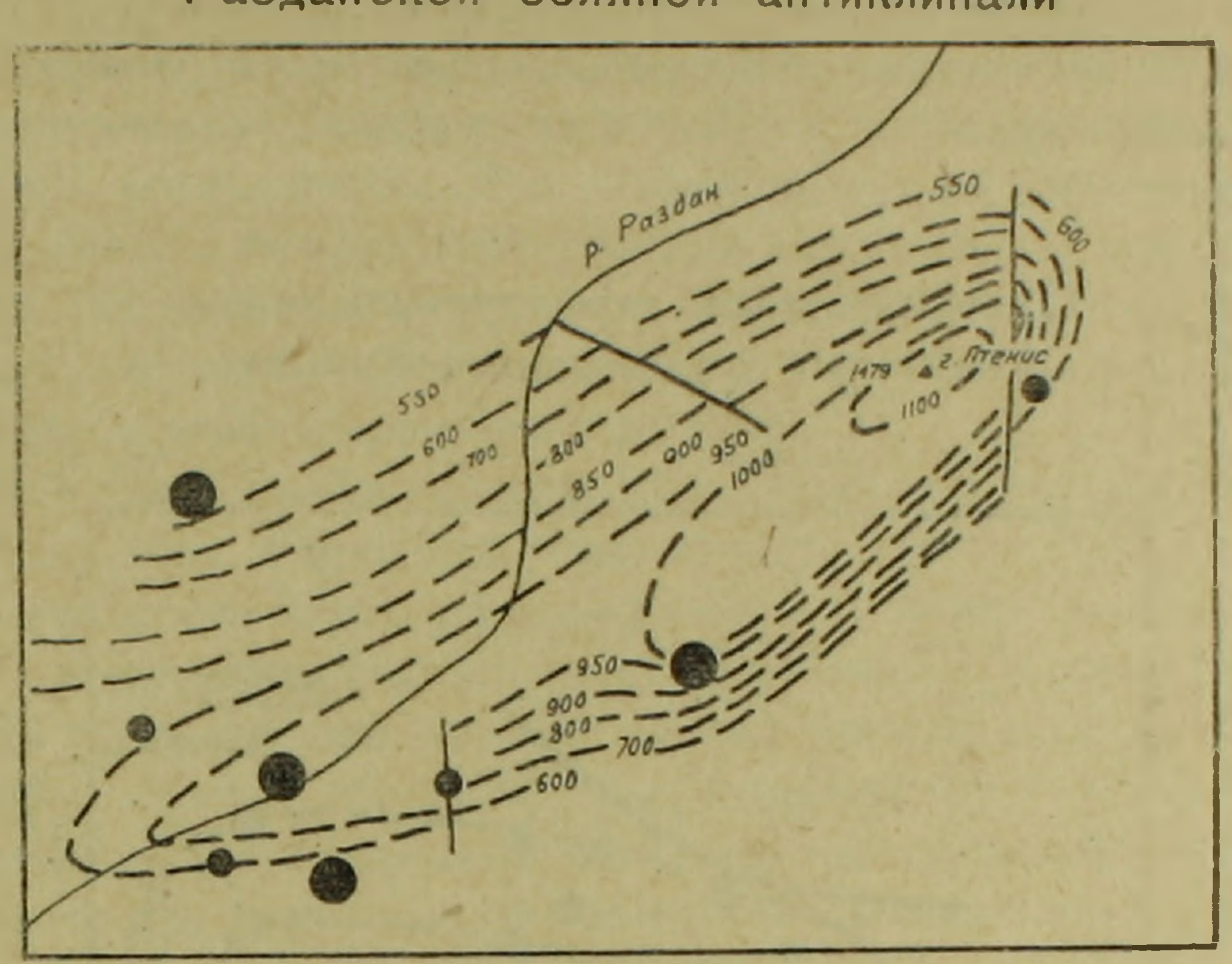
Как видно из прилагаемой карты, Аванский соляной купол также четко выражен в рельефе (фиг. 6). Кроме того, в приподнятых участках рельефа, залежи каменной соли находятся на небольших глубинах.

Среди компенсационных депрессий наиболее хорошо изучена Тазагюх-Катнахпюрская. Тазагюх-Катнахпюрская компенсационная депрессия расположена между Эларской и Арамусской соляными антиклиналями. Рельеф этой конпенсационной депрессии довольно пологий и имеет характер округленной равнины.

В геологическом строении этой депрессии принимают участие породы

верхнего миоцена и плиоцен-постплиоцена. Следует отметить, что здесь мощность базальтового покрова достигает 540 м и его наибольшая мощность приурочена к центральной части депрессии.

Схематическая структурная карта Разданской соляной антиклинали



Условные обозначения Горизонтали по кровле соли Нарушения Глубоние снважины

Фиг. 6.

Суммарная мощность верхне-миоценовых отложений и базальтового покрова составляет более 1500 м. Следовательно, каменная соль в пределах этой равнины залегает ниже указанной глубины. Это обстоятельство подтверждает компенсационный характер этой синклинали.

Анализируя приведенные данные можно отметить следующее:

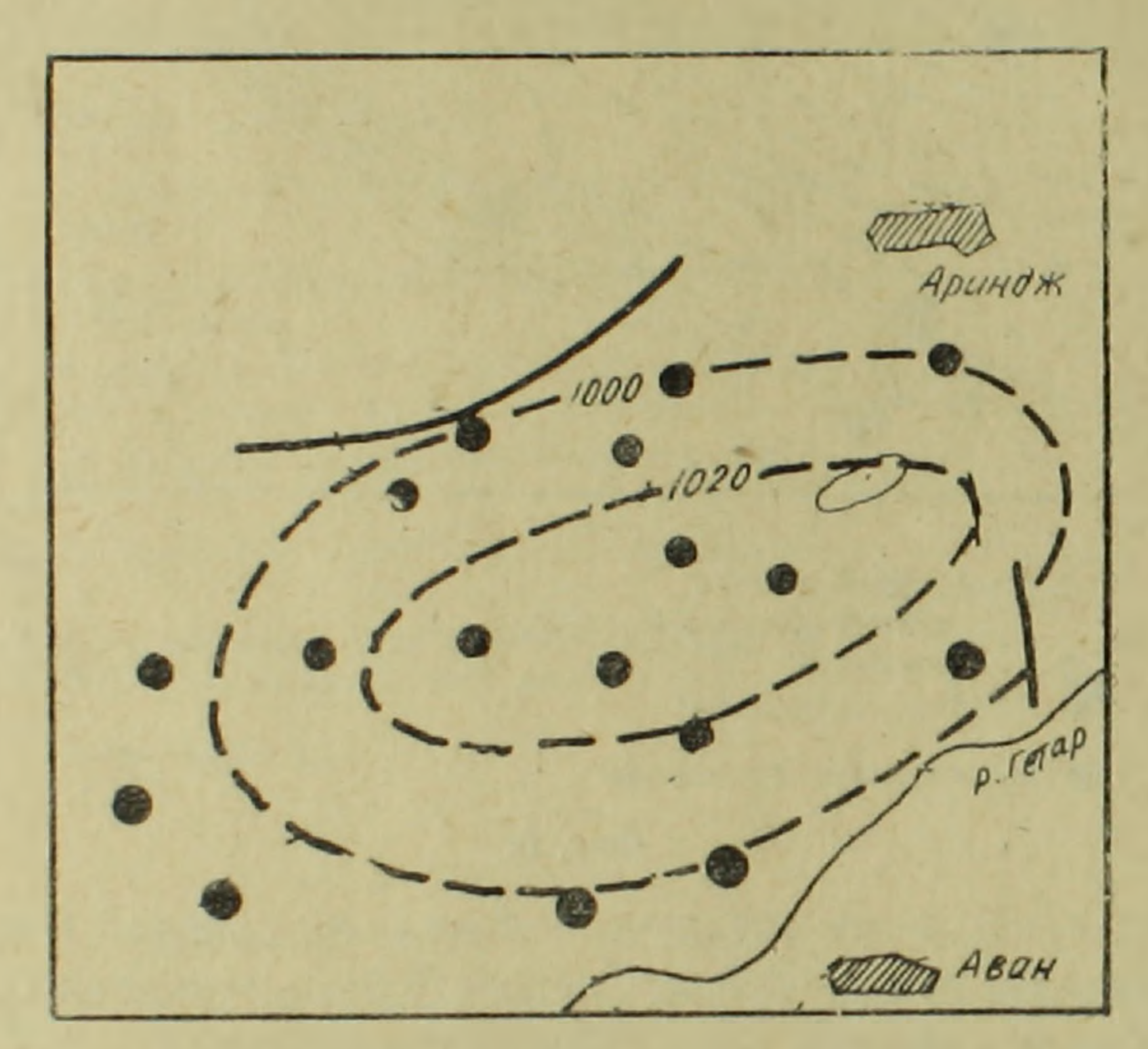
- а) все рассматриваемые соляные структуры имеют северо-восточное простирание;
- б) соляные структуры четко выражены в рельефе, в виде удлиненных и эллипсовидных возвышенностей, а компенсационные депрессии соответствуют пониженным участкам;
- в) в приосевых частях структур наблюдается сильное уменьшение мощностей надсолевых пород вплоть до полного вклинивания некоторых горизонтов;
- г) крыльевые части соляных структур в большинстве случаев осложнены нарушениями, которые в основном связаны с внедрением каменной соли.

На основании указанных признаков и небольшого количества пробуренных скважин, в пределах Канакер-Егвардского плато можно выделить

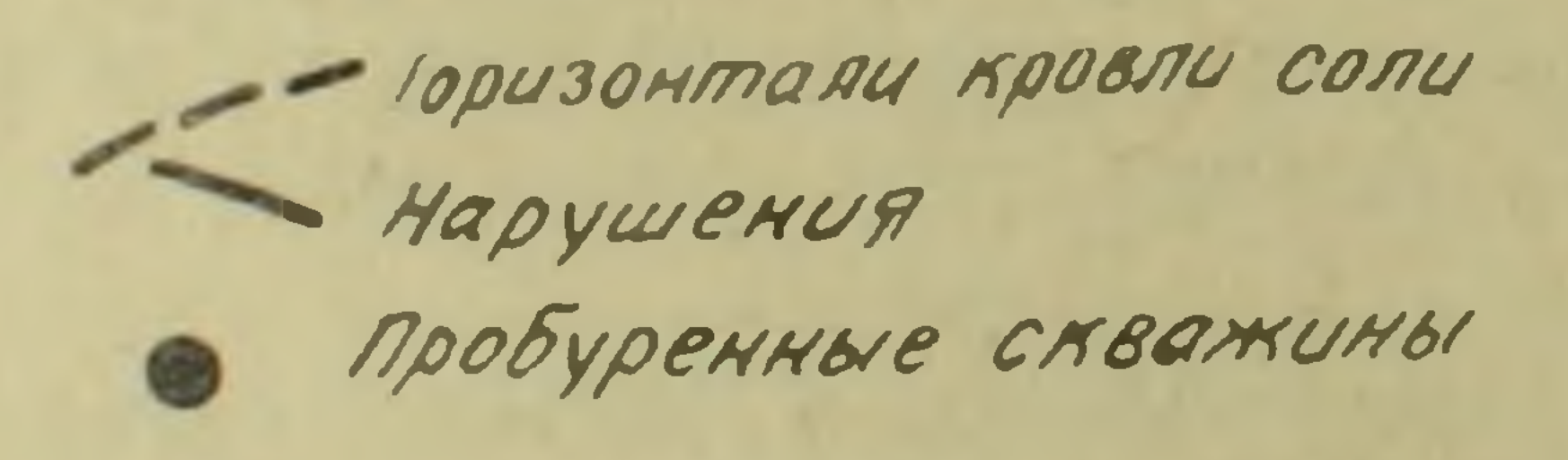
соляные антиклинали, куполовидные тела и, наконец, соответствующие им компенсационные депрессии.

Исходя из вышеизложенного, к соляным антиклиналям, кроме Арамусской, Эларской и Разданской, по-видимому, можно отнести Амоскую, Гетамечскую, Арзнинскую, Такаворанистскую, Ераблурскую, Егвардскую. Мугнинскую и многие другие. К куполовидным поднятиям, кроме Аванского и Кирза-Зейтунского, предположительно можно отнести Аринджское, Мгубское, первое и второе Ераблурское (юго-восточная часть поселка Малатия) и многие другие.

Схематическая структурная карта Аванского соленосного купола



Условные обозначения



Фиг. 7.

К компенсационным депрессиям, кроме Тазагюх-Катнахпюрской, предположительно можно отнести Арзнинскую, Чаткранскую, Североэларскую, Аринджскую, Аштаракскую, Северомугнинскую, Южноегвардскую и многие другие. Все эти структуры имеют северо-восточное простирание.

На основании вышеприведенного материала, можно считать установленным наличие соляных структур в пределах Канакер-Егвардского плато. Не исключена возможность наличия соляной тектоники и в Фонтанском районе.

Как отмечалось выше, соленосно-гипсоносная толща формировалась

на слабо дислоцированном рельефе пестроцветных образований, которые на фоне общей моноклинали собраны в очень пологие антиклинали и синклинали. При этом большая мощность соли приходится на синклинали. После отложения гипсоносно-соленосной толщи тектонические движения сформировали складки, унаследовавшие структурный план более древних слоев.

В дальнейшем продолжалось осадконакопление глинисто-песчанистых пород верхнего миоцена, мощность которых в синклиналях была гораздо больше, чем в антиклиналях. Под воздействием их нагрузки соляные образования, в силу своей текучести, начали двигаться к осевым частям антиклиналей. По мере увеличения мощностей песчано-глинистых пород в синклиналях этот процесс происходил интенсивнее и взамен синклиналей образовывались компенсационные депрессии.

В дальнейшем, в плноцене, вследствие тектонических движений, начала изливаться лава, в основном базальтового состава. Нет сомнения, что движение лав происходило по пониженным участкам рельефа, соответствующим компенсационным депрессиям. Мощные потоки базальтовых лав, при их удельном весе 3 г/см³, а также тектонические движения еще более ускорили рост и диференциацию соляных структур. Вследствие неравномерной нагрузки, отдельные соляные структуры диференцировались в самостоятельные купола или же осложнились соляными вздутиями.

Фактический материал показывает, что рост соляных структур продолжается и в настоящее время, о чем свидетельствует отсутствие молодых потоков в приподнятых участках рельефа, которые, в конечном счете, соответствуют приосевым частям соляных структур.

Анализируя приведенный материал можно отметить, что соляные складки представляют собой геологические структуры со специфическим механизмом образования. В нашем районе в механизме их образования важную роль играли пластические свойства соли, ее низкий удельный вес по сравнению с вмещающими породами, и наконец, тектонические движения, сопровождающиеся излиянием лав.

Как известно, аналогичные типы соляных структур встречаются во многих межгорных прогибах, как например Трансильванской, Верхнетиссинской и Валахской впадин [3].

Дальнейшее изучение соляных структур представляет не только научный, но и практический интерес, поскольку в процессе бурения в приподнятых частях соляных структур наблюдались проявления нефти и газа.

Кроме того, с соляными массивами связаны также залежи каменной и калийной солей, гипса, боратов, угля, серы и других полезных ископаемых.

Управление геологии и охраны недр при СМ Армянской ССР. Экспедиция "Нефтеразведка"

Поступила 30.VII. 1961.

Ս. Կ. ԱՐԶՈՒՄԱՆՑԱՆ

ՆՈՐ ՏՎՅԱԼՆԵՐ ԵՐԵՎԱՆՅԱՆ ԱՂԱՔԵՐ ԱՎԱԶԱՆԻ ՏԵԿՏՈՆԻԿԱՅԻ ՎԵՐԱՔԵՐՅԱԼ

Udignahnis

Երևանյան աղի ավազանը տարածվում է հարավից—հյուսիս։ Հարավում նա սահմանափակվում է Մերձերևանյան խորքային խախտումով, իսկ հյուսիսային ուղղությամբ ձգվում է մինչև Ֆանտան գյուղի շրջանը և Սևանա լճի ավազանի հարավ-արևմտյան ափերը։

Այս շրջանը համարյա լրիվ կերպով ծածկված է բաղաստային ծածկոցներով, այդ իսկ պատճառով տվյալ ավազանի տեկտոնիկայի հարցերը մինչև վերջին ժամանակներս հիմնավորվում էին հարևան մերկացված շրջան ների տեկտոնիկայի տվյալների հիման վրա։

Վերջին տասնամյակի ընթացքում այս շրջանում փորվել են մեծ քանակությամբ հորատանցքեր, որոնց արդյունքները հիմք են տալիս վերափոխելու մեր կարծիքը տվյալ շրջանի տեկտոնիկայի վերաբերյալ։

Աղաբեր շերտախմբի նստվածքները տեղադրված են խայտաբղետ շերտախմբի վերին հորիզոնի ապարների վրա (ստորին միոցեն) և նրանց հետ կապված են աստիճանական անցումով։ Աղաբեր ավազանում, թե խայտաբղետ
շերտախմբի ապարները, և թե նրանցից ավելի հին հասակի նստվածքները
ունեն մոնոկլինալ անկում և տարածվում են հարավից—հյուսիս, ընդ որում
այդ ապարները ծալքավորված են բավական թույլ կերպով (5—7—12—15°)։
Այդ շերտերի թույլ ծալքավորված ստրուկտուրաները ունեն հյուսիսարևելյան տարածում, որոնց վրա ներդաշնակ տեղադրված են աղաբեր շերտախմբի ապարները։

Աղաբեր շերտախմբի նստվածքների ֆիսիկական հատկությունների և վերը տեղադրված ավելի երիտասարդ ապարների ծանրության ազդեցության տակ այս շրջանում գոյացել են աղային ծալքեր։ Ուսումնասիրություններից պարզվել է, որ այդ ծալքերը ունեն աղային անտիկլինալի և աղային գմբեթի կառուցվածք, որը բարդացված է դիզյունկտիվ փոփոխումներով։

Աղային գմբեթների և աղային անտիկլինալների կից մասերում սինկլինալների փոխարեն առաջացել են համասլատասխան իջվածքներ, որոնք վերջին հաշվով հանդիսանում են աղի վերհոսման արդյունք։

Աղային ծալգերի թիվը տվյալ շրջանում անցնում է 16-ից, որոնցից բավական մանրամասն ուսումնասիրված են Արաքուսի, էլարի, Հրազդանի աղային անտիկլինալները և Ավանի ու Կիրզա-Զեյթունի աղային գմբեթները։

Աղայիս ստրուկտուրաների հետազա ուսումնասիրությունը ունի ոչ միայն տեսական, այլև դործնական մեծ նշանակություն, քանի որ որոշ աղային ծալքերի բարձրացված մասերում փորված հորատանցքերում նկատվել է նավթի և գազի թեթևակի հետքեր։

ЛИТЕРАТУРА

- 1 Асланян А. Т. Региональная геология Армении. Айпетрат, Ереван, 1958.
- 2 Габриелян А. А. Основные вопросы тектоники Армении. Изд. АН АрмССР, 1959.
- 3 Косыгин Ю. А Тектоника нефтеносных областей Т. І, Гостехиздат, М., 1958.

ՀԱՅԿԱԿԱՆ ՍՍՈՒ ԳԻՏՈՒԹՅՈՒՆՆԵՐԻ ԱԿԱԴԵՄԻԱՅԻ ՏԵՂԵԿԱԳԻԲ известия академии наук армянскоя сср

отнатир. в шуршившири. дри. XV, № 2, 1962 Геологич. и географич. науки

ВУЛКАНОЛОГИЯ

К. И. КАРАПЕТЯН

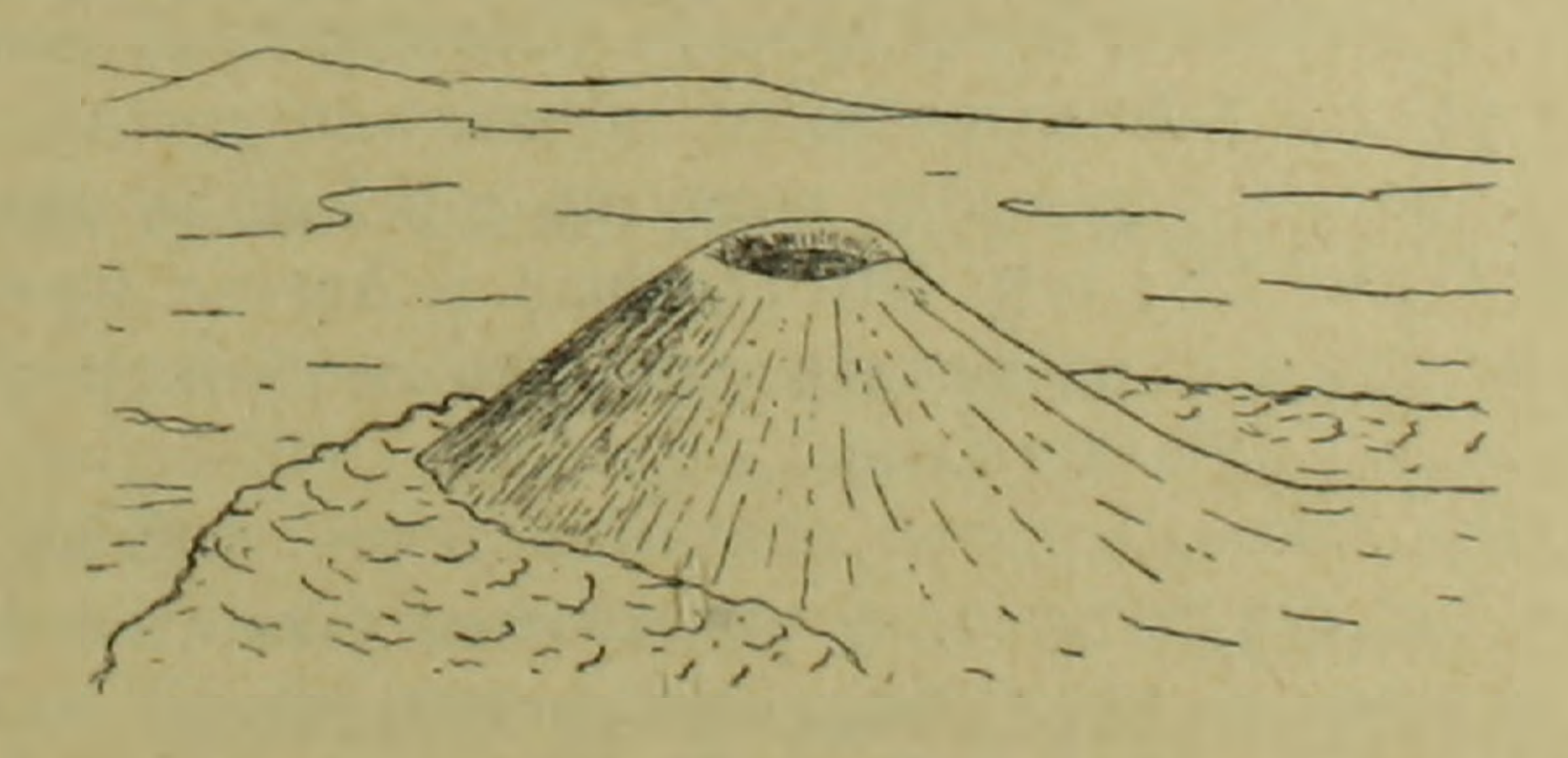
ВУЛКАН АРМАГАН

Настоящая статья посвящена строению и истории формирования Армагана — вулкана, привлекающего внимание характером деятельности, крупными размерами и необычайно обширным лавовым полем (до $100 \, \text{KM}^2$).

Несмотря на широкую известность вулкан оставался совершенно неизученным; упоминания о нем можно встретить у К. Н. Паффенгольца [8, 9], А. Т. Асланяна [1], Е. Е. Милановского [7] и других исследователей бассейна оз. Севан. Приводимые в этом очерке данные являются результатом специальных исследований автора, проведенных летом 1959 г.

Краткая геологическая характеристика района

Вулкан Армаган (Магмаган, Агмаган, Абдуласар) расположен на юго-восточной периферии Гегамского нагорья в Мартунинском районе Армянской ССР. Лавы его занимают площадь, опраниченную с востока и юга р. Аргичи и ее левыми притоками, а с запада р. Цаккар (до широты с. Тазагюх); с севера потоки Армагана достигают берега оз. Севан н, вероятно, продолжаются под прибрежными отложениями.



Фиг. 1. Вулкан Армаган. Вид с юго-востока. Слева, на переднем плане, лавовый поток, огибающий конус.

Наиболее древними породами фундамента являются неогеновые (олигоценовые по К. Н. Паффенгольцу [8, 9]) мегафировые лавы, представленные светлосерыми и розовыми роговообманковыми и роговообманковобиотитовыми трахиандезитами. Обнажения этих пород локальны, а условия их залегания неясны.

Выше залегают среднечетвертичные оливиновые андезито-базальты, слагающие обширный покров к западу от р. Цаккар; покров этот совершенно конморфно со склонами Гегамского нагорья, постепенно понижаясь в северо-восточном и восточном направлениях, уходит под лавы Армагана.

К югу от Армагана андезито-базальты обтекают древний, вероятно раннечетвертичный, шлаковый конус. Диаметр основания конуса 500 м. высота 30—50 м. В нижней части его обнажается небольшой мощности (до 0,8 м) слой пологозалегающих (3—4° в сторону центра) роговообманковых андезито-базальтов*.

Охарактеризованные выше породы перекрываются и, реже, обтекаются лавами Армагана; помимо этого с востока покров вулкана смыкается с четвертичными же лавами, принадлежащими уже центрам Варденисского нагорья.

К северу от места смыкания (около фермы с. Н. Геташен) р. Аргичи врезается глубоким каньоном в породы фундамента и, частично, лавы Армагана; южнее же этого пункта (в верхнем течении) она протекает, сильно меандрируя, в широкой и плоской аккумулятивной равнине.

Аккумулятивность долины в верхнем течении С. С. Кузнецов [6] объясняет древним пенепленом, приподнятым вследствие «сбросовых» явлений; версия эта, совершенно не подкрепленная фактически, отвергается всеми последующими исследователями.

К. Н. Паффенгольц считает, что аккумулятивная долина возникла в результате подпруживания р. Аргичи лавами Армагана «...обусловив этим... образование озера, что доказывается характером отложений и нынешним профилем верхнего течения реки» ([9], стр. 93).

Такой профиль реки Е. Е. Милановский [7] объясняет местным поднятием, приводя в пользу этой точки зрения следующие соображения: «...тот факт, что река первоначально врезается не в голоценовые (Армагана — К. К.), а в гораздо более древние (манычарские) лавы, показывает, что подпруда в действительности значительно древнее и обусловлена, вероятно, ростом локального поднятия в районе вулкана Армаган и к югу от него (рис. 10)» (стр. 38). Профиль р. Аргичи, приводимый на рис. 10 этой работы, и цитированная выдержка не убеждают в правиль ности воззрений Е. Е. Милановского.

Образование аккумулятивной долины в таких условиях возможно представить только как результат подпруживания реки лавами Армагана, и сама долина никак не может быть древнее вулкана.

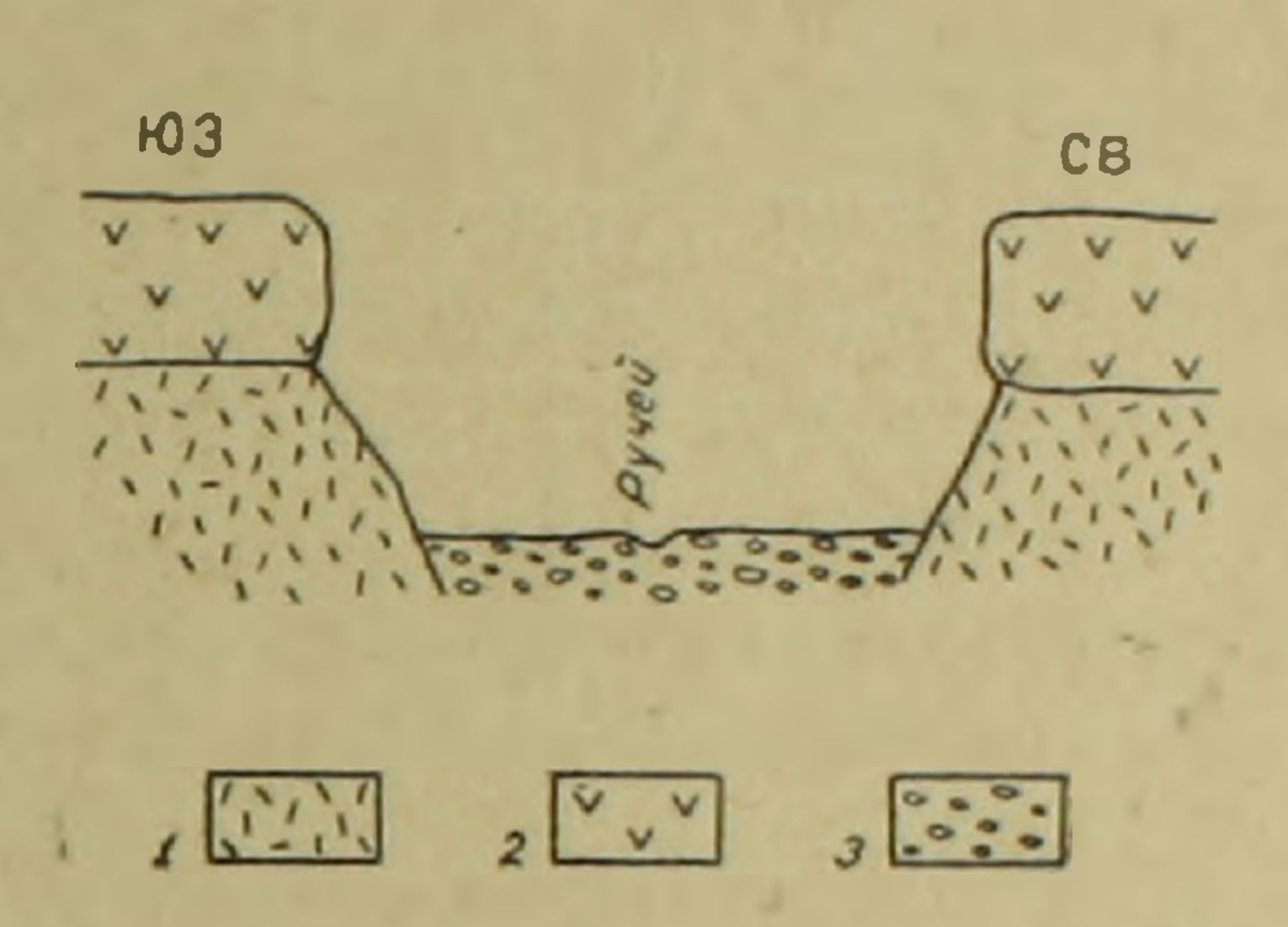
За справедливость взгляда К. Н. Паффенгольца говорит уже только тот факт, что меандрирование начинается выше места, где лавы Армагана подходят к реке и «упираются» в лавы Варденисского нагорья и (что особенно важно) нигде не перекрывают отложений долины. К это-

Конус был обнаружен автором. Пожалуй, это единственный выход роговообманковых четвертичных лав в южной части нагорья.

му следует добавить, что в случае локального поднятия в районе Армагана и к югу от него, река имела бы совершенно иной профиль.

Поперечный профиль одного из боковых ущелий (Мирза-Карапет) левого притока р. Аргичи — р. Назал показывает, что в этой части существовали глубокие узкие ущелья, сформировавшиеся после излияния среднечетвертичных лав (фиг. 2). Дальнейшее их развитие было приостановлено извержениями Армагана, лавы которого, подпрудив р. Аргичи, обусловили образование озера; отложения озера создали «высокую» выравненную поверхность, ныне упирающуюся (на этом участке) в крутые борта древних ущелий.

По данным К. Н. Паффенгольца [18, 9] Армаган возник на южной оконечности регионального, меридионального сброса, разделяющего Большой и Малый Севан. К разлому меридионального протяжения (продолжение «сарыкаинской системы приурочивает вулкан и Е. Е. Милановский [7]. По мнению А. Т. Асланяна [1]. Армаган насажен на Ани-Ордубадский глубинный разпом, причем второй разлом глубокого заложения (Ширако-Зангезурский), согласно этому исследовате-



Фиг, 2. Схематический поперечный профиль ущелья Мирза-Карапет. 1. Трахиандезиты, 2. Среднечетгертичные андезито-базальты, 3. Озерные отложения.

лю, проходит в 11—12 км к северо-востоку от вулкана, через с. Мартуни.

Армаган один из наиболее молодых вулканов Армении; извержения его, по единодушному мнению всех исследователей, происходили в голоценовое время.

Строение вулканического аппарата и лавового покрова

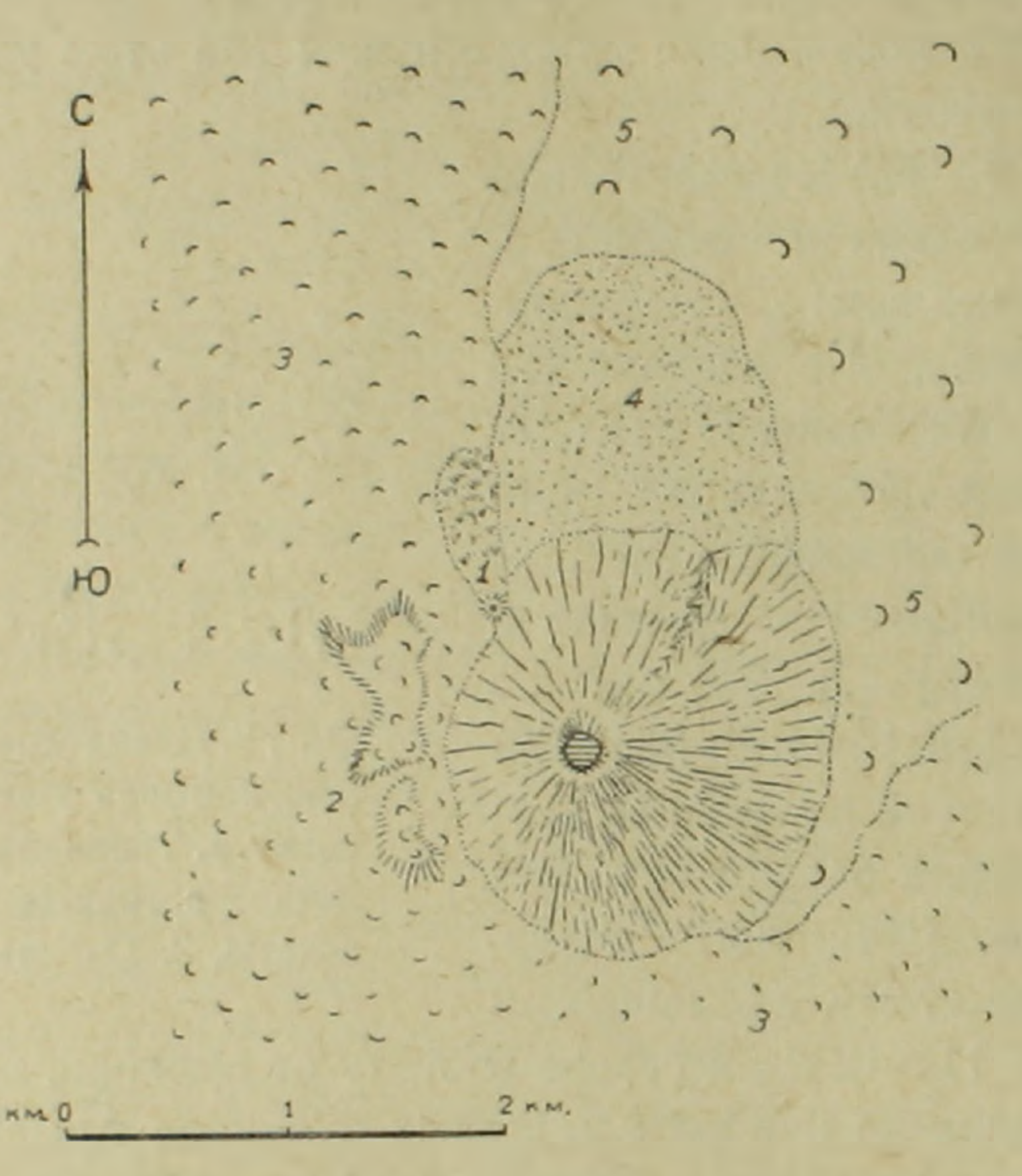
Армаган представляет собой крупный, хорошо сохранившийся конус диаметром основания 2000—2200 м и высотою 400—450 м. Высшая отметка вулкана — 2829,9 м.

Вулканическая постройка сложена шлаками, лапилли, песками и редкими бомбами. Бомбы представлены шлаковыми и кручеными разновидностями, некоторые из них несут на себе подобие хлебной корки. Размеры бомб — 10—40 см. Еще реже среди рыхлого материала можно встретить небольшие (до 5 см) эксплозивные обломки, внешне немного напоминающие обсидиан.

На усеченной вершине вулкана располагается кратерная воронка, дно которой занято небольшим, мелким (1,5-2,0 м) озерком. Склоны воронки пологи; с северной стороны глубина кратера достигает 50 м; к югу гребень понижается, и превышение его над зеркалом озера составляет всего 15—20 м. Диаметр кратера достигает 400 м. 8: P 7 Ullas L

Известия, XV, № 2-2

Коническое тело вулкана рассекается неглубокой (20—25 м) «шарра»-образной ложбиной, которая начинаясь в привершинной части конуса, протягивается в северо-восточном направлении и доходит почти до основания. В верховьях ложбины преобладает окисленный материал; книзу он уступает место темносерым и черносерым шлакам и лапилли. Такая закономерность характерна и для других, слабо задернованных склонов вулкана.



Фиг. 3. Схематический план вулкана Армаган. 1. Побочный кратер и его поток. 2. Лавовые гряды. 3. "Верхние" лавы. 4. Обломочный шлейф, прилегающий к основанию конуса. 5. "Нижние" лавы.

С запада к вулканической постройке прислонены широкие гряды, слегка вытянутые в близмеридиональном направлении; сложены они черносерой глыбовой лавой, образующей подобие уступов с более или менее выравненными поверхностями. С этой стороны высота конуса резко понижается; отметка наиболее высокой поверхности составляет 2680 м.

От гряд во всех направлениях (исключая восточное) отходят небольшие отроги: амфитеатроподобные пространства между ними заняты, в свою очередь, вытянутыми нагромождениями глыб. К югу и северу гряды круто опускаются, переходя в глыбовые лавы, занимающие большую часть покрова Армагана. Одна из гряд понижаясь переходит (фиг. 1) в лавовый поток, огибающий вулкан с юга. Постепенно выполаживаясь, поток по удалении от вулкана переходит в слабовсхолмленную поверхность, доходящую до р. Аргичи.

В месте понижения гряд с северной стороны, у северо-западного основания Армагана, нами был зафиксирован побочный кратер.

Кратер представлен небольшой (диаметр по гребню 25—30 м) кольцевой постройкой, высота которой изменяется от 4 м на юго-востоке до 25 м на северо-востоке. Глубина кратера 2,5—3 м. Южная и юго-западная части постройки сложены сильно окисленными шлаками, лапилли и шлаковыми бомбами, размером 30—40 см. В остальной части обнажена глыбовая лава, которая переливаясь через край кратера образует поток, отходящий в северном направлении на 850 м. На протяжении 300—350 м поток залегает полого, затем он круто спускается, сливаясь в своей фронтальной части с глыбовой поверхностью лавового поля. В верховьях потока лавы слетка окислены, по всей длине он перекрывает мавы, отходящие от отмеченных выше гряд.

«Отходящие» от гряд лавы занимают большую часть покрова; характерно, что даже в непосредственной близости от конуса их поверхности свободны от эксплозивного материала (не считая редких кусков шлаков, окаймляющих побочный кратер). Граница этих лав (будем называть их «верхними») с нижележащими («нижними») на периферии покрова неясна. Только к северу и востоку от конуса удалось стратифицировать продукты Армагана и установить, тем самым, последовательность их образования.

От конуса в северном направлении заметен постепенный переход шлаков и лапилли в пески и пеплы; мелкообломочный шлейф, постепенно утоняясь, сходит на нет, обнажая подстилающие «нижние» лавы. С запада шлейф срезается (перекрывается) «верхними» лавами и лежащим на них потоком побочного кратера.

В свою очередь «нижние» лавы перекрывают около с. Мадина (к СВВ от конуса) песчано-пепловые отложения. Пески и пеплы в этом обнажении тонкослоистые; в каждом из слоев (толщина не превышает 3— 4 см) крупные частицы кверху сменяются более мелкими. Видимая мощность песков и пеплов 35—40 м.

Таким образом, в извержениях Армагана намечается следующая последовательность: пески и пеплы, «нижние» лавы, «верхние» лавы, поток побочного кратера.

Строение Армагана показывает, что выход лав происходил из-под основания конуса. «Верхние» лавы изливались из субмеридиональной трещины, возникшей у западного основания вулкана; на это указывают лавовые гряды и побочный кратер, видимо, образовавшийся после закупорки трещины. Высокое положение гряд, оставляющее впечатление выхода лав по склону конуса, вероятно, обусловлено экструзивным характером извержения последних порций «верхних» лав. В случае извержения лав по склону шлакового конуса, форма тела его была бы нарушена; «залечивание» конуса в последующем произойти не могло, так как, судя по вышеизложенному, главная постройка Армагана была оформлена уже до излияния «верхних» лав. Место выхода «нижних» лав установить не удалось.

Общая петрографическая характеристика продуктов извержений

Эксплозивные и эффузивные продукты Армагана петрографически тождественны; отличие заключается только в структуре мезостазиса. Количественный и качественный состав «нижних», «верхних» и лав побочного кратера примерно одинаков.

Порфировые выделения в породах представлены плагноклазом, клинопироксеном, гиперстеном; очень редко (обр. 831, 838) можно встретить небольшие (0,1—0,4 мм) кристаллы оливина. Вся порода крайне неравномерно обогащена ксеногенным кварцем. Минеральный состав эффузивных лав, выведенный в средних числах из 15 подсчетов, приведен инже (объемные %).

	1		пла	LHC	кла	13	٠					2,7	
фенокристаллы	1		кли	ноі	пир	ОК	сен					1,9	
			гип	epo	стен	l						0,2	
кварц				•		•	•	•	•	•	•	0,8	
основная масса	•	•	•	۵	•	•		٠	:		•	94,4	
											1	00,0	1

Плагиоклаз вкрапленников образует относительно крупные (до 1,5 мм) таблитчатые кристаллы, загрязненные включениями стекла; большая часть из них резорбирована и изменила свой облик до неузнаваемости. Реже встречаются совершенно чистые и хорошо ограненные кристаллы лейстовидной формы. Состав этих последних (использована высокотемпературная кривая [3]) изменяется в пределах 35—39% An (8 опред.). Состав плагиоклаза, загрязненного стеклом, удалось определить только в обр. 872; здесь минерал содержит 42% An.

Клинопироксен представлен хорошо образованными короткими призмами размером до 0,6 мм. Цвет минерала светлозеленый, в окисленных продуктах буроватый. Для клинопироксена очень характерны гломеропорфировые скопления. Угол с Ng изменяется в пределах 46—50° (4 опред.), величина 2v в границах 54—64° (8 опред.). В изменении угла 2v как будто намечается зависимость от величины кристалла: так в обр. 865 в зерне размером 0,6 мм 2v равен 62°, в более мелком (0,3 мм) —57°.

Гиперстен образует небольшие 0,2-0,3 мм), вытянутые по [001], призмочки с характерным плеохроизмом. В обр. 856 угол оптических осей составляет (—) 74° и (—) 76° .

Кварц присутствует в сильно сглаженных зернах, размером 0,1—5 мм. Кварц заключен в пироксеновую кайму: слагающие венец кристаллики соизмеримы с микролитами пироксена основной массы. Между каймой и кварцем находится тонкий «прослой» буроватого чистого стекла.

Основная масса сложена микролитами плагиоклаза, клинопироксена, рудного минерала и стеклом. Плагиоклаз, состава 32—38% An, количе-

ственно преобладает над пироксеном. Стекло серовато-бурое, бурое, полупрозрачное, испецренное тонкими выделениями рудного минерала (10-20 р). В окисленных продуктах стекло темнобурое и непрозрачное.

Заметные количества стекла в шлаках и лапилли обусловливают их стекловатое строение. В эффузивных породах и бомбах структура гиалопилитовая и, реже пилотакситовая (внутренняя часть потоков). Показатели преломления стекла (из пеплов с. Мадина) изменяются в пределах 1.528—1.532 ± 0.002 (6 опред.).

В породах и трещинах лав очень часто отлагается грязнобелое и сероватое карбонатное вещество.

Химические составы продуктов Армагана, приводимые в табл. І, даны в последовательности образования; все они представлены андезитами. К некоторому повышению кислотности во времени нужно подходить крайне осторожно, так как продуктами вулкана частично усвоен ксеногенный кварц в неизвестных количествах и, кроме того, анализ песков и пеплов (вследствие эоловой дифференциации) не всегда полностью отражает состав магмы (хотя и проба усредненная).

Химический состав продуктов Армагана

Таблица 1

Окислы	Обр. 876	O6p. 882	Обр. 856	Обр. 843	Числовые характеристики по Заварицкому					
OKACADI						O6p. 876	Обр. 882	Обр. 856	Обр. 843	
SiO ₂ TiO ₂ Al ₂ O ₃ Fe ₂ O ₃	57,02 0,99 17,69 2,58	58,09 0,84 17,76 0,74	57,91 0,82 16,83 2,58	58,40 0,84 17,61 6,52	a c b s	10,0 7,3 13,9 68,8	11,2 6,8 13,0 69,0	10,9 5,9 15,5 67,7	9,9 7,4 12,7 70,0	
FeO MnO MgO CaO Na ₂ O	4,13 0,13 3,76 6,32 3,10	5,52 0,12 3,69 6,25 3,36	4,13 0,12 4,12 6,54 3,45	0,59 0,09 3,47 5,82 2,78	Q a/c f' m' c	+10,3 1,3 47,1 48,7 4,2	+ 8,8 1,6 46,8 50,0 3,2	+ 7,7 1,8 40,4 45,7 13,9	+12,8 1,3 50,8 48,1	
Na ₂ O К ₂ O — Н ₂ O п. п.п.	1,94 0,23 0,77	2,38 0,11 0,36	2,27 0,17 0,82	2,78 2,26 0,27 1,15	a n t	71,3	68,3 1,0	70,2	1,1 65,2 1,0	
Сумма	98,66	99,02	99,76	99,80	Ý	16,7	4,3	14,3	45.7	

Обр. 876. Пески и пеплы. С. Мадина. Аналитик З. Гаспарян.

Обр. 882. "Нижние" лавы. С. Мадина. Аналитик З. Гаспарян.

Обр. 856. "Верхние" лавы. Лавовая гряда. Аналитик З. Гаспарян.

Обр. 843. Лавы побочного кратера. Аналитик З. Гаспарян.

Связь с тектоникой и история деятельности

Несколько обособленное (относительно других голоценовых вулканов нагорья) положение Армагана и его крупные размеры видимо дали «основание» отдельным исследователям «насаживать» этот центр на региональный, даже глубинный разломы. В то же самое время расположенные неподалеку вулканы того же типа остаются вне этих разломов, и о связи их с нарушениями того или иного вида ничего не говорится.

Правильнее предположить, что однотипные вулканы приурочены к разломам одного характера; вряд ли, например, шлаковые конусы могут возникнуть и непосредственно на глубинных разломах и на локальных трещинах иного типа. В этой связи остановлюсь на возможности возникновения Армагана, да и вообще шлаковых конусов, на глубинном разломе.

Армаган является типичным моногенным вулканом, деятельность которого ограничивается небольшим промежутком времени, на это указывает и тип постройки, и характер извержений, и, что особенно важно, однообразие состава продуктов различных фаз деятельности.

Такой тип вулкана в первую очередь определяется характером подводящего канала, главной чертой которого является недолговечность. Эта черта, конечно, может быть присуща локальной недолгоживущей трещине, связующей очаг с поверхностью. Характерно, что с такими разломами на склонах крупных полигенных построек связаны адвентивные вулканы, являющиеся по сути дела тоже моногенными.

В противном случае, когда разлом был бы долгоживущим и «постояннодействующим», на нем мог вырасти только полигенный вулкан, вулкан с действительно крупным аппаратом, сложным характером извержений и, возможно, закономерным изменением состава лав. Такие вулканы хорошо известны, и приуроченность их к региональным разломам обычно не вызывает сомнений.

Эти соображения, а также ареальный характер вулканических явлений с несомненностью указывает на приуроченность четвертичных вулканов области к трещинам одного типа, а именно: трещинам локальным и недолговечным.

Вулканы нагорья (в том числе и Армаган) приурочены к системе трещин, протягивающейся вдоль складчатой области Армении [2, 4], и обязаны своим происхождением подъему страны в неоген-четвертичное время.

Тем не менее, мы далеки от мысли отрицать роль грубинных разломов в вулканической деятельности такого рода, но связь эта косвенная, а непрямая. В данном случае глубинные разломы могли быть путями подъема магматических масс в близповерхностные части земной коры, где, как нам кажется, возникла возможность (вероятно в связи с выпячиванием Малого Кавказа) для образования промежуточных очагов. Последние уже связывались с поверхностью системой локальных быстро мигрирующих трещин, возникновение которых в своде «покрышки» является следствием сводообразного поднятия. На одной из таких трещин и находится Армаган.

* *

Извержения Армагана начались после довольно большого перерыва в вулканической деятельности, следующего за излиянием среднечетвертичных лав. Время действия вулкана совпало с голоценовым этапом четвертичного вулканического цикла, наиболее мощно проявившимся в северной части нагорья.

Возникновение Армагана сопровождалось мощными эксплозиями, отложения которых в виде песков и пеплов ныне обнажены около с. Мадина. В дальнейшем эксплозии сменились излияниями «нижних» лав; к этому времени и было приурочено окончательное формирование главной вулканической постройки. Далее деятельность вулкана уже выражалась в эффузивных явлениях: у западного основания возникла трещина близмеридионального направления, из которой изливались «верхние» лавы. Последние порции этих лав выходили на поверхность экструзивно, образовав высокие лавовые гряды. Деятельность Армагана закончилась закупоркой трещины и образованием на ее северном окончании побочного кратера.

В заключение отмечу, что история деятельности Армагана в общих

чертах сходна с таковой вулкана Далик [5].

Институт геологических наук АН Армянской ССР

Поступила 12. ХІІ. 1961.

4. Ի. ԿԱՐԱՊԵՏՅԱՆ

ԱՐՄԱՂԱՆ ՀՐԱԲՈՒԽԸ

Udhnhnid

Արմաղան հրաբուխը գտնվում է Գեղամա լեռնաշղթայի հարավ-արևելյան մասում, ՀՍՍՌ-ի Մարտունու շրջանում։

Հրաբուխը ներկայացված է խոշոր (հիմքի տրամագիծը 2000—2200 մ, բարձրությունը՝ 400—500 մ) խարամային կոնով, որի խառնարանում գտնվում է փոքրիկ լճակ։

Արմաղանի լավաները գրավում են մոտ 100 քառ. կմ տարածություն և

վազմությամբ համապատասխանում են անդեզիտներին։

Հրաբուխի ժայβքումներն սկսվել են հզոր ավազամոխրային էկսպլոզիաներից, որոնք աստիճանաբար փոխարինվել են լավայի արտավիժումներով։ Կոնի ձևավորումից հետո արևմտյան հիմքի մոտ տեղի է ունեցել միջօրեականի ուղղության ճեղքվածքի գոյացում, որից նույնպես արտավիժել են լավաներ։ Լավայի վերջին բաժինները դուրս են եկել էկստրուզիվ ձևով։ Գործունեության վերջին ստադիայում ճեղքվածքի հյուսիսային վերջավորությունում

Արմաղանն առաջացել է հոլոցենում լոկալ տեկտոնական խզվածքի վրա։ Այդպիսի խզվածքները, որոնք կապում էին մագմատիկ օջախը մակերեսի հետ, ձգվում են Փոքր Կովկասով, հյուսիս-արևմուտքից դեպի հարավ-արևելք։ Խղումներն առաջացել են պլիոցեն-անտրոպոգենում երկրի կեղևի բարձրաց-

ման հետևանքով։

ЛИТЕРАТУРА

- 1. Асланян А. Т. Региональная геология Армении. Айпетрат, Ереван, 1958.
- 2. Заварицкий А. Н. Некоторые черты четвертичного вулканизма Армении. «Изв. АН АрмССР», № 5—6, 1944.
- 3. Заварицкий А. Н., Соболев В. С., Кваша Л. Г., Костюк В. П., Бобриевич А. П. Новые диаграммы для определения состава высокотемпературных плагиоклазов. «Зап. Мин. общ.», ч. 87, в. 5, 1958.
- 4. Карапетян К. И. Некоторые особенности четвертичного вулканизма Даралагеза. ДАН АрмССР, т. 28, № 1, 1959.
- 5. **Карапетян К. И.** Вулкан Далик. «Изв.» АН АрмССР, сер. геол. и геогр. наук, т. 12, № 4, 1959.
- 6. **Кузнецов С. С.** О некоторых геоморфологических чертах побережья оз. Севан, «Изв. АН СССР», IV, 1930.
- 7. Милановский Е. Е. Новейшая тектоника Севанской впадины. БМОИП, отд. геол., т. 35 (5), 1960.
- 8. Паффенгольц К. Н. Бассейн озера Гокча (Севан). Тр. ВГРО. вып. 219, 1934.
- 9. Паффенгольц К. Н. Ехегнадзор гор. Камо (Нор Баязет). Путевод. 1-го Всес. Вулк. совещ., Ереван, 1959.

նրկրար. և աշխարհագր. դիտ. XV, № 2, 1962

Геологич, и географич. мауки

МИНЕРАЛОГИЯ

Р. Н. ЗАРЬЯН

ТЕЛЛУРИДЫ И ТЕЛЛУРИТ СВИНЦА В РУДАХ КАФАНСКОГО МЕСТОРОЖДЕНИЯ

При наших минераграфических исследованиях в рудах Кафанского месторождения получен новый фактический материал по минералогии медноколчеданных и полиметаллических руд, который излагается в настоящей статье.

В геологическом строении района месторождения принимают участие вулканогенно-осадочные образования средне- и верхнеюрского возраста, представленные различными порфиритами, их туфами и туфобрекчиями.

Упомянутая выше эффузивно-осадочная толща прорвана многочис-ленными дайками кварцевых порфиров и альбитофиров.

Рудовмещающими породами являются, в основном, интенсивно гидротермально измененные кварцевые порфириты среднеюрского возраста. Описываемое месторождение детально исследовано В. Н. Котляром, Ю. А. Араповым, Б. С. Вартапетяном и др.

Оруденение морфологически представлено жильным и прожилкововкрапленными типами.

Следует отметить, что зоны окисления и вторичного сульфидного обогащения на описываемом месторождении проявлены слабо.

В составе гипогенных руд принимают участие следующие минералы: пирит, халькопирит, сфалерит, галенит, борнит, халькозин, теннантит, энергит, алтаит, петцит, тетрадимит и самородное золото. Гипергенные минералы представлены: самородной медью, халькозином, ковеллином, борнитом, теноритом, купритом, малахитом, азуритом, хризоколлой и ярозитом. Жильными минералами являются кварц и карбонат.

В результате детальных минераграфических исследований [1, 3, 6] в рудах Кафанского месторождения нами впервые были обнаружены гессит, теллуровисмутит, галеновисмутит, тетраэдрит и теллурит свинца — данхемит PbTeO₃ (?).

При диагностике теллуридов, помимо тщательных замеров оптических констант, применялись полуколичественный спектральный, микроспектральный и микрохимический анализы. Во всех случаях на приборе ПМТКО-1 замерялись дисперсия отражательной способности и микротвердость (фиг. 1)*. При измерениях в качестве эталона служила само-

^{*} Измерения велись автором в лаборатории минераграфии ВИМС'а.

родная платина. Необходимо отметить, что при определении теллуридов результаты полуколичественного спектрального, микроспектрального и микрохимического анализов полностью согласуются с данными микроскопического исследования. Теллуриды образуют мелкие выделения, размерами от тысячных до десятых долей мм в поперечнике. Обычно они наблюдаются как в полиметаллических, так и медноколчеданных рудах. Следует отметить, что теллуриды обнаруживаются не только в участках руд с высокой концентрацией теллура, но и там, где его содержание достигает тысячных и даже десятитысячных долей процента. Ниже приводится описание отмеченных выше минералов.

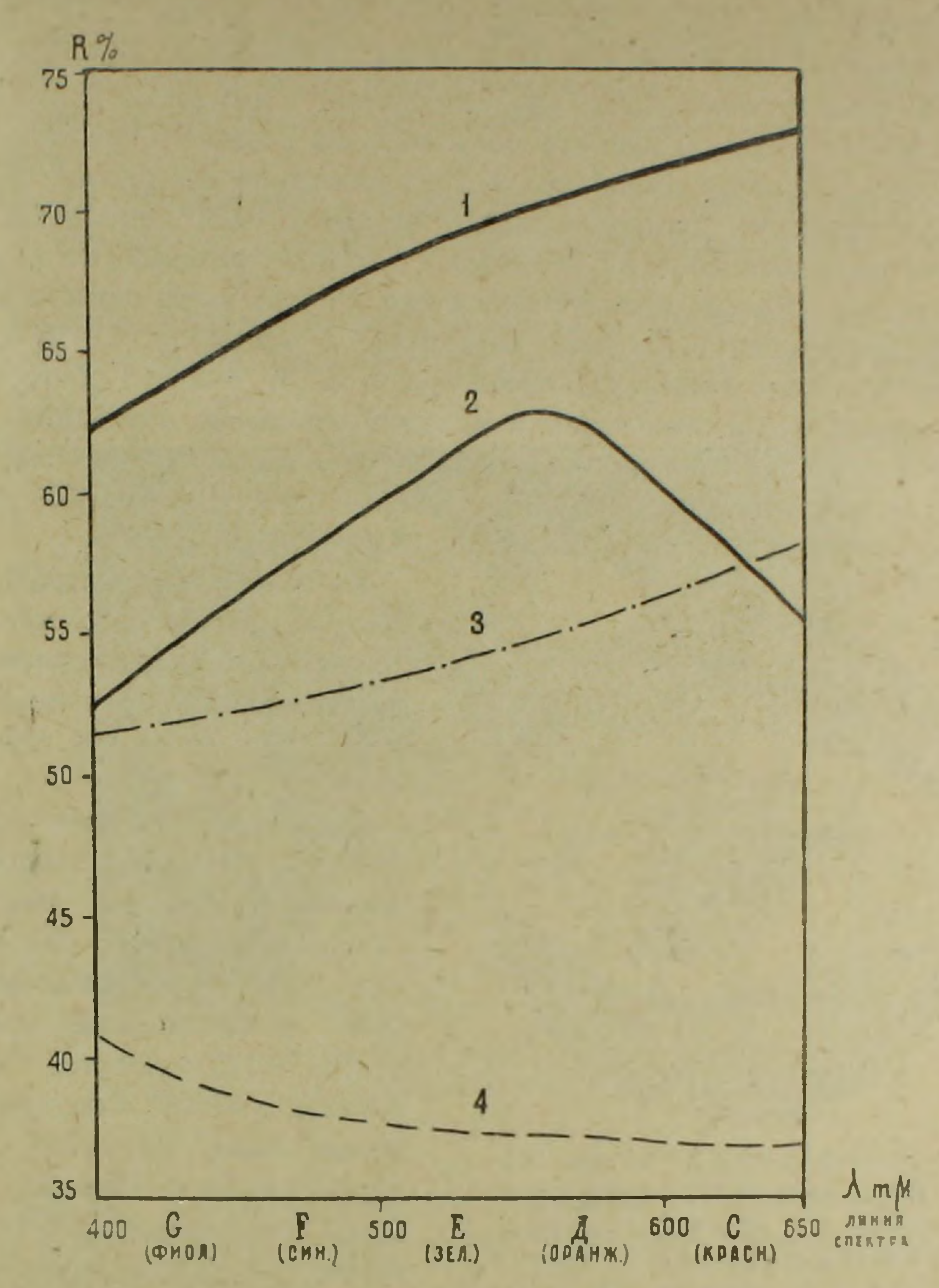
Гессит по сравнению с алтаитом является менее распространенным теллуридом. В отраженном свете минерал серовато-белый с характерным розовато-коричневым оттенком. В скрещенных ииколях сильно анизотропен с цветным эффектом от темно-оранжевого до темно-синего. Двуотражение в масле заметно отчетливо и сопровождается цветным эффектом от слабо-коричневатого до сиренево-розоватого. На фиг. 1 приведен характер изменения кривой дисперсии отражательной способности гессита для различных длин волн. Не трудно заметить, что отражательная способность гессита постепенно понижается, достигая своего минимума в красной части спектра. Минерал очень мягкий, полируется хорошо. Рельеф ниже алтаита и петцита. Микротвердость по нашим измерениям колеблется в пределах 31—45 кг/мм². Среднее значение равно 36 кг/мм², что по шкале Мооса соответствует 2,3.

Описываемый минерал образует изометричные, неправильные, иногда удлиненные формы выделений. Размер отдельных включений составляет от 0,003—0,05 до 0,1—0,2 мм в поперечнике. Гессит встречается в полях галенита, халькопирита, пирита, редко сфалерита и тесно ассоциируется с петцитом, алтантом, теллуровисмутитом, блеклой рудой (теннантит, татраэдрит) и, что весьма интересно, с самородным золотом. Обычно вместе с петцитом образует характерную гессит-петцитовую массу (фиг. 2). По-видимому, упомянутые массы гессита и петцита свидетельствуют о почти одновременном их выделении. Иногда в полированных шлифах наблюдаются структуры замещения алтанта гесситом, что указывает на более позднее выделение теллуридов золота и серебра. Характерно, что самородное золото образует изометричные или неправильные включения в гессите. Часто очень тонкие волосовидные прожилки золота секут ангедральные выделения гессит-петцитовой массы.

Приведенные факты взаимоотношений самородного Au и теллуридов Au, Ag указывают на то, что в процессе рудообразования самородное золото, вероятно, выделялось после теллуридов. Полуколичественным спектральным анализом* в полиметаллической руде обнаружены следующие

^{*} Анализы проводились в спектральной лаборатории ИГН Академии наук Армянской ССР (аналитик М. Я. Мартиросян).

элементы: Pb, Zn $> 10^{0}/_{0}$; Fe, Mn, Cd $-1-3^{0}/_{0}$; Te $\sim 0,1^{0}/_{0}$; Ag $\sim 0,03^{0}/_{0}$; Au $-0,003-0,01^{0}/_{0}$; от тысячных до сотых долей процента V, Ti, Cr, Bi, As, Sn, Hg, Ge, Ga и In.



Фиг. 1. Кривые дисперсии отражательной способности (по данным измерений автора): 1 — эталонная кривая самородной платины (по Орсэлю и Фастрэ); 2 — алтаита; 3 — теллуровисмутита; 4 — гессита.

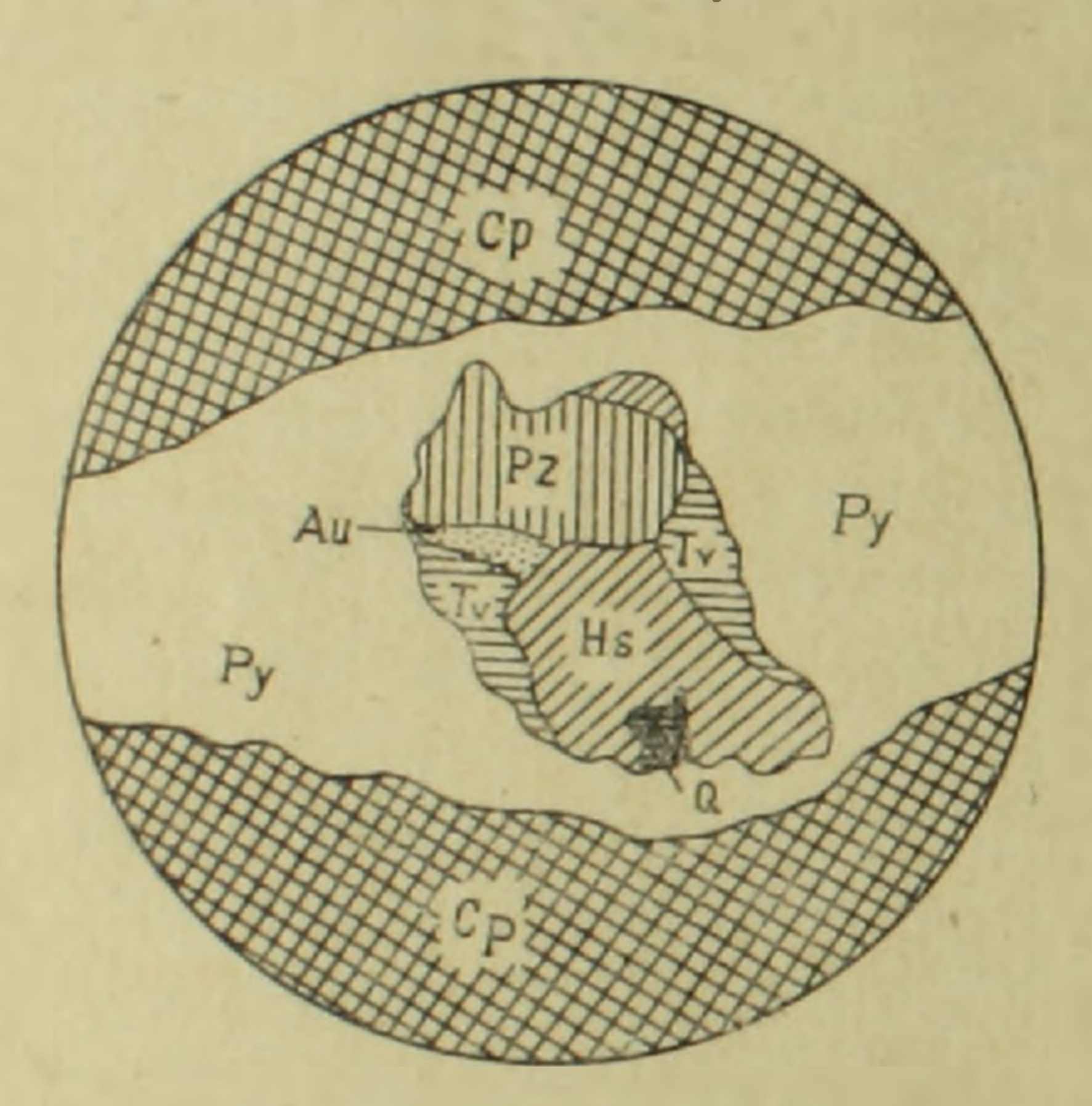
Результаты спектрального, микроспектрального* анализов и микрохимической реакции [2] полностью подтвердили принадлежность описываемого минерала к гесситу.

Теллуровисмутит является характерным минералом кальцит-сфалерит-галенитовой стадии минерализации и третьим по распространенности

Микроспектральные анализы выполнены в минераграфической лаборатории ИМГРЭ АН СССР (аналитик Л. Н Соболева).

теллуридом после алтанта и гессита. Встречается в виде ангедральных выделений, размером от 0,004 до 0,3 мм в полях халькопирита и пирита (фиг. 2). Обычными спутниками теллуровисмутита являются гессит, петцит, которые, как правило, тесно срастаются друг с другом. В полированных шлифах — белый с характерным розовым оттенком. Анизотропный, особенно четко проявляющийся при наблюдении в иммерсии. Двуотражение слабое без цветного эффекта, заметно лишь в масле. Отражательная способность визуально выше пирита. На приводимой диаграмме (фиг. 1) отчетливо видно, что кривая дисперсии отражательной способности теллуровисмутита постепенно поднимается и достигает максимума в красной части спектра. Обычно полируется хорошо. Рельеф выше петцита и гессита. Микротвердость минерала варьирует в пределах 55—75 кг/мм² (2,7—2,9 по шкале Мооса). Наличие висмута и теллура обнаружено спектральным, микрохимическим и микроспектральным анализами.

По данным спектрального анализа" в теллуровисмутите обнаружены: Ві, Те>10% (основа); Ag>0,1%; Au--0,01%; Pb, Sb--0,1--0,3%; сотые и тысячные доли процента Cu, Fe, As, Mg и др.



Фиг. 2. Ангедральные выделения гессита (Hs), петцита (Pz), геллуровисмутита (Tv) и самородного золота (Au) в пирите (Ру). Наверху и внизу халькопирит (Ср). Черное—кварц (Q). Полированный шлиф, 300.

На основании спектрального, микрохимического, микроспектрального и микроскопического исследований описываемый минерал определен как теллуровисмутит.

РьТеО₃ (?) является продуктом окисления алтаита. Впервые найден английским минерологом Данхемом (Danham) в 1935 г. в Нью-Мексико. В литературе [4,5] имеются очень скудные данные. Формула приблизительная. Данхемит обнаружен только в аншлифах. Минерал кристаллографически не изучен. Установленный нами теллурит свинца под микроскопом имеет светло-бурый цвет. В скрещенных николях сильно

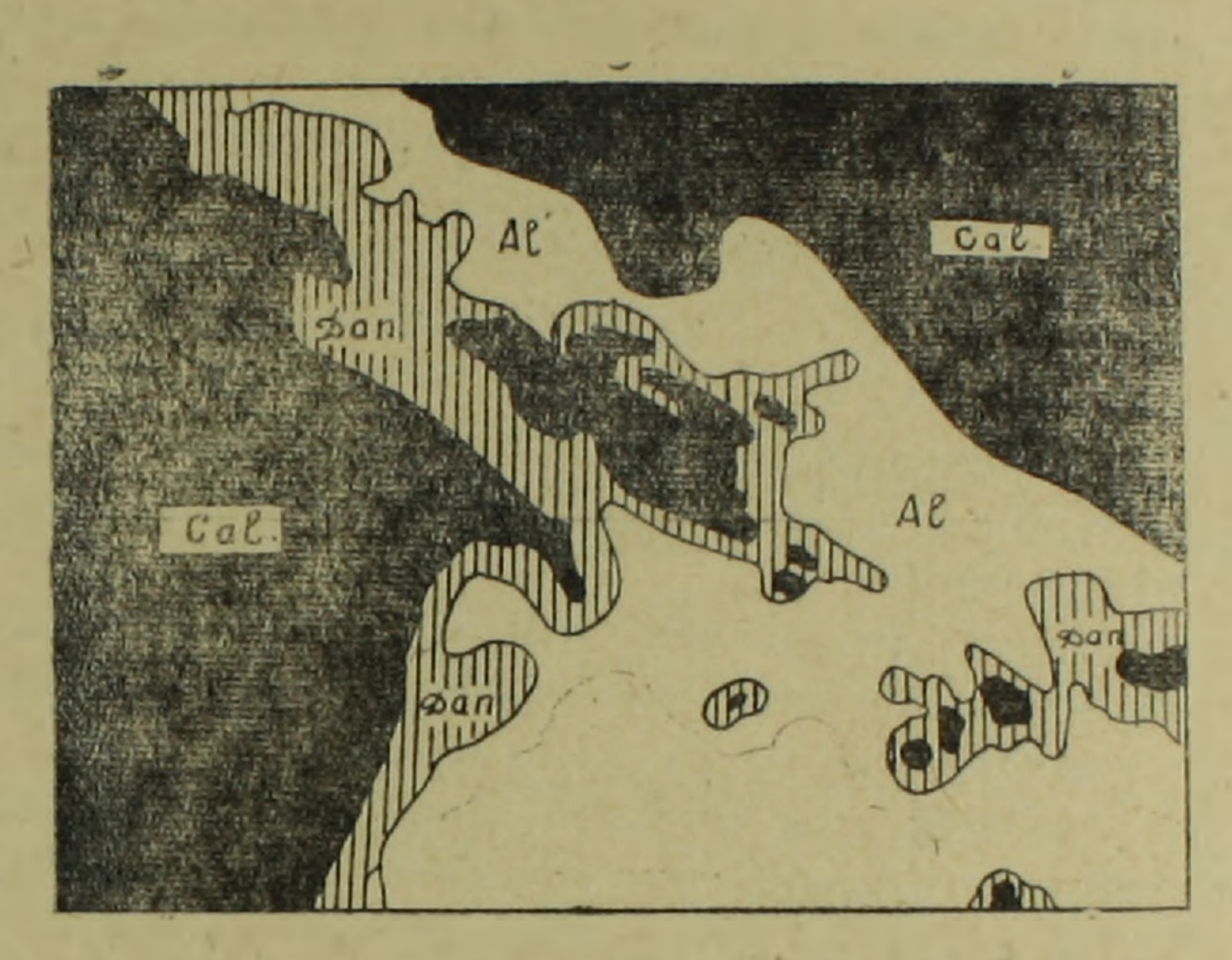
анизотропен. Двуотражение отчетливо заметно в воздухе с цветным эффектом. Минерал обнаружен в полях алтаита в виде каемок, вокруг включений жильных минералов, толщиной от тысячных до сотых долей мм (фиг. 3). Следует отметить, что при окислении теллурит овинца переходит в данхемит (?), а реже по нему образуются коррозионные структуры разъедания церуссита. Отражательная способность по ви-

Спектральный анализ произведен в спектроскопической лаборатории ВИМС'а (аналитик К. В. Бурсук).

зуальной оценке выше сфалерита и значительно ниже галенита. R для желтой части спектра равен ~ 32 . Полируется хорошо. Микротвердость минерала в среднем равна $11-13~\kappa z/mm^2$, что при пересчете на относительную твердость по шкале Мооса составляет 1,6. От HNO_3 быстро чернеет с выявлением структуры. HCl действует. C KCN, $HgCl_2$ и KOH не реагирует.

Близко определенный теллурит свинца — данхемит находится в процессе детальных рентгенометрических и кристаллооптических исследований.

Очевидно, гидротермальные растворы в конце полиметаллической стадии минералообразования содержали повышенные концентрации тел-



Фиг. 3. Каемки данхемита (Dan.) (?) вокруг включений кальцита (Cal.) в полях алтаита (Al). Полированный шлиф. ×125.

лура, висмута, серебра и золота, причем выделение теллуридов происходило в конце кальцит-сфалерит-галенитовой стадии минерализации, после выпадения сульфидов.

Последовательность выделения описанных теллуридов на основании детального изучения взаимоотношений их с различными сульфидами и друг с другом представляется в следующем виде: алтант-теллуровисмутит-гессит-петцит.

В заключение следует отметить, что не исключается возможность обнаружения новых теллуридов в сульфидных рудах Кафанского медного месторождения.

Институт геологических наук АН Армянской ССР

թ. թ. ՉԱՐՅԱՆ

ԹԵԼՈՒՐԻԳՆԵՐԸ ԵՎ ԿԱՊԱՐԻ ԹԵԼՈՒՐԻՏԸ ՂԱՓԱՆԻ ՊՂՆՁԻ ՀԱՆՔԱՎԱՅՐՈՒՄ

U. if ih n ih n i if

Ղափանի հանքավայրի երկրաբանական կառուցվածքում մասնակցում հն միջին և վերին յուրայի հրաբխածին առաջացումները և դրանց հատող բաղմաթիվ ալբիտոֆիրային ու կվարց-պորֆիրային դայկաները։

Հանքային գլխավոր միներալներն են՝ պիրիտը, խալկոպիրիտը, տենանտիտը, էնարգիտը, ալթաիտը, պետցիտը, տետրաղիմիտը և բնածին ոսկին։

Հանքանյութերի մանրամասն ուսումնասիրման ժամանակ հեղինակին հաջողվել է հայտնաբերել՝ հեսիտ, թելուրոբիսմուտիտ, գալենոբիսմուտիտ, տետրաէդրիտ և դանխեմիտ (կապարի թելուրիտ PhTeO₃ (?)։

Թելուրի միներալները հանդիպում են բազմամետաղային և պղնձակոլչեդանային հանքանյութերում, որոնց չափերը միլիմետրի հազարերորդական մասերից հասնում են մինչև 0,2 մմ։

Վերոհիշյալ միներալները որոշված են անդրադարձված լույսի տակ և նրանց առկայությունը հաստատվում է սպեկտրալ, միկրոսպեկտրալ և միկրոջիմիական անալիգներով։

Ակնհայտ է, որ կալցիտ-սֆալերիտ-գալենիտային հանքառաջացման ստադիայի վերջում հիդրոներմալ լուծույնները պարունակել են նելուրի, ար-ծանի, ոսկու և բիսմուտի բարձր կոնցենտրացիաներ։ Անհրաժեշտ է նշել, որ նելուրիդների գոյացումը, ըստ երևույնին, տեղի է ունեցել բազմամետաղա-յին միներալացման ստադիայի վերջում, սուլֆիդների առաջացումից հետու

Թելուրիդների անջատման հաջորդականությունը պատկերացվում է հետևյալ կերպ՝ ալթաիտ-թելուրորիսմուտիտ-հեսիտ-պետցիտ։

ЛИТЕРАТУРА

- 1. Волынский И. С. Определение рудных минералов под микроскопом, Т. З. Госгеолиздат, М., 1949.
- 2. Шорт М. Н. Микроскопическое определение рудных минералов (перевод с английского А. И. Яковлева под ред. проф. И. Ф. Григорьева). ОНТИ, 1934.
- 3. Ramdohr P. Die Erzmineralien und ihre verwachsungen, Berlin, 1955.
- 4. Fairbanks E. E. The punched card identification of ore minerals, Econ. Geol., 1946, vol. 41, № 7, p. 767.
- 5. Fairbanks E. E. Amer. Min., 1947, vol. 32, p. 683.
- 6. Uytenbogaardt W. Tables for microscopic identification of ore minerals, New Jersey, 1951,

ДИЗЧИЧИЪ ПОГ ЧТОПТЕТТЕТ ИЧИТЕПТИЗТ ВЕСТИЯ АКАДЕМИИ НАУК АРМЯНСКОЯ ССР

ГЕОХИМИЯ

М. А. САТИАН, Э. А. КЮРЕГЯН, Г. М. МКРТЧЯН, М. Я. МАРТИРОСЯН

О РАСПРОСТРАНЕНИИ МОЛИБДЕНА В ОТЛОЖЕНИЯХ Б. СЕВАНА

Установление источников сноса молибдена и условий его накопления в отложениях оз. Севан представляет практический и теоретический интерес ввиду особого структурного положения озерной котловины: на границе различных по металлогении Памбак-Сюникского (Зангезурского) и Севано-Амасийского рудных поясов республики.

Концентрации *Мо* характерны лишь для Памбак-Сюникского пояса [3], в пределах которого расположен юго-западный водосбор озера. Между тем, геологическое строение водосбора на значительной площади маскируется четвертичными лавами, вследствие чего геохимические методы поисков для установления концентрации *Мо* имеют первоочередное значение.

В строении осадков Б. Севана* устанавливается четыре ритма осадконакопления. Они отражают смену трансгрессий и регрессий озера, определивших последовательное изменение площадей полимиктовых песков и алевритов прибрежья и тонких илов (алевритистых глин) центральной части водоема. Суммарная мощность осадков первых трех ритмов равна 4,2 м, мощность осадков четвертого ритма (современного регрессивного) равна 0,3—0,5 м.

В вертикальном разрезе осадков содержание молибдена от нижних слоев к верхним в целом уменьшается от $n-0,n\times 10^{-3.0}/_{0}$ до следов молибдена**.

Среднее содержание молибдена (табл. 1) в отдельных типах отложений и среднее для всех типов отложений Б. Севан (с учетом площади их распределения) выше кларка молибдена для ооадочных пород [1, 5].

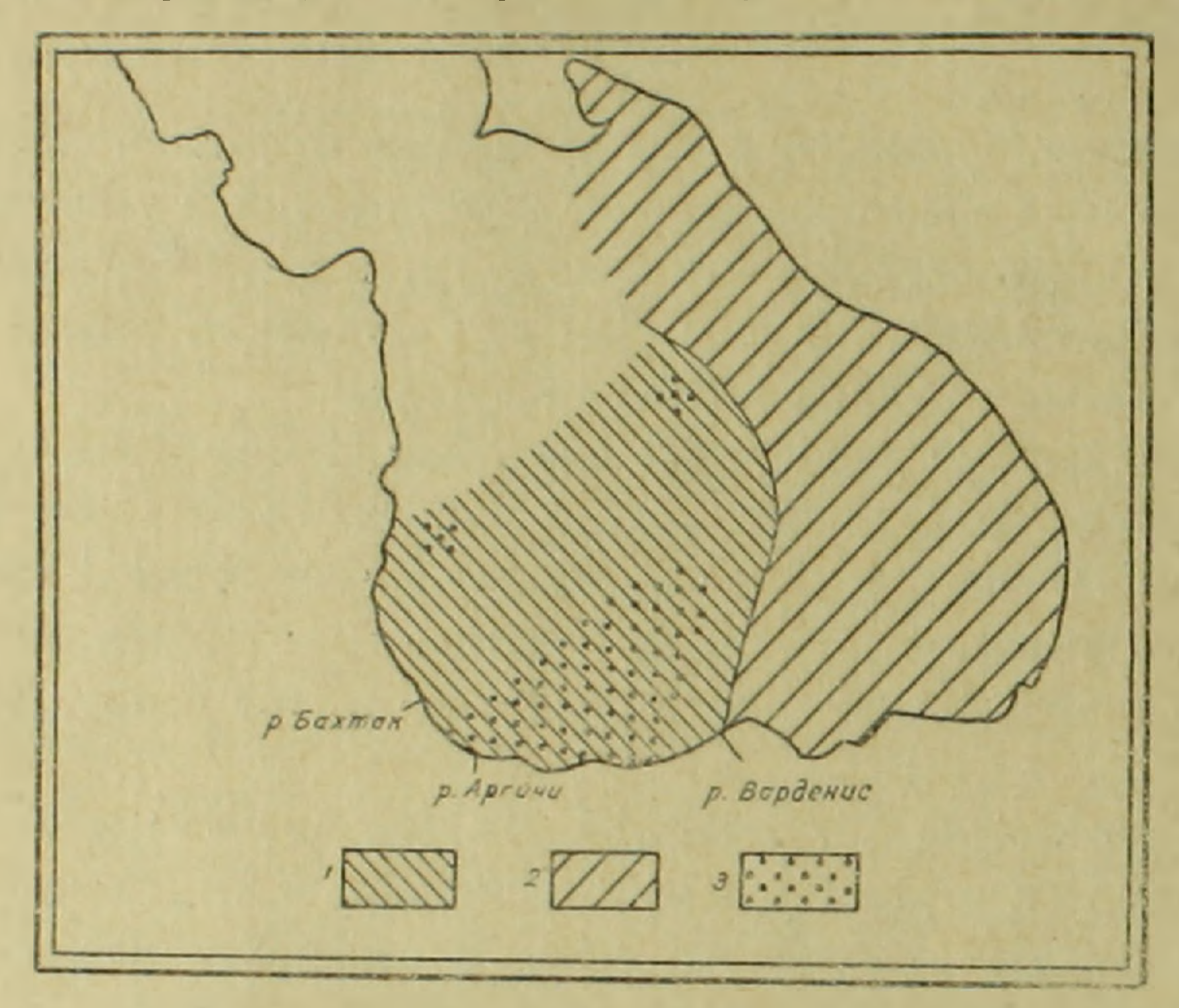
* Отложения Б. Севана разбурены на различных глубинах озера вибропоршневой трубкой с отбором колонки осадков, мощностью до 4.5 м. Бурение проведено Институтом водных проблем АН Армянской ССР.

^{**} Аналитические определения проведены в гидрохимической и спектральной лабораториях ИГН АН АриССР; а) спектральным полуколичественным методом молибден определялся по ливиям возбуждения: 3170.347 и 3132.594 Å, чувствительность определения 0,0003°/о; б) химическое определение валовых содержаний Мо проведено сплавлением и дальнейшим определением колориметрическим роданидным методом; в) определение молибдена в водных и соляно-кислых вытяжках проведено колориметрическим роданидным методом.

Таблица 1

Метод изучения	Число опреде- лений	Пески	Алеври-	Глины	Среднее для осад-ков Б. Севана
Химический	24	3,3×10 ⁻⁴	не опр.	$2,7\times10^{-4}$	2,9%10-4
Спектральный	70	5×10 ⁻⁴	4×10 ⁻⁴	5×10^{-4}	5×10^{-4}

По распространению в осадках подвижного молибдена, привнесенного в осадки в растворенном виде, территория Б. Севана подразделяется на юго-западную (1) и северо-восточную (II) зоны (фиг. 1).



Фиг. 1. Условные обозначения: 1. Зона высоких содержаний подвижного молибдена. 2. Зона низких содержаний подвижного молибдена. 3. Аномалии подвижного молибдена.

В осадках зоны I по сравнению с осадками зоны II подвижного молибдена больше в среднем в 4 раза.

Подвижный молибден составляет в осадках зоны I в среднем до 50% валового содержания Мо и не более 10% в зоне II. От прибрежных к сравнительно «глубоководным» осадкам зоны I содержание валового и подвижного молибдена уменьшается (табл. 2).

Вместе с тем в составе подвижного молибдена возрастает содержание воднорастворимого *Мо* и заметно падает содержание *Мо*, растворимого в 2.5% НСІ. Эти данные, а также определение *pH* отложений и содержание карбоната кальция дают основание предположить, что формы соединений подвижного *Мо* в осадках отдельных фациальных полос водоема не одинаковы, в сравнительно глубоководных глинах следует ожидать легкорастворимые гидроокислы молибдена, тогда как в прибрежных песках и алевритах, обогащенных карбонатом кальция, вероятно нахождение сравнительно труднорастворимых молибдатов кальция.

							Таблица 2
Наименование	чий определе-	Зона	содер-	Содержани и соляноки соде	ние не- мого Мо валового ия в по-		
породы			Валовое жание Л роде в °	H ₂ O	HCl (2,5°/ ₀)	суммарное: (Н₂О + НСІ)	Содержа раствори (в °/о от содержан роде)
Песок грубо- и крупнозернистый Песок мелкозернистый, глинистый Глина алеврити-стая	3 2 7 2 6 4		0,00034 0,00013 0,00032 0,00056 0,00027 0,00027	5,82 5,69 18,43 2,50 18,74 9,77	72,35 7,30 27,92 0,55 9,63 4,11	78,17 12,99 46,35 3,05 28,37 13,88	21,83 87,01 53,65 96,95 71,63 86,12

Механический молибден, составляющий от 86% до 96% валового содержания Mo осадков зоны II, как показывают имеющиеся данные, связан, главным образом, с обломочными легкими минералами: полевыми шпатами, вулканическим стеклом и т. д.

Отметим, что молибденит в осадках озера не обнаружен.

Таким образом, во II зону привносится, в основном, молибден механический, связанный с обломочными минералами. Судя по распределению молибдена в вертикальном разрезе осадков, а также, исходя из гидрогеологических особенностей юго-западного водообора, можно полагать. что в I зону Мо привносится в результате размыва подземными водами молибденсодержащих пород подлавовых зон.

На общем наложенном солевом фоне молибдена зоны I выявляется ряд аномалий, наиболее крупная установлена в прибрежье, между устьями впадающих в Б. Севан рр. Варденис и Бахтак (фиг. І).

Содержание подвижного молибдена в пределах аномалии равно в среднем $2,2 \times 10^{-3}$ и сопоставимо с содержанием Mo в почвах на медно-молибденовых месторождениях республики [2].

Основываясь на методических работах по ореолам рассеивания Мо [2,4], первичные концентрации металла следует ожидать вблизи аномалии. Поисковый первоочередной интерес представляют участки, погребенные под четвертичными лавами.

Выводы

1. Содержание молибдена в осадкая Б. Севана выше кларка молибдена для осадочных пород.

2. Зональность распределения подвижного молибдена в осадках Б. Севана определена металлогеническими особенностями водосборов: проведенным исследованием подтверждается перспективность подлавовых зон юго-западного водосбора в отношении нахождения здесь концентраций Мо и бесперспективность северо-восточного водосбора.

3. Распределение подвижного молибдена находится в связи с литологическим составом осадков отдельных фациальных полос водоема.

Известия, XV, № 2-3

4. Целесообразно проведение поисковых работ на первичные концентрации молибдена в районе выявленной аномалии.

Пользуемся возможностью выразить благодарность дирекции и сотрудникам Института водных проблем АН Армянской ССР, оказавшим содействие в работе.

Институт геологических наук АН Армянской ССР

Поступила 12.1. 1962.

Մ. Ա. ՍԱԹԻԱՆ, Է. Ա. ԿՅՈՒՐԵՂՅԱՆ, Գ. Մ. ՄԿՐՏՉՅԱՆ, Մ. ՅԱ. ՄԱՐՏԻՐՈՍՅԱՆ

ՄՈԼԻԲԴԵՆԻ ՏԵՂԱԲԱՇԽՈՒՄԸ ՄԵԾ ՍԵՎԱՆԻ ՆՍՏՎԱԾՔՆԵՐՈՒՄ

lh u h n h n ı u

Մեծ Սևանի նստվածքներում մոլիբդենի միջին համախառն պարունակու-Թյունը բարձր է նստվածքային ապարների մոլիբդենի կլարկից։

Մեծ Սևանի տերիտորիան ըստ շարժուն մոլիբդենի տեղաբաշխման ստորաբաժանվում է երկու զոնայի. հարավ-արևմտյան (1) և հյուսիս-արևել-յան (2), որոնք իրենց ծազմամբ պարտական են հարավ-արևմտյան և հյուսիս-արևելյան ջրահավաք ավազանների մետալոգենիայի առանձնահատկու- Թյուններին։

1-ին զոնայի նստվածքներում շարժուն մոլիբդենը 4 անգամ ավելի է, քան 2-րդ զոնայում։

1-ին զոնայի շարժուն մոլիբդենը միջին հաշվով կազմում է համախառնի 50%, 2-րդ զոնայում—10%։ Առափնյա նստվածքներից դեպի «Խորջրյա» նստվածքները համախառն և շարժուն մոլիբդենի սլարունակությունը նվազում է։ Դրա հետ միասին շարժուն մոլիբդենի կազմում աճում է ջրում լուծվող և պակասում HCl-ում լուծվող մոլիբդենի պարունակությունը։

Վարդենիս և Բախտակ գետերի միջգետաբերանային մասում 1-ին զոնայի մոլիբդենի պարունակության ընդհանուր ֆոնի վրա անջատվում է շեղում, որն արժանի է մետաղի սկզբնական կուտակման հայտնաբերման համար որոնողական աշխատանքների կազմակերպման։

ЛИТЕРАТУРА

- 1. Виноградов А. П. Распределение химических элементов в земной коре. Геохимия, № 1, 1956.
- 2. Долуханова Н. И. Опыт применения гидрохимической съемки на медно-молибденовых месторождениях Армянской ССР. Изд-во АН АрмССР, 1958.
- 3. Магакьян И. Г., Мкртчян С. С. Взаимосвязь структуры, магматизма и металлогении на примере Малого Кавказа. «Известия» АН АрмССР (сер. геол. и географияук), № 4, 1957.
- 1. Миллер А. Д., Мохов А. А., Турылева Л. В. Метод определения молибдена в наложенном солевом ореоле. Геохимия, № 7, 1961.
- 5 Рехарский В. И., Крутецкая О. В. Молибден в породах юго-западных отрогов северного Тянь-Шаня. Тр. Ин-та геологии рудных месторождений, петрографии, минералогии и геохимии АН СССР, вып. 46, 1960.

20.340.406 000 40.50160-30166660 0.40.40600 0.80 0.0 р и з в е с т и я а к а д е м и и н а у к. а р м я н с к о я с с р огуштвшят. фт. хv, № 2, 1962 Геологич. и географич. науки

ГИДРОГЕОХИМИЯ

А, Р. ГАЛСТЯН

К ВОПРОСУ О ГИДРОГЕОХИМИИ ШОРЖИНСКОГО ХРОМИТОВОГО МЕСТОРОЖДЕНИЯ

Гидрохимический метод при настоящей его разработанности, как указывает А. А. Бродский, может применяться, в основном, для поисков сульфидных месторождений, в той или иной степени затронутых процессами окисления.

Возможность применения гидрохимического метода при поисках месторождений ванадия, кобальта, олова, хрома и других металлов, как предполагает А. А. Бродский в своей работе «Гидрохимический метод понсков рудных месторождений», побудила нас к проведению опытных гидрохимических исследований на Шоржинском месторождении хромита.

Основной задачей наших гидрохимических исследований являлось выяснение (на примере Шоржинского месторождения) закономерностей распределения и концентрации хрома в водах, циркулирующих в пределах развития ультраосновных пород, а также вопросов миграции хрома в природных водных растворах.

Шоржинское месторождение хромита, расположенное на северо-восточном побережье оз. Севан, находится в 1 км к северо-востоку от селения Шоржа Красносельского района Армянской ССР.

Шоржинский перидотитовый массив является составной частью петрогенической провинции ультраосновных пород, проходящей по северовосточному побережью оз. Севан.

Основную роль в геологическом строении Шоржинского месторождения играют основные и ультраосновные породы послеверхнемелового возраста, а также осадочные и вулканогенные образования.

Площадь Шоржинского массива составляет 1,5—2 км² при длине около 3,0—3,5 км и ширине 0,5—0,7 км. Массив вытянут в широтном направлении. К западу он, постепенно суживаясь, принимает форму дайкообразной пластовой интрузии. В этой части интрузивный массив зажат между верхнесенонскими известняками, поставленными на голову, или крутопадающими на север.

Известняки развиты в северо-восточной, южной и юго-западной частях массива. К востоку массив постепенно расширяется и ограничивается породами эоценовой толщи. Эоценовая толща, главным образом, представлена туфами и туфобрекчиями, и среди них выделяются кристаллические и агломератовые туфы.

К современным геологическим образованиям следует отнести делювиальные отложения и каменистые россыпи, распространенные к югу от перидотитового массива.

Шоржинский массив состоит из перидотита, являющегося главной массой интрузива. По минералогическому составу среди перидотита различаются: верлиты, саксониты и лерцолиты.

Дуниты, к которым приурочены месторождения хромита, по занимаемой площади стоят на втором месте. В основном, форма и условия залегания дунитовых участков отвечают общей форме и строению перидотитового массива.

Кроме вышеописанных пород, в геологическом строении участка принимают участие также: пироксениты, троктолиты, серпентиниты, листвениты и др., которые играют весьма подчиненную роль.

Гидрогеологическая обстановка Шоржинского месторождения не отличается сложностью. Слагающие этот участок породы, известняки, ультраосновные породы и др., в той или иной степени трещиноваты, и тем самым создают благоприятную обстановку для просачивания атмосферных осадков на глубину до определенных горизонтов, отличающихся своей водоупорностью.

Известняки, составляющие здесь северное крыло антиклинали и падающие на север под углом 40—45°, дренируют поверхностные воды в сторону от месторождения. Таким образом, область питания подземных вод расположена несколько севернее и северо-восточнее Шоржинского месторождения. Такая же картина наблюдается в южной части перидотитового массива, где те же известняки падают круто на юг под углом 50—60°. Атмосферные осадки, выпадающие непосредственно на поверхность ультраосновных пород, поступают в систему трещин и направляются по ним в сторону оз. Севан. На всей площади распространения ультрабазитов отмечены несколько выходов подземных вод в виде родников с весьма незначительными дебитами. Все они приурочены исключительно к контактовой полосе ультраосновных пород, в частности перидотитов с дунитами.

За пределами месторождения, в области распространения меловых известняков, отмечены несколько групп родников с значительным дебитом. Выходы этих вод приурочены к трещиноватым известнякам, где происходит их формирование и дальнейшая циркуляция. Недостаточность числа выходов подземных вод на дневную поверхность на площади месторождения, а главное, отсутствие значительно развитой гидрографической сети не дало нам возможности провести детальные гидрохимические исследования.

Таким образом, южные склоны Севанского хребта, в пределах Шоржинского месторождения, сложенные, в основном, известняками и туфогенными породами, являются невлагоемкими и лишены способности накопления сколько-нибудь значительного запаса подземных вод, заслуживающих внимания.

На Шоржинском месторождении отчетливо выделяются два типа вод:

- 1. Трещинные воды, связанные с верхнесенонскими известняками.
- 2. Воды, приуроченные к контакту основных и ультраюсновных пород.

Ко второму типу относятся также воды, связанные с разведочными выработками западного и центрального участков месторождения.

По химическому составу также выделяются два типа вод:

- 1. Гидрокарбонатно-магниевые воды.
- 2. Гидрокарбонатно-кальциевые воды.

К первому типу вод относятся воды горных выработок месторождения, а также родниковые, выступающие на дневную поверхность в пределах перидотитового массива. Общая минерализация этих вод небольшая, от 200 до 750 мг/л сухого остатка.

В анионном ряду доминирует гидрокарбонат, содержание которого во многих пробах достигает 90 и более процентов. Сульфат-ион составляет 4—8%. Содержание хлора незначительное.

В составе катионов преобладающим является ион магния. В водах этого типа магния содержится не менее 80%. Что касается содержания натрия и кальция, они попеременно в различных пробах доминируют один над другим.

Железо определялось общее, содержание его не превышает 2%, а во многих пробах оно не обнаружено.

К гидрокарбонатно-кальциевым водам относятся родниковые воды, приуроченные к осадочной толще меловых известняков, залегающей за пределами перидотитового массива. Общая минерализация этих вод незначительная, колеблется от 200 до 350 мг/л сухого остатка. Содержание кальция в этих водах превышает 50%.

Далее следует магний (от 29% до 49%). Натрия содержится в среднем 3—4%, за исключением двух проб (№№ 22 и 26), где содержание натрия достигает 20%.

Среди анионов, как и в предыдущей группе, превалирует гидрокарбонат-ион (85%—90%). Содержание сульфат-иона не превышает 9%, оно составляет в среднем 5—6%. Хлор-ион занимает последнее место, его содержание не превышает 7%.

Концентрация водородных ионов (рН) определялась колориметрическим методом, точность которого доходит до 0,1—0,2 рН. Величина рН в водах Шоржинского месторождения колеблется в пределах 7,6—7,7, что отвечает слабо-щелочной среде.

По глубине циркуляции подземные воды района относятся к водам зоны просачивания, т. е. расположены между поверхностью и уровнем грунтовых вод.

В основном, формирование химического состава вод происходит под действием атмосферных осадков, обогащенных кислородом и углекислотой, при взаимодействии с окружающими породами, и, в частности, с корой выветривания ультраосновных пород. Здесь в значительной мере происходят процессы растворения, которые и создают основные черты химического состава вод района месторождения.

Таким образом, все данные позволяют нам отнести подземные воды Шоржинского месторождения к группе вод выщелачивания.

Окислительные процессы действуют весьма ограничено. даже в пределах района месторождения. Этому обстоятельству прежде всего прелятствуют морфолого-тектонические факторы, отрицательно действующие на образование окисленной зоны, а также такие факторы, как общие особенности металлогении района, характер рудных тел и др.

Нами было отмечено, что в гидрокарбонатно-магниевых водах наблюдается некоторое повышение общей минерализации. Данные химических анализов позволили выявить, что это повышение общей минерализации идет за счет увеличения в водах иона магния. Накопление иона магния в водах гидрокарбонатно-магниевого типа происходит в результате растворения карбоната магния. Карбонат магния образуется при процессе серпентинизации пород ультраосновной формации, и, главным образом, минерала оливина.

$$(Mg, Fe)_2 SiO_4 \rightarrow Mg_3H_4SiO_9 \rightarrow Mg_3CO_3 + SiO_2 \cdot n H_2O$$
 оливин серпентин

в дальнейшем, при воздействии на MgCO₃ воды происходит растворение:

$$MgCO_3 + CO_2 + H_2O = Mg + 2HCO_3$$

Таким образом, повышенное содержание иона магния в водах может служить косвенным гидрохимическим поисковым признаком на хром в пределах развития ультраосновных пород, в частности в перидотитах, а также, по-видимому, на металлы — спутники: ванадий, кобальт и никель.

Другим гидрохимическим поисковым признаком на хром может служить отношение магния к кальцию. Во всех пробах воды гидрокарбонатно-магниевого типа района Шоржинского месторождения наблюдается

высокое отношение $\frac{Mg}{Ca}$, равное 20-28, а в некоторых случаях и более.

Имея такое высокое отношение магния к кальцию в водах, где общая минерализация не превышает 700 мг/л сухого остатка, можно считать

коэффициент
$$\frac{Mg}{Ca}$$
 косвенным гидрохимическим поисковым признаком.

Железо в большинстве проанализированных проб отсутствует. В очень немногих его содержание доходит до 3 мг/л. Дело здесь в том, что при процессе серпентинизации происходит переход закисного железа в окисное, а последнее, при величине pH среды, равной 7,6—7,7, выпадает в осадок. Другой причиной, препятствующей переходу железа в раствор, могут служить также имеющие, по-видимому, место процессы гидролиза.

Одной из главных задач наших гидрохимических исследований являлось выяснение вопросов, связанных с концентрацией, распределением и миграцией хрома в водной среде. Следует стметить, что о гидрохимии хрома почти нет никаких данных, которые помогли бы нам в решении вышепоставленных вопросов. Нам пришлось выяснять все эти вопросы на конкретных, имеющихся в нашем распоряжении фактических материалах, собранных при проведении гидрохимических исследований только в районе Шоржинского хромитоносного месторождения.

На Шоржинском месторождении нами были опробированы все выходы подземных вод. Результаты химических анализов показывают, что во многих из отобранных проб хром присутствует в виде некоторых хромистых соединений в количестве от нескольких гамм до 1,230 *м/г* на литр.

По литературе известно, что хром, ванадий, сера и дугие элементы в условиях окислительной среды в высоких степенях окисления образуют растворимые соединения — хроматы, ванадаты, сульфаты и др.

Несмотря на то, что на месторождении очень слабо или почти не выражены окислительные процессы, все же нужно признать, что общая гидрохимическая среда окислительная с последующими более сильно выраженными процессами выщелачивания.

Обращаясь к вопросу о переходе хрома в водный раствор, отметим, что основными рудными минералами хрома на Шоржинском месторождении являются хромшпинелиды, принадлежащие к минеральному виду — магнохромиту (Mg, Fe) Cr_2O_4 . Переход хрома в водный раствор осуществляется, по-видимому, по следующей схеме.

При воздействии на минералы-хромшпинелиды с химическим составом (Mg, Fe) Cr₂O₄ свободной углекислоты и воды образуется так называемая основная соль хрома предполагаемого состава по уравнению:

$$2 (Mg, Fe)Cr_2O_4 + .8CO_2 + 6 H_2O \Rightarrow$$

 $4 Cr(OH)CO_3 + Mg (HCO_3)_2 + Fe(HCO_3)_2 + 2HO_2$

Так как циркулирующие в пределах месторождения воды носят, в основном, гидрокарбонатно-магниевый характер, то в дальнейшем при взаимодействии этих вод с основной солью хрома возможно образование следующего воднорастворимого соединения:

2 Cr(OH)CO₃ + 2Mg (HCO₃)₂
$$\Rightarrow$$

2 Mg[Cr(OH)₄]₂ + 6CO₂,

в виде которого хром содержится в водном растворе и им переносится.

Таким образом, в условиях слабо выраженной окислительной среды хром переходит в раствор в виде воднорастворимого комплексного соединения $2Mg[Cr(OH)_4]_2$ и в этом же виде мигрирует.

К сожалению, неравномерность распределения выходов подземных вод на дневную поверхность не позволила составить гидрохимическую карту, где можно было бы оконтурить отдельные рудные поля и тела.

По содержанию хрома в водах Шоржинского месторождения можно считать, конкретно для данной зоны, содержание его в водах от слабых следов до порядка 10 гамм — 0,01 мг на литр фоновым, а более 0,01 мг на

литр аномальным, которое и может служить прямым гидрохимическим поисковым признаком на хром.

На Шоржинском месторождении нами также была проведена почвенно-гидрохимическая съемка. Почвенно-гидрохимический метод поисков рудных месторождений был предложен Н. И. Долухановой в 1951 г. и с успехом был проведен на медно-молибденовых, полиметаллических, медно- и серноколчеданных месторождениях Армянской ССР. Методика почвенно-гидрохимической съемки заключается в изучении интересующих нас металлов в воднорастворимой части почвы, путем отбора пробы в любой точке земной поверхности из наносов и в проведении анализов водных вытяжек.

На участке месторождения была разбита прямоугольная сетка со стороной квадрата в 100 м. Пробы отбирались по профилям строго через каждые 100 м. При проведении почвенной съемки основой служила геологическая карта крупного масштаба.

Приготовление почвенных вытяжек и определение хрома в них колориметрическим методом производились в гидрохимической лаборатории ИГН АН Армянской ССР.

При приготовлении вытяжек на хром почва прокаливалась до полного сгорания органических веществ, мешающих определению хрома.

Почвенный покров на месторождении незначительный и равномерно покрывает весь участок. Отсутствует он на скалистых выходах по неглубоким ущельям. В основном, на участке месторождения почва представлена материалом выветривания ультраосновных пород и, отчасти, наносами алювиально-делювиального характера.

Растительный покров почвы отсутствует, если не считать отдельных кустиков в северной части месторождения.

Прежде чем перейти к интерпретации результатов почвенно-гидро-химической съемки, кратко остановимся на характеристике структуры рудного поля месторождения.

Разведочными работами на Шоржинском месторождении выявлено, что рудные тела имеют линзообразные и гнездообразные формы, причем, они бывают часто вытянуты в одном направлении (преимущественно вертикальному).

Все обнаруженные участки оруденения приурочены исключительно к дунитам, которые среди перидотитовых масс распределены спорадически.

Размеры рудных тел невелики, отдельные гнезда часто измеряются всего лишь 1-3 м (в поперечнике). Линзообразные тела достигают длины 10-20 м при мощности 1-2 м.

Химические анализы почвенных вытяжек показали присутствие хрома во всех пробах (за исключением 8 проб из 129, где хром не был обнаружен) в количестве от слабых следов до 2,720 мг/100 г почвы.

Эти данные позволили составить карту полей равного содержания хрома в воднорастворимой части почв. На этой карте выделено пять интервалов содержания хрома в мг на 100 г почвы: 1—хром не обнаружен:

2—от 0,001 до 0,100; 3—от 0,100 до 0,300; 4—от 0,300 до 0,500 н; 5—от 0,500 и более.

Фоновым содержанием является содержание хрома от 0,100—0,300 мг на 100 г почвы. На общем фоне выделяется несколько значительных аномалий.

Результаты анализов почвенных вытяжек позволили нам выделить на месторождении аномальные участки, большинство которых исключительно хорошо увязывается с геологической обстановкой района и накладывается на дунитовые тела с приуроченными к ним хромитовыми гнездами. На некоторых участках выделенные аномалии, возможно, связаны сзалегающими на глубине слепыми рудными телами.

В заключение следует отметить, что проведенная на Шоржинском месторождении опытная почвенно-гидрохимическяа съемка на хром дала весьма положительные результаты и в дальнейшем с успехом может применяться при поисках месторождений хрома на площадях, где отсутствуют выходы воды.

Институт геологических наук АН Армянской ССР.

Поступила 8.1. 1962.

Ա. Ռ. ԳԱԼՍՏՅԱՆ

ՇՈՐԺԱՅԻ ՔՐՈՄԻՏԻ ՀԱՆՔԱՎԱՅՐԻ ՀԻԴՐՈԳԵՈՔԻՄԻԱՅԻ ՀԱՐՑԻ ՇՈՒՐՋԸ

Udhnyhnid

Շորժայի քրոմիտային հանքավայրում կասարած հիդրոքիմիական հետաղոտությունների հիմնական խնդիրն է եղել պարզել ուլտրահիմքային ապարների ղարգացման սահմաններում շրջանառվող ջրերում քրոմի բաշխման օրինաչափությունը և կոնցենտրացիան, ինչպես նաև բնական ջրային լուծույթներում քրոմի տեղաշարժման հարցերը։

Այս հետազոտությունների շնորհիվ պարզվել է, որ Շորժայի հանքավայրում հիմնականում շրջանառվում են երկու տիպի ջրեր՝ հիդրոկարբոնատալին-կալցիումային, որոնք գտնվում են կրաքարերի շրջանում, և հիդրոկարրոնատային-մագներիումային ջրեր, որոնք շրջանառվում են ուլտրահիմքային ապարների տարածման սահմաններում։

Շորժայի հանքավայրի ջրերի քիմիական բաղադրության ձևավորումը հիմնականում կատարվում է ագրեսիվ մինոլորտային տեղումների և շրջապատի ապարների փոխներդործության ազդեցությամբ։

Այստեղ տեղի ունեցող լուծման պրոցեսների մեծ մասը, որոնք և ստեղծում են ջրի քիմիական բաղադրության հիմքը, թույլ են տալիս Շորժայի հանքավայրի ստորերկրյա ջրերը վերադրել ալկալիացման ջրերի խմբին։

Հուտ միներալիղացման աստիճանի հիդրոկարբոնատային-մագնեղիումային ջրերը ղդալիորեն տարբերվում են հիդրոկարբոնատային-կալցիումային ջրերից։ Այդ ջրերում չոր մնացուկը հասնում է 750 մգ/լիտրի, այն դեպքում, երբ կալցիումային ջրերում այն չի անցնում 350 մգ/լիտրից։

Հիդրոկարբոնատային-մագնեղիումային ջրերի ընդհանուր բարձր միներակիզացիան սերտորեն կապված է մագնեզիումի բաղադրիչի պարունակությունից, որի ներբերումը կատարվում է ուլտրահիմքային ապարներից։

Այս տիպի ջրերը կարող են ծառայել ինչպես քրոմի, այնպես էլ ուղեկից մետաղների՝ վանադիումի, կոբալտի և նիկելի հիդրոքիմիական որոնման անուղղակի հատկանիչ։

Քրոմի անցումը լուծույթի մեջ, ըստ երևույթին, կատարվում է նշված սխեմայով և Mg[Cr(HO)₄]₂ և ջրում լուծվող կոմպլեքսային միացության ձևով տեղաշարժվում է հանքավայրերի սահմաններում շրջանառվող ջրերում։

Ջրի լուծամղուկների միջոցով կատարած քիմիական անալիզի արդյունքների հիման վրա առանձնացվել են շեղումային տեղամասեր։ Սրանց մեծ մասը լավ կապվում է շրջանի երկրաբանական կառուցվածքի հետ։ Դրանից բացի, այն եզրագծված տեղամասերը, որտեղ հողա-հիդրոքիմիական նկարահանումները ցույց են տալիս քրոմի բարձր պարունակություն հողում, հանդիսանում են հեռանկարային և արժանի են հետասոտման։

ЛИТЕРАТУРА

- 1. Бетехтин А. Г. Хромиты СССР. Изд. АН СССР, 1937.
- 2. Бродский А. А. Гидрохимический метод поисков рудных месторождений. Госгеолтехиздат, 1957.
- 3. Долуханова Н. И. Опыт применения гидрохимической съемки на медно-молибденовых месторождениях Армянской ССР. Изд. АН АрмССР, 1958.
- 4. Кюрегян Э. А. Реакция вытяжек при поисковой почвенно-гидрохимической съемке. Изв. АН АрмССР, т. XI, № 5, 1958:

Սկրար, և աշխարճագր, դիտ.

XV, № 2, 1962 Геологич. и географич. науки

ГИДРОГЕОХИМИЯ

С. Р. КРАЙНОВ, М. Х. КОРОЛЬКОВА

О ЗАКОНОМЕРНОСТЯХ РАСПРОСТРАНЕНИЯ НЕКОТОРЫХ МИКРОЭЛЕМЕНТОВ В УГЛЕКИСЛЫХ ВОДАХ АРМЕНИИ

Распространение отдельных микроэлементов в углекислых водах Армении изучалось А. П. Демехиным, Н. И. Долухановой, А. М. Меликсетяном, О. А. Бозояном, А. А. Тер-Мартиросяном, Л. Н. Барабановым и др. Нами было проведено опробование основных типов углекислых вод Армении на содержание микроэлементов. В настоящей статье разбираются следующие из них:

- 1. Рудные халькофильные элементы: цинк, медь, свинец.
- 2. Типичные элементы морских осадочных пород: бром, йод.
- 3. Элементы промежуточного характера: мышьяк, бор.

Химические определения в водах указанных элементов производились по принятым в Институте ВСЕГИНГЕО методиками [7] непосредственно в процессе полевых исследований на базе партии*.

В соответствии с данными К. Н. Паффенгольца [10], В. Л. Егояна [5]. А. А. Габриеляна [3], на территории Армении и прилежащих частей Мал го Кавказа выделяются 3 крупных структурно-тектонических зоны:

- 1. Сомхетско-Кафанская зона,
- 2. Армянская складчатая зона,
- 3. Нахичеванская складчатая зона.

Указанные зоны, по В. Л. Егояну [5], разделены глубинными разломами регионального характера.

Сомхетско-Кафанская зона бедна углекислыми водами. Число выходов здесь невелико, а химический состав вод на большей территории однообразен. В Сомхетской части формирование углекислых вод происходит в основном в вулканогенно-осадочных породах нижней и средней юры. Здесь развиты жильные воды. По своему химизму это преимуще ственно-гидрокарбонатно-кальциевые воды с минерализацией до 2,5 г/л. Температур: их не превышает 16°С.

В Кафанско-Сюникской (Зангезурской) части, в формировании углекислых вод принимают большое участие, наряду с вышеперечисленными, также и карбонатные породы верхней юры. Здесь, кроме обычных жиль-

ных гидрокарбонатно-кальциевых вод, развиты пластовые гидрокарбонат-

^{*} Химические анализы проводились химиками Н. Прусаковой, Н. Торопацкой и В, Яковлевой.

но-хлоридные натриевые воды, формирующиеся в пластах карбонатных пород верхнеюрского комплекса [14].

Армянская складчатая зона обладает наиболее разнообразными химическими типами углекислых вод, а также большими колебаниями их температур. Выделяется несколько артезианских бассейнов, как то Айоц дзорский (Даралагезский), Памбакский, Чатминский и др. Основным во доносным горизонтом этих бассейнов является верхнемеловый карбонатный комплекс.

Вторым типом артезианских бассейнов являются прогибы Ереванский и Севанский, выполненные мощной толщей неогеновых пород.

В них основным водоносным горизонтом являются миоплиоценовые осадочные толщи. В артезианских бассейнах Армянской складчатой зоны формируются: гидрокарбонатно-кальциевые, гидрокарбонатно-натриевые, гидрокарбонатно-хлоридно-натриевые, хлоридно-гидрокарбонатно-натриевые воды с минерализацией от сотен мг/л до 40 г/л. Температура вод колеблется от 6° до 64°С. Наибольшим разнообразием химизма и температуры углекислых вод обладает Айощдзорский артезианский бассейн. Отдельные типы формируются в пределах: а) антиклинальных поднятий, сложенных древними метаморфическими и кристаллическими породами, и б) крупных полей гранитоидов. Формирование вод происходит под интенсивным воздействием поствулканических процессов. Наибольшее влияние последних испытывает Айоцдзорский артезианский бассейн, где известны вулканические проявления позднечетвертичного времени.

Большое значение в выводе термальных углекислых вод артезианских бассейнов и кристаллических массивов Армянской складчатой зоны имеет Анкавано-Сюникский разлом [3], к зоне которого тяготеют термы Анкавана, верховьев р. Арпы, долины р. Воротан.

Нахичеванская складчатая зона в пределах Армении бедна углекислыми водами. На ее территории Л. Н. Барабановым [2] выделяется Приараксинский артезианский бассейн, главным водоносным горизонтом которого является комплекс карбонатных пород палеозоя. Здесь развиты слабо-термальные углекисло-азотные воды гидрокарбонатно-кальциевого состава.

Ниже излагается фактический материал по распространению микроэлементов в углекислых водах различных структурно-тектонических зон Армении.

Сомхетско-Кафанская зона

В пределах Сомхетско-Кафанской зоны нами опробованы источники: Ахкерпи, Санаин, Шамлуг, Иджеван, Мосес, Ягдан, Севкар, Шервапанц, Гиратах, Уруд, Шамб, Караундж, Шахвердляр и другие.

Максимальные содержания отдельных микроэлементов в холодных углекислых водах приводятся в таблице 1.

Гораздо более высокими содержаниями многих элементов отличаются термальные воды Сюника, формирующиеся в карбонатных породах верхнеюрского комплекса (табл. 2).

Таблица / Максимальные содержания микроэлементов в холодных углекислых нодах Сомхетско-Кафанской зоны

Элементы	Среднее содержа- ине, мг/л	максим.	Источник с максим. содержан.	Формула Курлова
Zn	0,018	0,040	Санаин	CO; M HCO ₈₀ 116° Na ₅₈ Ca ₂₅ Mg ₁₆
Cu	0,001	0,040	Санаян	
Pb	0,007	0,030	Ахкерпн	$CO_{1.2}^{2}M_{1.7} = \frac{HCO_{85}^{3} - Cl_{15}}{Ca_{55}Mg_{23}Na_{22}}$ 110,2°
As	0,027	0,200	Ягдан	CO _{0.9} ² M _{1.3} SO ₃₉ HCO ₃₆ t7° Ca ₆₀ Na ₂₇ Mg ₁₂
В	0,500	1,000	Ягдан	
Br	0,300	1,700	Ягдан	
J	0,400	0,800	Севкар	$CO_{0,9}^{2}M_{1,8} = \frac{HCO_{85}^{3} SO_{15}^{4}}{Ca_{42}Mg_{42}Na_{16}}$ t 9

Таблица 2 Максимальные содержания микроэлементов в термальных водах Сюника

Элементы	Среднее содержа- ине, мг/л	Максим. содерж	Источник с максим. содержан.	Формула Курлова
Zn	0,05	0,150	Караундж	$CO_{0,6}^{2}M_{3} = \frac{HCO_{57}^{3}Cl_{22}SO_{20}^{4}}{Na_{43}Ca_{31}Mg_{35}} t 20^{2}$
Cu	0,003	0.008		
Pb	0,008	0,030	Шамб	CO _{0,5} M _{3,8} HCO ₆₀ Cl ₂₀ t 26 Na ₄₃ Ca ₃₄ Mg ₂₂
Λs	0,042	0,070	Уруд	$CO_{0,8}^{20}M_{3.6} = \frac{HCO_{62}^{3}Cl_{22}}{Na_{42}Ca_{19}Mg_{16}}$
В	2	7		
Br	1,3	1,900	Шамб	
J	0,4	0,800	Караундж	

Армянская складчатая зона

Айоддзорский бассейн обладает небольшим разнообразием как в отношении химизма углекислых вод, так и их температуры. Здесь формируются холодные и слаботермальные гидрокарбонатно-кальциевые воды (источники Салли, Ангехакот и др.), холодные и слаботермальные гидрокарбонатно-натриевые воды (источники Сойлан, Меличка, Кечут, Дали-чай, Базар-чай и др.), холодные и слабо термальные воды гидрокарбонатно-хлоридно-натриевого и хлоридно-гидрокарбонатно-натриевого типов (источники Эрдапин, Горбатех, Алаяз, Дараюрт и др.), а также гипертермальные гидрокарбонатно-натриевые воды Джермука. В пределах Айоддзорского бассейна нами опробованы источники: Салли, Эрдапин, Горбатех, Алаяз, Меличка, Сойлан, Булахляр, Мамарза, Кечут, Джермук, Дараюрт, Дали-чай, Базар-чай, Ангехакот, Сисиан. Данные омаксимальных содержаниях отдельных микроэлементов в этих водах приводятся в табл. 3.

Таблица 3 Максимальные содержания микроэлементов в углекислых водах Айоцдзорского бассейна

Элементы	Среднее содержа- ние, мг/л	Максим. содерж., мл/г	Источник	Формула Курлова
Zn	0,02	0,100	Алаяз	$CO_{1,5}^{2}M_{2,3} = \frac{HCO_{58}^{3}CI_{36}}{Na_{54}Ca_{30}} + 13^{3}$
Cu	0,002	0,005	Алаяз	$CO_{1.5}^{2}M_{2.3} = \frac{HCO_{58}^{3}CI_{36}}{Na_{34}Ca_{30}}$ 1 13
Pb	0,001	0,010	Базар-чан	$CO_{2,0}^{2}M_{0,9} = \frac{HCO_{77}^{3} SO_{13}^{4}}{Na_{52}Ca_{20}} t9$
As	0,12	1,000	Джермук	CO _{0,8} M _{3,8} HCO ₅₃ SO ₂₇ CI ₁₉ t 64° Na ₅₆ Ca ₁₀
В	15	50	Горбатех	$CO_{0.5}^{2}M_{10,3} = \frac{CI_{44}HCO_{43}^{3}}{Na_{80}Ca_{15}}$ t 13
Br	1,6	4		
J	0,5	1,6	Алаяз	CO _{1.5} M _{2.3} HCO ₅₈ Cl ₃₆ 1 13 Na ₅₄ Ca ₃₀

Памбакский бассейн. В его пределах известны холодные гидрокарбонатно-кальциевые воды (источники Туту-джур, Бзовдал, Черная речка, Фролова балка, Фиолетово и др.), гидрокарбонатно-натриевые воды (источники Дилижан, Желтая речка, Катнахпюр, Памбак и др.), а также термальные гидрокарбонатно-натриевые воды (Маймех). Нами опробованы источники: Фиолетово, Фролова балка, Катнахпюр, Желтая речка, Черная речка, Бзовдал, Памбак, Дилижан, Тутуджур. Макоимальные содержания отдельных микроэлементов в водах этих источников приводятся в табл. 4.

Таблица 4
Максимальные содержания микроэлементов в углекислых водах Памбакского
бассейна

Элементы	Среднее содержа- ние, мг/л	Максим. содерж., мг/л	Источник с максим. содержан.	Формула Курлова
Zn	0,03	0,200	Желтая речка	$CO_{1,5}^{2}M_{3,5} = \frac{HCO_{64}^{3}CI_{32}}{Na_{63}Ca_{22}}$ t 8°
Cu	0,010	0,040	Черная речка	$CO_{2,0}^{2}M_{1.4} = \frac{HCO_{93}^{3}}{Ca_{40} Mg_{32}} t 16^{\circ}$
Pb	0,011	0,050	Черная речка	
As	0,120	0,41	Черная речка	
В	3,700	10,000	Желтая речка	CO _{1.5} ² M _{3.5} HCO ₆₄ ³ Cl ₃₂ 18° Na ₆₃ Ca ₂₂
Br	0,200	1,100	Туту-джур	$CO_{1,0}^{2}M_{2,3} = \frac{HCO_{50}^{3}SO_{37}^{4}}{Ca_{45}Na_{37}Mg_{17}}$ 18°
3	0,100	0,800	Туту-джур	

Чатминский бассейн. В его пределах известны холодные гидрокарбонатно-кальциевые (источники Джанатлу, Шор-су и др.), гидрокарбонатно-натриевые (источники Веди, Агбаш и др.) углекислые воды.

Нами опробованы источники: Веди, Агбаш, Шор-су, Джанатлу. Максимальное содержание в них микроэлементов приводится в табл. 5.

Ереванский бассейн. В его пределах миоплиоценовые отложения вмещают значительные залежи каменной соли и гипса, вследствие чего формирующиеся в комплексе неогеновых отложений углекислые воды обладают чрезвычайно разнообразным химическим составом. Преобладающим распространением здесь пользуются гидрокарбонатно-хлоридно-натриевые (чсточники Арзни и др.) и хлоридно-гидрокарбонатно-нагриевые воды (источники Арзни, Кенсали, Двин и др.).

Нами опробованы источники: Арзни, Аргел, Кенсали, Шорахпюр, Двин. Максимальное содержание микроэлементов в водах этих источников приводится в табл. 6.

Севанский бассейн. Основные типы углекислых вод этого бассейна формируются в слегка засоленных континентальных и морских отложениях миоплиоцена. Развиты холодные и слабо термальные гидрокарбонатно-кальциевые и магниевые (источники гг. Камо и Мартуни), а так-

Таблица 5
Максимальные содержания микроэлементов в углекислых водах Чатминского бассейна

-				
Элементы	Среднее содерж.,	Максим. содерж., мг/л	Источник с максим. содержан.	Формула Курлова
Zn	0,100	0,400	Шор-су	$CO_{0,3}^{2}M_{1,3} = \frac{HCO_{80}^{3}SO_{17}^{4}}{Ca_{54}Na_{27}} = 10^{\circ}$
Cu	0,001	0,002	Ведн	$CO_{1,9}^{2}M_{2,7} = \frac{HCO_{82}^{3}SO_{11}^{4}}{Na_{43}Ca_{39}} t 19^{\circ}$
Pb	0.010	0,020	Веди	
As	0,050	0,100	Джанатлу	$\frac{CO^2M}{Ca} + \frac{HCO^3}{Ca}$
Br	0,900	1,600		
Br	0.300	1.000	Агбаш	$CO_{0,5}M_{1,0}\frac{HCO_{75}^{3}}{Na_{72}Ca_{28}}$ t 16°
J	0,100	0,400	Джанатлу	$CO^2M \frac{HCO^3}{Ca}$

же гидрокарбонатно-хлоридно-натриевые воды (скважины на побережье оз. Севан и у с. Личк).

В пределах Севанского бассейна нами опробованы источники гор. Камо, гор. Мартуни, а также скважины, пробуренные между этими городами (Личкская и др.).

Содержание в этих водах микроэлементов приводится в табл. 7.

Арзаканский массив. В пределах этого массива, сложенного древними метаморфическими и кристаллическими породами, известны выходы термальных хлоридно-гидрокарбонатно-натриевых и гидрокарбонатно-хлоридно-натриевых (Анкаван), гидрокарбонатно-натриевых (Кабахлу и др.) и холодных гидрокарбонатно-кальциевых и магниевых (Кармир-Овит) вод.

Нами были опробованы источники: Анкаван, Уляшик, Кармир-Овит. Эти воды характеризуются содержаниями микроэлементов, приведенными в табл. 8.

Мегринский плутон. В гранитоидных породах этого плутона, а также в порфиритах, окружающих его юрских и среднеэоценовых пород, формируются углекислые воды разнообразного состава. Преобладающим типом является гидрокарбонатно-кальциевый (источники Каджаран. Кирс, Гярд, Аджебадж, Агарак и др.). Наряду с тем отмечаются гидрокарбонатно-карбонатно-натриевые (источники Курис) и даже гидрокарбонатно-млоридно-натриевые (источники Личк, Таштун, долины р. Мегригет)

Таблица 6 Максимальные содержания микроэлементов в углекислых водах Ереванского бассейна

			Odecenna	
Элементы	Среднее содерж., мг/л	Максим. содерж., мг/л	Источник с максим. содержан.	Формула Курлова
Zn	0,008	0,030	Двин	CO _{0.8} M _{26,7} Cl ₇₄ HCO ₂₃ t 8° Na ₉₅
Cu	0,016	0,060		CO _{0,8} M _{11,3} Cl ₇₅ HCO ₂₀ t 8° Na ₉₅
Pb	0,004	0,040		$CO_{0.8}^2M_{26,7}CI_{74} = \frac{HCO_{23}^3}{Na_{95}} t 8^\circ$
As	0,200	0,800	Арзни	$CO_{0.8}^{2}M_{22}CI_{51} = \frac{HCO_{37}^{3}}{Na_{70}Ca_{15}} + 16^{\circ}$
3	50	100	Двин	$CO_{1.8}^{2}M_{26,7}CI_{74} = \frac{HCO_{23}^{3}}{Na_{95}} + 8$
Br	23,000	54,000		CO _{1,0} M _{29,7} Cl ₇₃ HCO ₂₃ t 8
1	4,900	16,800	Двин	$CO_{1,0}^{2}M_{32,0} = \frac{CI_{91}}{Na_{85}} + 8^{9}$

воды. Интересно, что появление гидрокарбонатно-хлоридно-натриевых вод отмечается в непосредственной близости от плиоценовых неоинтрузий (типа Нахичеванских), внедрившихся в более древние гранитоиды Мегринского плутона.

Нами опробованы источники: Каджаран, Дастакерт, Кюврах, Толорс, Кзыл-Шафак, Личк, Таштун, Курис. Содержания микроэлементов в этих водах приводятся в табл. 9.

В. Нахичеванская складчатая зона

В Приараксинском артезианском бассейне углекислые воды преимущественно формируются в карбонатных породах палеозоя. Развиты гидрокарбонатно-кальциевые слабо термальные воды с небольшой минерализацией. По газовому составу они углекисло-азотные. Нами опробованы Араратские и Аренийские источники. Содержания микроэлементов в водах этих источников приводятся в табл. 10.

Анализ всего приведенного материала по различным зонам позволяет сделать следующие выводы об особенностях миграции микроэлементов.

Цинк. Содержания цинка колеблются от «нет» до 0,3—0,4 мг/л. Известия, XV, № 2—4

Таблица 7
Максимальные содержания микроэлементов в углекислых водах Севанского бассейна

Элементы	Среднее содерж., мг/л	Максим. содерж. мг/л	Источник с максим. содержан.	Формула Курлова
Zn	0,010	0.03	скв. № 1 у сел. Личк	$CO_{0,6}^{2}M_{1,3} = \frac{HCO_{76}^{3}CI_{1,5}}{Na_{39}Mg_{32}}$ 1 15
Cu	0,004	0,008	Камо	$CO_{1,5}^{2}M_{2,7} = \frac{HCO_{52}^{3}CI_{45}}{Mg_{40}Na_{40}} + 17^{\circ}$
Pb	0,005	0,015	скв. 2 у сел. Личк	$CO_{0.6}^{2}M_{2,5} = \frac{HCO_{68}^{3}CI_{30}}{Na_{42}Mg_{33}} + 18^{2}$
As	0,007	0,020	скв. в г. Мартуни	$CO_{0,6}^2M_{0,2} = \frac{HCO_{90}^3}{Ca_{42}Mg_{32}} + 14^{\circ}$
В	1,600	4,000	скв. 2 у сел. Личк	$CO_{0,6}^{2}M_{2,5} = \frac{HCO_{68}^{3}CI_{30}}{Na_{42}Mg_{33}}$ t 18
Br	2,000	4,300	Камо	$CO_{1.5}^{2}M_{1,7} = \frac{HCO_{56}^{3}CI_{41}}{Mg_{42}Na_{40}} t 17^{\circ}$
J	0,200	0,400	Камо	

Значительные содержания цинка характерны как для Сомхетско-Кафанской, так и для Армянской складчатой зон. Решающим фактором, определяющим увеличение содержаний цинка в углекислых водах этих зон, является влияние рудоносных площадей.

Повышение содержания цинка (более 0,1 мг/л) характерно для углекислых вод, циркулирующих на участках развития сульфидной минерализации. Примером являются углекислые источники Дастакертского месторождения, долины р. Желтой (близ Чибухлинского колчеданного месторождения), источники Алаязского ущелья (близ Газминского полиметаллического месторождения) и т. д. Формирование углекислых вод с повышенным содержанием цинка происходит в самых разнообразных породах: в гранитоидах (Дастакерт), порфиритах эоцена (Желтая речка), карбонатных породах мела и эоцена (Алаяз).

Повышенные содержания цинка приурочены к разным типам вод: гидрокарбонатно-кальциевым (источники Дастакерта), гидрокарбонатно-натриевым (источники Желтой речки), гидрокарбонатно-хлоридно-натриевым (источники Алаязского ущелья).

Некоторое увеличение содержаний цинка отмечается в высокоминерализованных водах хлоридно-натриевого типа: примером могут слу-

Таблица 8 Максимальные содержания микроэлементов в углекислых водах Арзаканского массива

Элементы	Среднее содерж., мг/л	Максим. содерж.,	Источник с максим. содержан.	Формула Курлова
Zn	0,017	0,022	Анкаван, скв. 14	CO _{2,9} M _{5,8} HCO ₅₃ C I ₄₅ t 34° Na ₁₆ Ca ₁₇ Mg ₁₁
Cu	0,002	0,005	Скв. с Уляшик	CO _{2,0} M _{3,6} HCO ₆₈ Cl ₁₆ SO ₁₅ t 10° Na ₈₀ Ca ₁₂ Mg ₅
As	0,190	0,300	Анкаван, скв. 17	CO _{2,9} M _{6,7} HCO ₄₈ Cl ₄₃ t 27 ² Na ₆₅ Ca ₂₄
В	12,00	23,00	Анкаван, скв. 4	CO _{2,9} M _{6,8} CI _{5,6} HCO ₄₈ t 27° Na ₆₁ Ca ₂₄ Mg ₁₂
Br	0,900	2,600	Анкаван, скв. 42	CO _{2.9} M _{4,7} HCO ₅₂ CI ₄₇ t 34,5 Na ₆₂ Ca ₂₇ Mg ₁₁
J	0,800	1,900	Анкаван, скв. 42	

Таблица 9 Максимальные содержания микроэлементов в углекислых водах Мегринского плутона и окружающих его порфиритов юры и среднего эоцена

Элементы	Среднее содерж., мг/л	Максим. содерж., мг/л	Источник с максим. содержан.	Формула Курлова
Zn	0,08	0,320	Дастакерт	$CO_{1,0}^{2}M_{1,5} = \frac{HCO_{90}^{3}}{Ca_{60}}$
Cu	0,009	0,020	Личк ист.	$CO_{1,0}^{2}M_{3,8} - \frac{HCO_{53}^{3}CI_{38}}{Na_{55}Ca_{29}}$ t 10°
Pb	нет	нет		
As	0,190	0,600	Личк скв.	$CO_{0.8}^{2}M_{6.0} = \frac{HCO_{50}^{3}CI_{45}}{Na_{73}Ca_{13}} = 10^{\circ}$
В	20,200	45,000	Личк скв.	
Br	0,500	1,200	Личк скв.	11003 01
J	0,500	1,200	Личк ист.	CO ² ₀ M HCO ³ ₅₃ Cl ₃₈ 1 10 Na ₅₆ Ca

Таблица 10 Максимальные содержания микроэлементов в углекисло-азотных водах Приараксинского бассейна

Элементы	Среднее содерж., мг/л	Максим. содерж., мг/л	11сточник с максим. содержан.	Форма Курлова
Zn	0,005	0,015	Арени	$CO_{0,5}^{2}M_{0,9} = \frac{HCO_{88}^{3}}{Ca_{58}Na_{21}}$ (23°)
Cu	0,001	сл.	Apapar № 2	CO _{0.5} M _{1.1} HCO ₇₈ CI _{1.4} Ca ₅₉ Na ₂₃
As	0.01	0,016	Арарат № 1	CO _{0,5} M _{0.9} HCO ₈₇ 126° Ca ₆₇ Mg ₂₀
В	0,500	0,500	Арарат № 2	$CO_{0.5}^2 M_{1.1} - \frac{HCO_{78}^3}{Ca_{59}Na_{23}} + 26$
Br	0,100	0,400		Ca ₅₉ Na ₂₃
J		-		

жить Двинские источники, где содержание цинка 0,03 мг/л. Источники с повышенным содержанием цинка, как правило, холодные (до 15°C).

Медь. Содержания меди колеблются от «нет» до 0,06 мг/л. Наиболее высокие содержания меди отмечаются в углекислых водах Сомхетско-Кафанской и Армянской складчатой зон. Выделяются также 2 типа условий, приводящих к накоплению меди в углекислых водах.

- 1. Формирование углекислых вод в непосредственной близости к гидротермальным сульфидным рудопроявлениям (источники Черной речки близ колчеданного месторождения Чибухлы, источники Санаин близ Агвинского медно-колчеданного месторождения, источники долины р. Мегригет близ Личкской группы месторождений и др.). Содержания меди в этом случае более 0,02 мг/л.
- 2. Формирование высокоминерализованных углекислых вод хлоридно-карбонатно-натриевого типа (Двинские источники с содержанием меди 0,06 мг/л). Увеличение содержаний меди, по-видимому, связано с аккумуляцией рассеянной в породах меди за счет общего увеличения минерализации воды. Миграция меди в водах этого типа осуществляется в хлоридной форме.

Формирование углекислых вод с повышенным содержанием меди происходит в самых разнообразных породах: в гранитоидах (Личкские источники), эффузивах эоцена (источники Черной речки), вулканогенах юры (Санаин), а также в осадочных континентально-морских образованиях (источники Двина). Повышенные содержания меди приурочены к разнообразным типам вод: гидрокарбонатно-кальциевым (источники

Желтой речки), гидрокарбонатно-натриевым (Санаин), гидрокарбонатно-хлоридно-натриевым (Личкская группа) и хлоридно-натриевым (Двин). Источники с повышенным содержанием меди, как правило, холодные.

Свинец. Содержания свинца колеблются от «нет» до 0,05 мг/л. Как и для меди, для свинца характерны 2 типа условий его накопления в водах:

- 1. Формирование углекислых вод в непосредственной близости к гидротермальным, сульфидным рудопроявлениям. Примером могут служить повышенные содержания свинца (более 0,02 мг/л) в водах источников Черной речки близ колчеданного месторождения Чибухлы и источников Ахкерпи близ медного месторождения Палан-Текян.
- 2. Формирование высокоминерализованных хлоридно-гидрокарбонатно-натриевых углекислых вод. Увеличение содержаний свинца является
 следствием увеличения минерализации воды за счет рассеянного свинца
 в породах, причем миграция его в этом случае происходит в хлоридной
 форме.

Формирование углекислых вод с повышенным содержанием свинца происходит в разнообразных породах: эффузивах эоцена (источники Черной речки), вулканогенно-осадочных породах юры (Ахкерпи), неогеновых осадочных континентально-морских породах (Двин). Повышенные содержания свинца приурочены к различным типам вод: гидрокарбонатно-кальциевым (Ахкерпи, Черная речка), гидрокарбонатно-хлоридно-натриевым (Шамб), хлоридно-гидрокарбонатно-натриевым (Двин).

Углекислые воды с повышенным содержанием свинца холодные или слабо термальные (Шамб).

Мышьяк. Содержание мышьяка колеблется от «нет» до 1,0 мг/л. Наибольшие содержания мышьяка приурочены к углекислым водам Армянской складчатой зоны, а внутри нее—к Айоцдзорскому и Ереванскому артезианским бассейнам. В первом из них максимальным содержанием обладают Джермукские термы, а во втором — Арзнинские воды. Выделяются три типа условий, приводящих к накоплению мышьяка в углекислых водах:

1. Формирование углекислых вод в районах рудных месторождений источники Япдан, Черной речки и др.). Причиной увеличения содержания мышьяка является разложение сульфидов, где в различных количествах обычно присутствует мышьяк. В районах рудных месторождений в холодных углекислых водах содержание мышьяка обычно составляет десятые доли мг/л, а в термальных водах может резко увеличиваться, достигая 1,0 мг/л (воды Джермука).

Углекислые воды с повышенным содержанием мышьяка, возникающим вследствие разложения сульфидов, могут обладать незначительной минерализацией. По своему химическому составу это гидрокарбонатно-кальциевые (Черная речка), сульфатно-кальциевые (Ягдан), гидрокарбонатно-натриевые (Джермук) воды. Типичная парагенетическая ассо-

циация из рассматриваемых элементов в данном случае: Cu, Zn, Pb, As.

2. Формирование углекислых вод в артезианских бассейнах, подвергшихся влиянию позднечетвертичного вулканизма или внедрению плиоценовых интрузий (Айоцдзорский и Ереванский артезианские бассейны). Содержания мышьяка достигают 0,8 мг/л (Арзни), причем максимумы содержаний приурочены к относительно высокоминерализованным хлоридно-гидрокарбонатно-натриевым водам типа Арзни, Эрдапин, Горбатех и пр.

Значительные содержания мышьяка часто ассоциируются с повышенными содержаниями бора и хлора. Источник появления повышенных содержаний мышьяка в водах такого типа в настоящее время неясен. Существуют несколько точек зрения, главными являются: а) выщелачивание и возгоны мышьяка из осадочных пород, вследствие действия на эти породы углекислых вод, в сочетании с процессами термометаморфизма в условиях аномального геотермического режима [6]; б) ювенильное происхождение мышьяка в водах [9].

Учитывая особенности геохимического распределения мышьяка в породах различных типов [9], особенности гидрогеологических условий рассматриваемых артезианских бассейнов, а также экспериментальные работы В. В. Красинцевой [6], можно полагать, что в данном случае главным источником мышьяка являются осадочные породы, из которых он извлекается как путем выщелачивания углекислыми термами, так и вследствие процессов термометаморфизма.

3. Формирование углекислых вод в пределах обширных полей гранитоидов, в непосредственной близости от миоценовых интрузий (источники, находящиеся в пределах Мегринского плутона близ сс. Личк и Таштун, а также в долине р. Мегригет). Здесь известно много выходов углекислых вод гидрокарбенатно-хлоридно-натриевого типа с минерализацией до 6—7 г/л. Повышенное содержание мышьяка (0,60 мг/л) в этих водах ассоцинруется с повышенным содержанием бора и хлора (табл. 9).

Учитывая обычную бедность интрузивных пород мышьяком [9], наличие в районе региональных неотектонических нарушений и плиоценовых неоинтрузий, а также доводы Х. Ониси и Э. Санделла [9], по-видимому, можно полагать, что в данном случае какая-то часть мышьяка углекислых вод может иметь ювенильный характер. Окончательное решение вопроса может быть достигнуто только путем балансовых подсчетов с учетом времени действия источников.

Бор. Содержание бора колеблется от «нет» до цифр, значительно превышающих 100 мг/л. Наибольшие содержания бора приурочены к углекислым водам Армянской складчатой зоны. Выделяются 3 типа условий, благоприятных для формирования вод с повышенным содержанием бора:

1. Формирование углекислых вод в артезианских бассейнах с верхнемеловым водоносным горизонтом, подвергшихся влиянию поздиечет вертичного вулканизма (Айоцдзорский артезианский бассейн, где содержание бора превышает 50 мг/л).

Учитывая экспериментальные данные В. В. Красинцевой [6] и В. Н. Суркова [11], увеличение содержания бора в этом случае следует связывать с выщелачиванием осадочных пород и возгонами из них бора, вследствие действия на эти породы углекислых вод и процессов термометаморфизма в условиях аномального геотермического режима.

Для рассматриваемого типа условий характерна парагенетическая ассоцнация элементов В, As, Cl.

2. Формирование углекислых гидрокарбонатно-хлоридно-натриевых и хлоридно-гидрокарбонатно-натриевых вод в пределах массивов, сложенных метаморфическими и кристаллическими породами (воды Арзаканского массива — Анкаванская группа и Мегринского плутона — Личкская группа). В обоих случаях имеются крупные очаги разгрузки углекислых вод указанных химических типов среди инертных, в гидрохимическом отношении, пород по зонам крупных региональных тектонических нарушений.

Для углекислых вод рассматриваемого типа характерна также парагенетическая ассоциация элементов В, Аs, Сl. Наличие довольно резкого, по сравнению с окружающими водами, увеличения этих элементов в углекислых водах, формирующихся в кристаллических породах, неясно не только для Армении, но и для многих других районов.

Учитывая экспериментальные данные В. Н. Суркова [11] по выщелачиванию различных типов пород (осадочных и интрузивных) в условиях высоких температур и насыщения вод углекислотой, можно полагать, что часть бора переходит в воду вследствие выщелачивания интрузивных пород. Но, принимая во внимание наличие в пределах Армянской складчатой зоны проявлений верхнетретичного интрузивного и четвертичного эффузивного магматизма, а также связь углекислых вод с крупными региональными тектоническими нарушениями, можно думать, что часть бора, фиксируемого в настоящее время в углекислых водах рассматриваемого типа, имеет ювенильный характер.

3. Формирование высокоминерализованных хлоридно-гидрокарбонатно-натриевых вод в породах, обогащенных бором (миоплиоценовые породы Ереванского бассейна). Учитывая генетическую связь миоплиоценовых отложений Ереванского бассейна с одновозрастными образованиями Нахичеванской впадины [3], некоторые фации которых обогащены бором, можно предполагать, что увеличение бороносности вод некоторых источников Ереванского бассейна происходит за счет выщелачивания бора из миоплиоценовых осадочных пород. Наиболее высокие содержания бора характерны для вод, формирующихся в местах развития прибежных гипсоносных фаций миоплиоцена. Увеличение содержаний бора здесь ассоцируется с повышенными содержаниями Вг, J, Cl.

Независимо от источника бора (эксгаляционного или осадочного), вследствие его исключительно высоких миграционных способностей, его наибольшие концентрации отмечаются в водах гидрокарбонатно-хлоридно-натриевого и хлоридно-гидрокарбонатного типов, причем наблюдается четкая прямая зависимость содержаний бора от общей минерализации.

Бром. Содержания брома колеблются от «нет» до 54 мг/л. Наибольшие содержания брома характерны для углекислых вод, формирующихся в Ереванском и Севанском бассейнах, главными водоносными горизонтами которых являются миоплиоценовые морские, лагунные и континентальные отложения. Максимальное содержание брома отмечено в высокоминерализованных хлоридно-гидрокарбонатно-натриевых водах Двина. Увеличение содержаний брома здесь ассоциируется с высокими содержаниями бора, иода, хлора. Гораздо меньшими содержаниями брома обладают бассейны с верхнемеловым водоносным горизонтом. Среди последних наибольшее содержание брома имеют хлоридно-гидрокарбонатно-натриевые воды Айоцдзорского бассейна (источники Горбатех).

Можно полагать, что основной причиной появления брома в водах рассматриваемой территории, является выщелачивание осадочных пород, а поскольку наименее промытыми являются миоплиоценовые осадочные образования, то, естественно, что именно в этих породах и наблюдаются максимальные содержания брома.

И о д. Содержания иода колеблются от «нет» до 16,8 мг/л. Наиболее значительными содержаниями иода обладают воды Ереванского бассейна, где максимальное содержание приурочено к высокоминерализованным водам Двина. Повышенные содержания иода ассоциируются здесь с увеличением содержаний В, Сг, Сl. Наиболее вероятной причиной появления иода в водах рассматриваемой территории является наличие осадочных пород. С другой стороны, весьма интересным является факт довольно значительного увеличения иода в водах Личской группы гидрокарбонатно-хлоридно-натриевых вод, формирующихся в интрузивных породах Мегринского плутона. С какими-либо осадочными породами связать иод в рассматриваемом случае весьма затруднительно. Ассоцнация, с которой связаны повышенные содержания иода, здесь отлична от ранее рассмотренной, это—В, Аs, Cl. Вопрос об источнике формирования в данном случае повышенных содержаний иода (как и вопрос о В и Аs) остается открытым и требует привлечения дополнительного материала.

Резюмируя изложенный материал, сделаем выводы.

- 1. Рудные халькофильные элементы Zn, Cu, Pb, а также мышьяк, источником которого являются сульфиды, характерны для углекислых вод Сомхетско-Кафанской и Армянской складчатых зон. Основными факторами, определяющими наличие высоких содержаний этих элементов в водах, являются:
- а) Формирование углекислых вод в пределах территорий с сульфидным оруденением. Причиной появления повышенных содержаний рудных халькофильных элементов в углекислых водах районов с сульфидными образованиями является разложение последних и растворение в водах продуктов этого разложения. Это позволяет использовать повышенные содержания элементов, входящих в ассоциацию, как гидрохимический показатель перспективности территории на сульфидные рудопроявления. Пример такой оценки перспективности одного из района описан А. Л. Ананяном и П. М. Капланяном [1].

- 2. Эксгаляционные элементы бор и мышьяк характерны, главным образом, для углекислых вод Армянской складчатой зоны. В пределах этой зоны аномальные геотермические условия приводят к интенсификации процессов выщелачивания и термометаморфизма. Вследствие этого происходит уоиленное извлечение бора и мышьяка из осадочных пород, как в результате растворения, так и эксгаляций. Подвижность указанных элементов в условиях термометаморфических процессов объясняется их внутренними особенностями миграции, а именно относительно малыми энергетическими коэффициентами (по Ферсману), а также большими радиусами, образуемых ими комплексных анионов ВО3 и АsO4. Учитывая наличие в Армянской складчатой зоне интенсивных проявлений четвертичного вулканизма, некоторая часть бора и мышьяка в углекислых водах, особенно формирующихся в метаморфических и кристаллических породах, имеет ювенильный характер.
- 3. Бром и иод, как элементы морских осадочных пород, наиболее характерны для углекислых вод, формирующихся в слабо промытых, мионлиоценовых засоленных осадочных образованиях. Углекислые воды более древних структур обладают гораздо меньшими содержаниями этих элементов.
- 4. Наибольшим разнообразием, как в отношении количества элементов, так и их содержаний, обладают углекислые воды Армянской складчатой зоны. Это объясняется:
 - а) ее тектонической молодостью,
- б) свежестью и непромытостью слагающих ее литологических ком-плексов.
- в) проявлением на ее территории вулканических процессов неогена и четвертичного периода.

ВСЕГИНГЕО Москва

Поступила 20.1. 1961.

Ս. Ռ. ԿՐԱՅՆՈՎ, Մ. Խ. ԿՈՐՈՏԿՈՎԱ

ՀԱՅԱՍՏԱՆԻ ԱԾԽԱԹԹՎԱՅԻՆ ՋՐԵՐՈՒՄ ՄԻ ՔԱՆԻ ՄԻԿՐՈՏԱՐՐԵՐԻ ՏԱՐԱԾՄԱՆ ՕՐԻՆԱՉԱՓՈՒԹՅՈՒՆՆԵՐԻ ՄԱՍԻՆ

Ulumpniu

Հողվածում նկարագրվում է Հայաստանի ածխանիվային ջրերում ցինկի, պղնձի, կապարի, բրոմի, յողի, մկնդեղի, բորի տարածման օրինաչափունյունները։ Նշված տարրերի տարածման օրինաչափունյունների վերլուծումը կատարվում է Ա. Ա. Գաբրիելյանի կողմից Փոքր Կովկասի համար առանձնացրած ստրուկտուրա-տեկտոնական զոնաներով, իսկ ղոնաների մեջ՝ ըստ առանձին արտեզային ավաղանների և ղանդվածների։

8ինկի, պղնձի, կապարի, բրոմի, յոդի, մկնդեղի և բորի տարածման օրինաչափությունների փաստական նյութի ընդհանրացումները թույլ են տալիս հեղինակներին անևլու հետևյալ հղրակացությունները.

- 1. Խալկոֆիլ տարրերի՝ Cu, Zn, Pb պարունակության բարձրացումը կապված է սուլֆիդային հանքավայրերի շրջաններում ձևավորվող տարբեր քի-միական կազմի ածխախթվային ջրերի, ինչպես նաև սուլֆիդային երևակում-ների շրջանների։ ցուրս ներդենի նստվածքների քլորիդա-նատրումային ջրն-րի հետ։
- 2. Մկնդեղի պարունավության բարձրացումը կապված է ա) սուլֆիդային հանքավայրերի շրջանի ածխաթթվային ջրերի հետ, բ) չորրորդական հրաբխականության ազդեցությանը ենթարկված արտեղյան ավազաններում ձևավորվող քլորիդա-նատրումային տիպի ածխաթթվային ջրերի հետ, դ) բյուրեղային և հին մետամորֆային ապարների տարածման սահմաններում տեկտոնական խախտումների խորքային զոնաներում ձևավորվող ածխաթթվային
 հիդրոկարբոնատա-քլորիդային ջրերի հետ։
- 3. Բորի պարուսակության բարձրացումը կախված է ա) չորրորդական հրաբխականության ազդեցությանը ենթարկված արտեղյան ավաղաններում ձևավորվող ածխաթթվային հիդրոկարբոնատա-քլորիդա-նատրումային ջրերից, բ) բյուրեղային և հին մետամորֆային ապարների տարածման սահման-ներում, խորը տեկտոնական խախտումների զոնաներում ձևավորվող ածխա-թթվային հիդրոկարբոնատա-քլորիդա-նատրումային ջրերից, դ) մեոդենի դիպ-սաբեր ապարներում ձևավորվող ածխաթթվային քլորիդա-նատրումային ջրերից։
- 4. Բրոմի և յոդի պարունակության բարձրացումը կախված է միոպլիոցենյան աղաբեր և գիպսաբեր ապարների ածխաթթվային քլորիդա-նատրումային ջրերից։

ЛИТЕРАТУРА

- Ананян А. Л., Капланян П. М. О метаморфизации минеральных вод и о возможности оруденения в пределах Джермукского района. Изв. АН АрмССР, сер. геол-геогр., т. XI, № 4, 1958.
- 2. Барабанов Л. Н. Термальные и минеральные воды Малого Кавказа. Дисс. на соиск. уч. степени канд. геол.-минер. наук, 1958.
- В Габриелян А. А. Основные вопросы тектоники Армении. Изд. АН АрмССР, Ереван, 1959.
- 4. Галстян А. Р. Минеральные воды юго-восточных районов Армянской ССР и перспективы их использования. Изв. АН АрмССР, геол. и геогр, науки. т. XII, № 2. 1959.
- 5 Егоян В. Л. Глубинные разломы на территории Армении и сопредельных стран и геотектоническая зональность альпийского этапа их развития. Сб. Вопросы геологии и гидрогеологии АрмССР. Изд. АН АрмССР, 1956.
- 6. Красинцева В. В. О накоплении бора в минеральных водах в результате выделения его из осадочных пород Проблемы гидрогеологии. Доклады к собранию международной ассоциации гидрогеологов, 1960
- 7. Методические материалы для лаборатории геологических управлений и экспедиций Бюлл. № 2(202) М., 1960.
- 8. Овчинников А. М. О геотермическом изучении месторождений минеральных вод. Проблемы геотермии, т. 1, 1959.
- 9. Ониси Х., Санделл Э. Геохимия мышьяка. Сб. Геохимия редких элементов. ИЛ, 1959
- Паффенгольц К. Н. Геологический очерк Кавказа. Изд. АН АрмССР, 1958.
- 11. Сурков В. Н. К вопросу о генезисе углекислых вод района Кавказских минеральных вод. Изучение и эксплуатация минеральных вод на курортах Грузинской ССР. Тбилиси, 1958.

20.340.400 000 ЧРЗПРВЯПРВОВР ЦИОЛЬОГРОЗР ЗБДВИЦЯРР ИЗВЕСТИЯ АКАДЕМИИ НАУК АРМЯНСКОЯ ССР

ыругыр. Бирыштында, дын. XV, № 2, 1962 Геологич. и географич. науки

ФИЗИЧЕСКАЯ ГЕОГРАФИЯ

Г. К. ГАБРИЕЛЯН

К ВОПРОСУ ВЕЧНОЙ МЕРЗЛОТЫ В АРМЯНСКОЙ ССР

Вопрос вечной мерзлоты в высокогорных районах Армянской ССР доныне относится к числу неизученных. Два небольших сообщения Х. П. Мириманяна [2, 3] по этому вопросу являются, по существу, единственными. Очевидно, на основании этого М. И. Сумгин [4] на своей карте распространения вечной мерзлоты на территории СССР выделил в пределах Армянской ССР небольшой остров вечномерзлых грунтов.

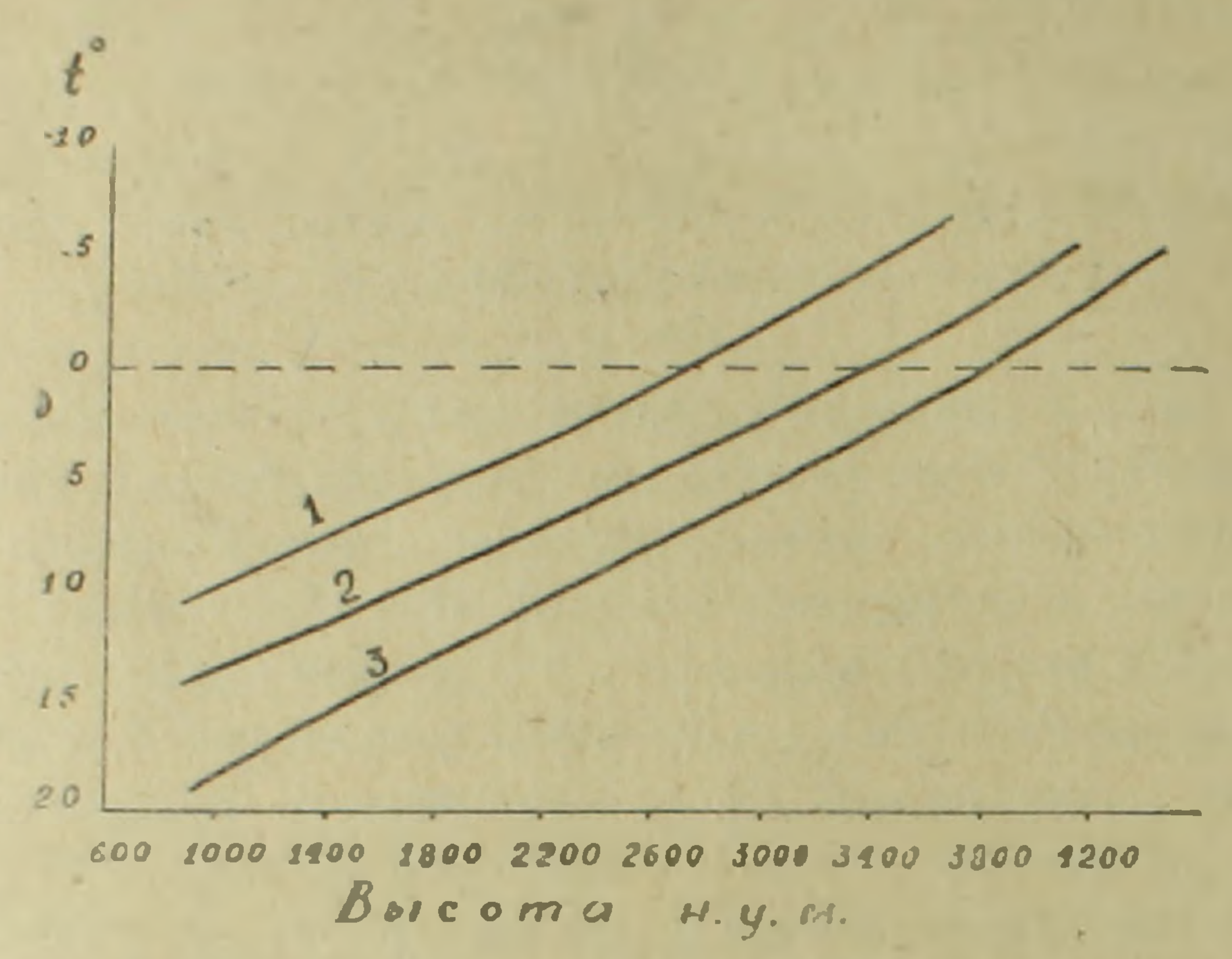
Согласно сообщениям Х. П. Мириманяна в пределах Гегамского вулканического массива на высоте 3000 м над уровнем моря на северном склоне г. Севкар имеется вечная мерзлота, верхняя поверхность которой в начале июня находится на глубине 81 см к концу августа, в начале сентября—98 см. Согласно его наблюдениям имеет место быстрое падение температуры вглубь почвенного разреза так, что на глубине 40—50 см мерзлота уже дает о себе знать.

Учитывая факт существования вечной мерзлоты на высоте 3000 м, можно было полагать, что выше указанной высоты в горах вечная мерзлота должна иметь если не сплошное, то во всяком случае более широкое распространение. Однако наши наблюдения за последние годы дают основание сделать заключение о том, что вечная мерзлота в Армянской ССР имеет весьма небольшое распространение и что обнаруженная Х. П. Мириманяном мерзлота на высоте 3000 м отнюдь не характерное явление, связанное с орографическими и морфологическими особенностями местности.

Наблюдения над термическим режимом почвы и чингилей (каменников) нами проведены в высокогорных вулканических массивах, находящихся в разных физико-географических условиях. При наблюдениях особое внимание было уделено термическому режиму почвы и грунтов северных склонов, где наиболее вероятна вечная мерзлота.

Изучая температуру воздуха и почвы на различных высотах в вертикальной зональности на массиве Арагаца, нами отмечено, что с Араратской равнины (высота 900 м) до высокогорной метеорологической станции «Арагац» (высота примерно 3230 м) среднегодовая температура воздуха падает на 0,6° через каждые 100 м и отрицательной становится выше 2800 м. Кривая среднегодовой температуры почвы на глубине 1,6 м представляет ту же картину, однако она на 3—4 градуса выше температуры

воздуха и отрицательной становится выше 3400—3500 м (фиг. 1). Как известно, отрицательная среднегодовая температура почвы еще не является признаком образования вечной мерзлоты. Интенсивный прогрев почвы летом может внести коренные изменения в температурный режим: весь слой мерзлого грунта за этот период может оттаять, в то время как среднегодовая температура может остаться отрицательной.



Фиг. 1. График среднегодовой температуры по южному склону Арагаца. 1. Среднегодовая температура воздуха. 2. Среднегодовая температура почвы на глубине 1,6 м. 3. Абсолютная максимальная температура на глубине 1,6 м.

Наблюдения над температурой в почвенном разрезе на высоте 3200 м показывают, что среднегодовая температура до глубины 80 см постепенно падает, а в более глубоких слоях повышается (фиг. 2). Наинизшая



Фиг. 2. График среднегодовой температуры почвы на метстанции "Арагац".

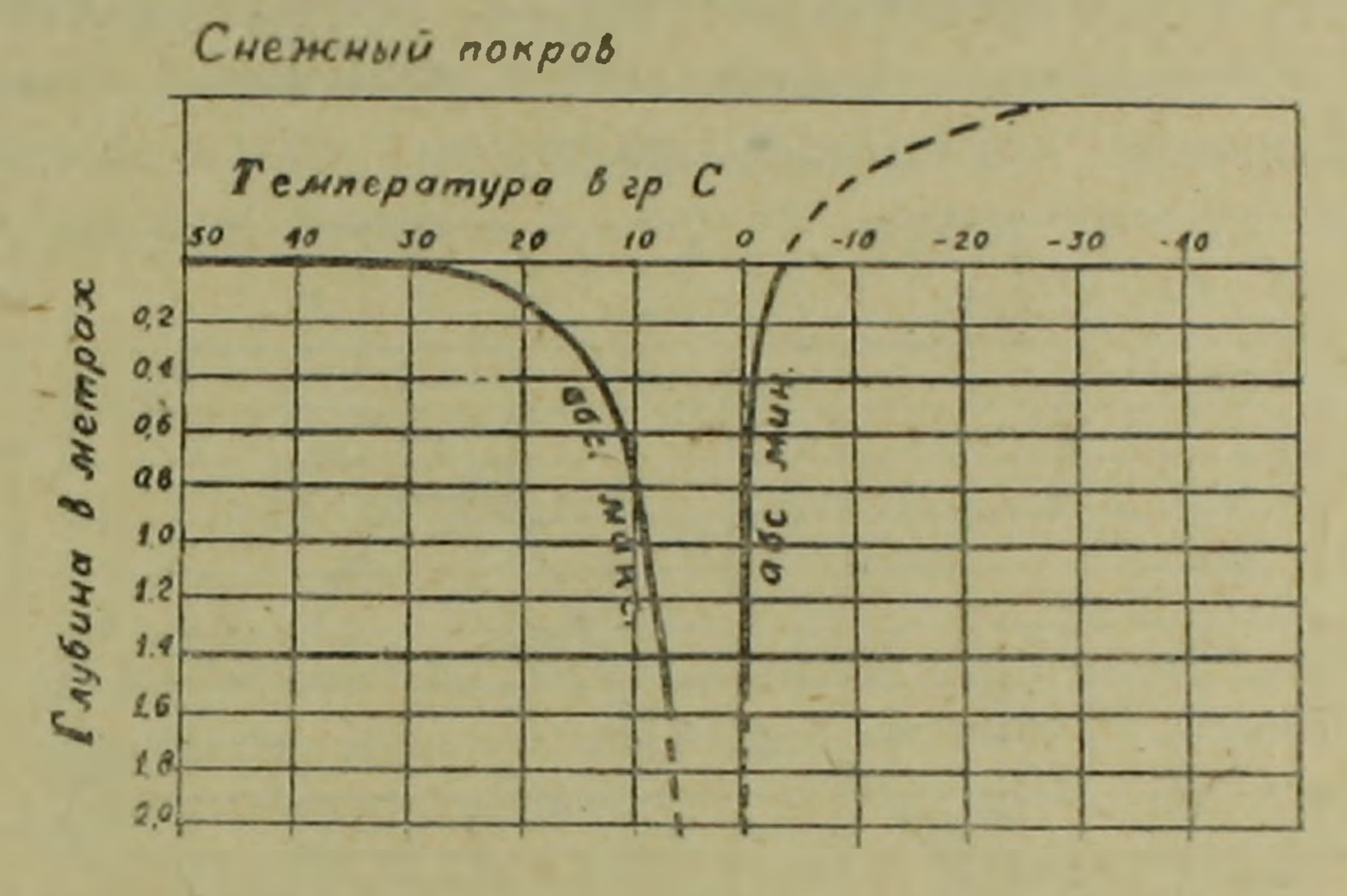
температура (0,5°) отмечается на глубине 80 см. Такая картина температуры почвы исключает возможность образования вечной мерзлоты на высоте 3200 м и даже намного выше.

Как известно, вечная мерзлота образуется там, где абсолютная максимальная температура за год ниже 0°. Из фиг. 1 видно, что кривая абсолютного максимума на глубине 1,6 м становится отрицательной выше 3700—3800 м, и вечная мерзлота теоретически возможна лишь выше этой

отметки. По данным наблюдений метстанции «Арагац» на глубине 1,6 м максимальная температура в иные годы превышает 6°, число дней с температурой ниже 0° составляет всего лишь 140—150. Следовательно, на вы

соте 3200—3400 м в почве не может быть и речи о вечной мерзлоте. Наши наблюдения показывают, что в образовании вечной мерзлоты высота над уровнем моря имеет громадное значение, однако она не является решающей. Наличие вечной мерзлоты обусловливается комплексом факторов: мощностью снежного покрова, оголенностью коренных пород, экспозицией склонов, увлажиением грунтов, морфологией рельефа и др. Поэтому островная вечная мерзлота, как констатирует Х. П. Мириманян, появляется на высотах 3400—3600 м, иногда — 3000 м.

Высокогорные массивы Армянской ССР зимою покрываются мощным снежным покровом, достигающим 100—150 см и больше [1, 5], который защищает грунты от сильного промерзания. Зимняя волна холода не может проникать вглубь, т. к. вертикальные градиенты температуры почвы ничтожны. Между тем летняя волна тепла быстро проникает, благодаря большим температурным градиентам. Для наглядности возьмем данные абсолютных температур почвы метстанции «Арагац» за 1954 г. Как показывает график (фиг. 3), абсолютный максимум температуры



Фиг. 3. График абсолютных температур почвы за 1954 г. на метстанции "Арагац".

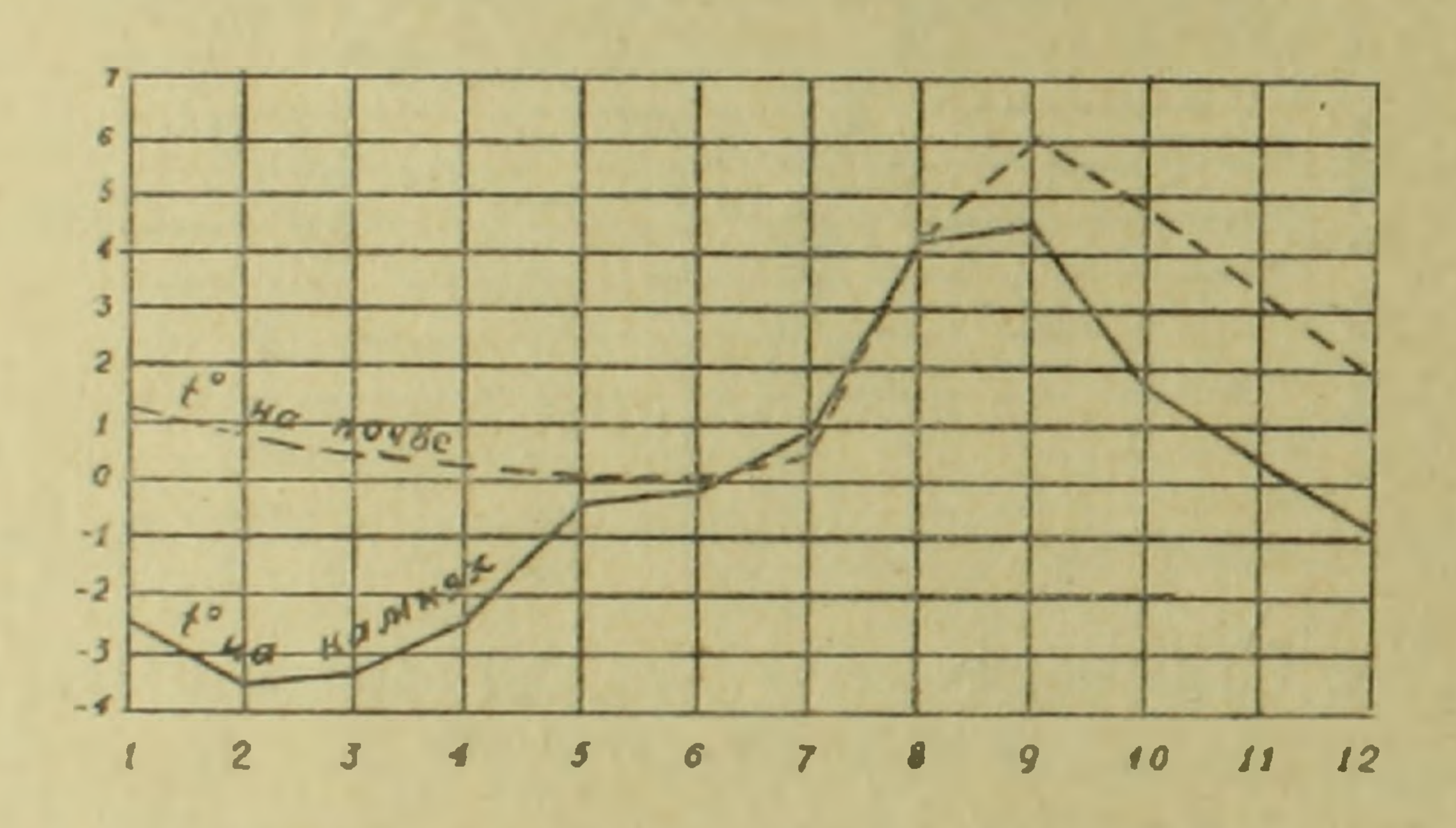
описывает резко выраженную кривую с большим вертикальным градиентом. Разница температур с поверхности до глубины 1,6 м составляет 42,9°. Кривая абсолютного минимума в самой почве имеет почти прямолинейную форму и разница температур до глубины 1,6 м составляет всего лишь 3,4°. Здесь большой градиент наблюдается не в самой почве, а в толще снежного покрова. Таким образом, зимняя волна холода может проникать вглубь там, где нет снежного покрова, где склоны оголены. Ничтожное развитие вечной мерзлоты в высокогорных районах Армянской ССР прежде всего следует объяснить наличием зимою мощного снежного покрова.

В термическом режиме грунтов большое значение имеет экспозиция склонов. Нижеприведенная таблица дает яркую картину разницы температур северной и южной экспозиции. Измерения произведены на Арагаце в августе 1954 г.

Экспози-	T W	B:13Д.,			Темп	ератур	а почв	ы на г	лубине	, C.H	
	BIMCOT	Темп в ггр.	0	5	10	14	20	25	30	40	
Северн.	3750	7,0	12,7	4,0	0,0	0,0	0,0	0,0			глубже вы-
Южн.	3700	12,0	22,5	16,5	13,0	9,5	8,5	7,5	6,0	6,5	ступали ко- ренные по- роды

Как показывает таблица, на северном склоне, начиная с глубины 10 см. грунт мерзлый, между тем, на южном склоне до глубины 30 см температура понижается, достигая 6 градусов, затем повышается и исключается образование вечной мерзлоты.

Характер и увлажнение грунтов имеет большое значение в термическом режиме. Там, где образован почвенно-растительный покров, тепловая волна проникает вглубь посредством теплопроводности, однако, там, где поверхность земли представлена голыми чингилами, помимо теплопроводности проникновению опособствует турбулентный теплообмен. Наблюдения показывают, что термический режим почвы и каменных россывей отличается друг от друга. Из фиг. 4 явствует, что среднемесячная



Фиг. 4. График среднемесячной температуры на глубине 1,6 м за 1954 – 55 гг. на метстанции "Арагац"

В почве она не опускается ниже нуля в течение всего года. В камнях же среднемесячная температура шести месяцев не поднимается выше нуля, опускаясь до —3,5°. Это объясняется тем, что с поверхности каменых россыпей холодный, тяжелый воздух по широким трещинам и щелям овободно спускается вниз. Летом теплый воздух, будучи легким, не проникает вниз. Поэтому в камнях в течение всего года гораздо холоднее, чем в почве. В высокогорных районах нами в очень многих местах констатирован подчингиловый лед даже к концу лета. В камнях в апреле месяце, как показывает график (фиг. 4), происходит быстрое поднятие температуры, но в мае и июне она остается почти постоянной—0°. Здесь вся тепловая энергия, поступающая сверху, расходуется на тая-

ние лыда (скрытая теплота таяния). В почве на глубине 1,6 м этого явления нет, т. к. на такой глубине прунт не замерзает зимой. Оно наблюдается в более верхних слоях — до 80—90 ом, где происходит сезонное промерзание.

На ровных участках, покрытых почвенно-растительным покровом, независимо от высоты, по нашему убеждению, нет вечной мерзлоты, благодаря сильному увлажнению почвы. Когда в почве имеется влага больше оптимума, благоприятствующего теплопроводности, то в зимние месяцы выделяется колоссальное количество скрытой теплоты замерзания, создавая сильную нулевую завесу, задерживающую проникновение зимней волны холода. Последняя оказывается не сильной, т. к. на ровных участках наблюдается мощный снежный покров. Летом огромное количество тепловой энергии затрачивается на оттаивание льда. Проникновению летней волны тепла препятствует та же самая нулевая завеса. Нижеприведенная таблица служит ярким примером вышеизложенного. Измерения температуры произведены 23 июля 1954 г. в 16 часов на высоте 3300 м у подошвы Аждаака на сильно увлажненном участке.

	Воздух		Глубина почвы, см						Поимонания			
		0	5	10	15	20	25	30	40	50	60	Примечание
Температура в градусах	7,5	12,0	12,0	5,1	0,0	0,0	0,0	0,5	0,8	1,0	1,5	Глубже ко-

Из таблицы видно, что до глубины 15 см температура сильно падает, слой, толщиной в 10 см, имеет температуру, равную 0°, глубже она опять повышается, причем слой с температурой в 0° является полумерзлым, легко разламывается киркой, быстро превращается в жижу. Этот слой является сезонномерзлым грунтом. Снег на такой высоте сходит в мае, значит в течение месяца отгаивает слой, толщиной 15 см. При повторном измерении температуры к концу июля мерзлого слоя уже не было. После исчезновения сезонной мерзлоты происходит быстрый теплообмен. Таким образом, зимняя волна холода проникает всего лишь на 25 см, а летняя — до подстилающих коренных пород.

Форма рельефа, крутизна склонов способствуют накоплению снега и создают условия различного термического режима грунтов. На водоразделах и крутых склонах снег сдувается и часто выступают голые скалы. На таких участках зимняя волна холода проникает глубоко, вызывая замерзание влаги, что создает интенсивное морозное выветривание коренных пород. На таких участках наблюдается островная вечная мерзлота.

В высокогорных районах Армянской ССР вечномерзлые грунты можно разделить на два типа: 1) подкромковая вечная мерзлота; 2) островная вечная мерзлота.

Подкромковой мы называем ту мерэлоту, которая окаймляет снежники и тянется лентой под самой кромкой снега независимо от высоты

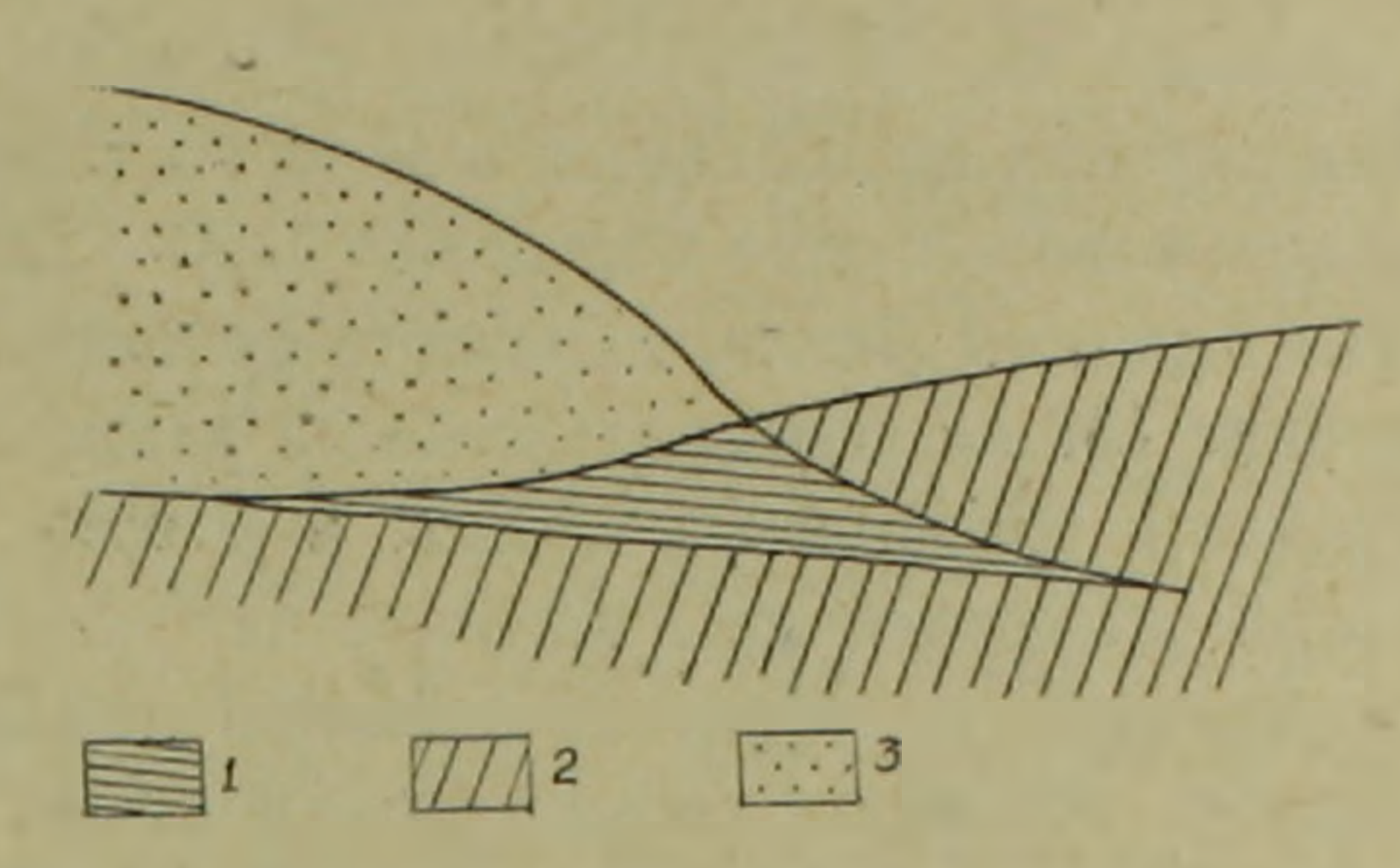
местности. Как известно, в горах, на отрицательных формах рельефа, ме стами накопившийся снег держится до нового снегопада. Много таких снежников на северных склонах Арагаца и Гегамских гор, где местами снег превращается в фирн. По нашему мнению под мощными снежниками не может быть вечной мерзлоты, она только появляется по краям снежника, под самой кромкой, где мощность снега небольшая и зимняя волна холода через снежный слой проникает в грунт. Отсутствие вечной мерзлоты под мощным снежником объясняется нами следующим образом. Везде на вулканических массивах снежники перекрывают голые чингилы. Между камнями очень свободно циркулирует воздух. Из глубоких слоев теплый воздух имеет свободный доступ к нижней поверхности снежника, соприкасаясь с последней, воздух охлаждается и стремится вниз. Таким образом, происходит турбулентный обмен, конвекция воздуха, благодаря которой под снегом должна держаться сравнительно высокая, ближе к 0° температура, что исключает возможность образования вечной мерзлоты. В снежниках наблюдается еще очень важное явление, препятствующее промерзанию грунтов. Как известно, снег обладает очень плохой теплопроводностью, зимняя волна холода проникает очень медленно и неглубоко, максимум до глубины 3-4 м. Эта волна в мощных снежниках не может достичь их дна. Между тем, летняя волна тепла очень быстро доходит до дна не только с помощью теплопроводности, но и, в основном, в виде скрытой теплоты, выделившейся при замерзании воды. Самый грубый подсчет скрытой теплоты замерзания может подтвердить вышеизложенное мнение. Например, в мае 1954 г. на высоте 3200-3400 м (массив Арагаца) растаял слой снега в 1 м. Если плотность снега 0,3-0,4 [5], то с 1 м- площади снежного покрова просачивается вглубь 300 000— 400 000 см воды. В снежнике, мощностью в 10 м, эта талая вода, не достигая дна, вновь замерзает, выделив примерно 30 миллионов калорий в призме, основанием в 1 м2. Эта скрытая теплота достаточна для того, чтобы повысить температуру всей призмы на 6°. Учитывая, что в апрелемае значительная часть талой воды в снежниках, не доходя до дна, замерзает, станет ясным, что уже в начале лета температура всей толщи снежника повышается до 0°.

Вышеизложенное говорит в пользу того, что под снежником грунт в течение всего года должен иметь температуру в 0°. Поэтому даже зимой из-под снежника выходят ручейки.

Подкромковая вечная мерзлота на небольшом расстоянии от кромки снежника на некоторой глубине выклинивается. Она выклинивается также в сторону снежника. Выходит так, что наибольшая мощность вечной мерзлоты должна быть под самой кромкой (фиг. 5). Длина клиньев вечномерзлых грунтов в обратную сторону от снежников различна, она зависит от быстроты отступления кромки снежника летом, экспозиции, характера грунта. Местами подкромковая мерзлота сливается с островной вечной мерзлотой.

Верхняя поверхность вечной мерзлоты под кромкой снежника находится на самой поверхности грунта и, постепенно погружаясь на расстоя-

нии 5—8 м, в среднем на глубине 60—80 см, выклинивается. На расстоянии 1—2 м от кромки мерзлый грунт обнаруживается на глубине 10—20 см, мощностью до 60—80 см. Следовательно, под самой кромкой или недалеко от кромки в сторону снежника мощность мерзлого грунта не может превысить 100—120 см. К сожалению, нам нигде не удалось под кромкой выкопать шурфы глубже 80 см., т. к. везде выступали коренные породы и мы о мощности мерзлоты под кромкой не располагаем фактическими данными.



Фиг. 5. Вертикальный разрез подкромковой вечной мерзлоты. 1. Мерзлый грунт. 2. Талый грунт. 3. Снег.

Подкромковая вечная мерзлота является, по-видимому, самым распространенным типом мерзлоты в пределах всего Армянского нагорья. Она встречается выше орографической снеговой линии, расположенной на высоте 3000 м в северной и на высоте 3400—3500 м в южной частях Армянской ССР.

Островная вечная мерзлота встречается довольно редко, на больших высотах, на северных, более теневых склонах, где зимою снег сдувается, и на большой глубине грунт промерзает. В образовании такой мерзлоты большое значение имеют формы рельефа и состав грунта. Самыми благоприятными в этом отношении являются те склоны, которые сложены рыхлыми, глинистыми образованиями, перекрытыми каменной россыпью и щебнистым материалом. В таких местах гравитационная вода быстро стекает с верхнего слоя, вследствие чего теплопроводность уменьшается и летняя волна тепла очень медленно проникает вглубь. Зимою, лишенные снежного покрова, такие склоны быстро замерзают, так как холодный тяжелый воздух через верхний слой быстро проникает до глинистого слоя. Благодаря сравнительно большой теплопроводности увлажненного грунта, мощность мерзлого грунта увеличивается. Вечная мерзлота такого рода нами встречена на шлаковом конусе Аждаака (Гегамские горы) на высоте 3400 м и на Арагаце, выше 3500 м на крутых склонах северной экспозиции.

Наши наблюдения показали, что не на всех высоких массивах Армянской ССР встречается островная вечная мерзлота. Она приурочена в основном к массивам Арагаца и Гегамских гор (возможна и на Варденисском и Сюникском хребтах, где наблюдения не производились). Известня XV, № 2—5

Температурные наблюдения на массиве Ишханасара в южной части республики на высоте 3400 м на северном склоне 29 августа 1954 г. дали следующую картину.

Глубина, см.	5	10	15	20	30	40	50	60	70	80	90	100	120
Температура в градусах	9,5	9,3	9,3	9,3	9,0	9,0	8,5	8,1	8,0	7,6	7,0	6,5	6,4

Из таблицы явствует, что на Ишханасаре не может быть вечной мерзлоты. Аналогичная картина наблюдается в Мокрых горах северной части республики, вершины которых едва достигают 3100—3200 м высоты. Здесь на северном склоне вершины Легли, на высоте примерно 3100 м, 17 августа 1947 г. на глубине 150 см температура была равна 8° выше нуля, что исключает возможность образования вечной мерзлоты.

Мерзлые грунты оказывают свое влияние на физико-географические процессы. Особое значение приобретает сезонная мерзлота в летние месяцы, т. к. вечная мерзлота имеет весьма ограниченное, локально-островное распространение. На массивах Арагаца и Гегамских гор большое развитие имеют солифлюкционные процессы. Являясь водоупором, сезонная мерзлота препятствует просачиванию талых вод и эти последние фильтруются на более низких гипсометрических отметках, где сезонная мерзлота уже исчезла.

Ереванский государственный университет

Поступила 10.V. 1961.

Հ. Կ. ԳԱԲՐԻԵԼՅԱՆ

ՀԱՅԿԱԿԱՆ ՍՍՌ-ում ՀԱՎԵՐԺԱԿԱՆ ՍԱՌՑՈՒՅԹԻ ՀԱՐՑԻ ՄԱՍԻՆ

Udhahaci

Հավերժական սառցույթի հարցը Հայկական ՍՍՌ-ում մինչև այժմ մնում է քիչ ուսումնասիրված։ Խ, Պ. Միրիմանյանի (2, 3) հաղորդումները միակն են այդ ուղղությամբ։ Նա Գեղամա լեռներում Սև սարի լանջին 3000 մ բարձրության վրա նչում է հավերժական սառած գրունտի առկայությունը։ Վերջին տարիներս կատարած դիտարկումները մեղ հանգեցնում են այն եզրակացության, որ հավերժական սառած դրունտները Հայկական ՍՍՌ բարձր լեռնային զանգվածներում ունեն խիստ սահմանափակ տարածում։

Հավերժական սառցույթ գոյանում է այնտեղ, որտեղ գրունտի մեջ բացարձակ մաքսիմում ջերմաստիճանը տարվա ընթացքում միշտ զրոյից ցած է։ Գծ. 1-ից նկատում ենք, որ 1,6 մ խորության տակ բացարձակ մաքսիմում ջերմաստիճանի կորը Արարատյան դաշտից մինչև Արագածի գագաթը ըստ բարձության նվաղում և 0°-ի է հասնում 3700—3800 մ բարձրության վրա «Արագած» օդերևույթաբանական կայանի տվյալներով մոտ 3200 մ բարձրության վրա, մինչև 80 սմ խորությունը, միջին տարեկան ջերմաստիճանն ասարճանաբար նվազում է, այնուհետև՝ աճում (գծ. 2)։ Այդ ցույց է տալիս, որ մերձկատարային պլատոյում բացառվում է հավերժական սառցույթի դո<mark>յու</mark>թյունը։

Հավերժական սառցույնի ստեղծմանը խոշոր խոչընդոտ է հանդիսանում հղոր ձնածածկը, որ հասնում է երբեմն մինչև 150—200 սմ-ի։ Ձմեռային ամիսներին դրունտի մեջ ջերմաստիճանային գրադիենտները շատ փոքր են, ուստի ցրտի ալիքը չի կարողանում նափանցել խորը, մինչդեռ ամառային ջերմային ալիքը հնարավորունյուն ունի խորը նափանցելու շնորհիվ ջերմային մեծ գրադիհնտների, որն ակներև է գծ. 3-ից։ Այսպիսով, ձնածածկը որպես դորեղ մեկուսիչ պաշտպանում է գրունտը սառելուց։

Դիտարկումները ցույց են տալիս, որ չինգիլներում ձմեռային ամիսներին ավելի ցուրտ է լինում, քան հողում (գծ. 4)։ Չինգիլներում տեղի է ունենում տուրբուլենտային ջերմավոխանակում՝ սառը օդը ծանրության շնորհիվ կա-րողանում է խորը թավանցել։

Քարձր լևռնային հարց պլատոներում այնտեղ, որտեղ գրունտր ջրով հարհցած է և ձմռանը ծածկվում է ձյան բավական հաստ շերտով, ոչ մի տեղ հավարժական սառցույց չկա, որովհետև ջրով հագնցած գրունտի սառեցման ժամանակ ստեղծվում է ուժեղ զրոյական վարագույր, այսինքն ջրի սառեցման ժամանակ անջատվում է մեծ քանակությամբ իաքնված ջերմություն, որը կուտակվելով արդելակում է խորը շերտերի սառեցումը։ Գարնանը ջերմային ալիքը նույնպես դժվարությամբ է թափանցում գրունտի մեջ, որովհետև ջերմությունը ծախսվում է սառած գրունտի հալեցման վրա որպես հայման քաքնված ջերմություն։ Այսպիսով զրոյական վարագույրը ջրով հագեցած դրունտներում դառնում է զորեղ դործոն՝ ջերմային ռեժիմում։ Մեր դիտարկումեները Գողամա լեռներում 3300 մ բարձրության վրա ցույց տվեցին, որ 1954 թ. հուլիսի վերջին սառած գրունտը գտնվում էր 15 սմ խորության տակ և ուներընդամենը 10 սմ հղորություն։ Ավելի խորը ջերմաստիճանը աստիճանաբար բարձրանալով բացառում էր հավերժական սառցույթի հնարավորությունը։

Հավերժական սառած գրունտներ Հայկական ՍՍՈ բարձր լեռնային զանգվածներում հնարավոր են այնտեղ, որտեղ ձնածածկը շատ բարակ է։ Հավերժական սառցույթը հանդիպում է 1. ձնաբծերի եզրի տակ, 2. որպես կղզային սառցույթ։

քարձր լեռնային զանգվածներում օրոգրաֆիական ձյան սահմանից վերև (3000 մ-ից բարձր) թամիներից պաշտպանված գոգավորություններում հանդիպում են ձյան բծեր, որոնք պահպանվում են շուրջ տարի։ Մեծ հղորության ձնարծերի տակ հավերժական սառցույն լինել չի կարող երկու հանգամանքով։ նաև այն պատճառով, որ ձնաբծերը գտնվում են չինգիլների վրա, ուստի ջարաբեկորների արանջներում տեղի է ունենում օդի տուրբուլննտային շարժում և տաք օդը կարողանում է վերև բարձրանալ, հասննլ ձյան շերտին։ Երկրորդ հղոր ձնաժածկում ցրտի ալիբը ձմոանը չի կարողանում հասնել մինչև հատակ, իսկ ամառային ջերմունյան ալիբը հասնում է հատակ ոչ միայն ջերմահանակ անջատված քաջնված ջերմունյան ալիբը հասնում է հատակ ոչ միայն ջերմահանջատված քաջնված ջերմունյան շնորհիվ։ Այսպիսով, ձնաբծերի հատակում ամրողջ տարվա ընթացրում ջերմաստիճանը 0°-ից չի իջնում, հետևաբար լրունտր չի կարող սառած լինել։ 0°-ից ցած ջերմաստիճաններ դրունտի մեջ կարող է լինել այն դեպքում, երբ ձյան շերտը բարակ է և ցրտի ալիջը հասնում

գերունտին, այսինքն ձյան բծնրի նղրային մասնրում։ Այդպիսի սառցույթին Հենք անվանում ենք ենթանզրային սառցույթ։

Կղզիների ձևով հավերժական սառցույթեր լայն տարածում չունի։ Այն հանդիպում է հյուսիսահայաց լանջերի այն հատվածներում, որտեղ ձմռանը ձյունը տարվում է քամիների միջոցով և չինդիլները բացվում են։

Մեր դիտարկումները Սյունիքի բարձրավանդակում և Խոնավ լեռներում ցույց են տալիս, որ հիշյալ զանգվածների վրա հավերժական սառցույթ չկա։ Հավերժական սառցույթը հնարավոր է համեմատաբար կոնտինենտալ պայ-մաններում գտնվող լեռնազանգվածների բարձր մասերում միայն։

ЛИТЕРАТУРА

- 1 Багдасарян А. Б. Климаты Армянской ССР, изд. АН АрмССР, Ереван, 1958.
- 2. Мириманян X. П. Вечная мерзлота в ССР Армении. ДАН СССР, т. III, № 3, 1934.
- 3. Мириманян X. П. Новые данные о вечной мерзлоте в ССР Армении. Тр. комиссии по изучению вечной мерзлоты, том. V, изд. АН СССР, М.—Л., 1937.
- 4. Сумгин М. И. и др. Общее мерзлотоведение. Изд. АН СССР, М.—Л., 1940.
- 5 Шагинян М. В. Распространение снежного покрова в бассейнах рек Арменин. «Изв.» АН АрмССР, серия геологич. и географ. наук, т. XIII, № 5, 1960

ՀԱՅԿԱԿԱՆ ՍՍՌ ԳԻՏՈՒԹՅՈՒՆՆԵՐԻ ԱԿԱԳԵՄԻԱՅԻ ՏԵՂԵԿԱԳԻՐ НЗВЕСТИЯ АКАДЕМИИ НАУК АРМЯНСКОЯ ССР

Երկրար, և աշխարհագր, գիտ.

XV, № 2, 1962 Геологич, и географич. науки

ԳԻՑՈՒԹՅԱՆ ՊԱՑՄՈՒԹՅՈՒՆ

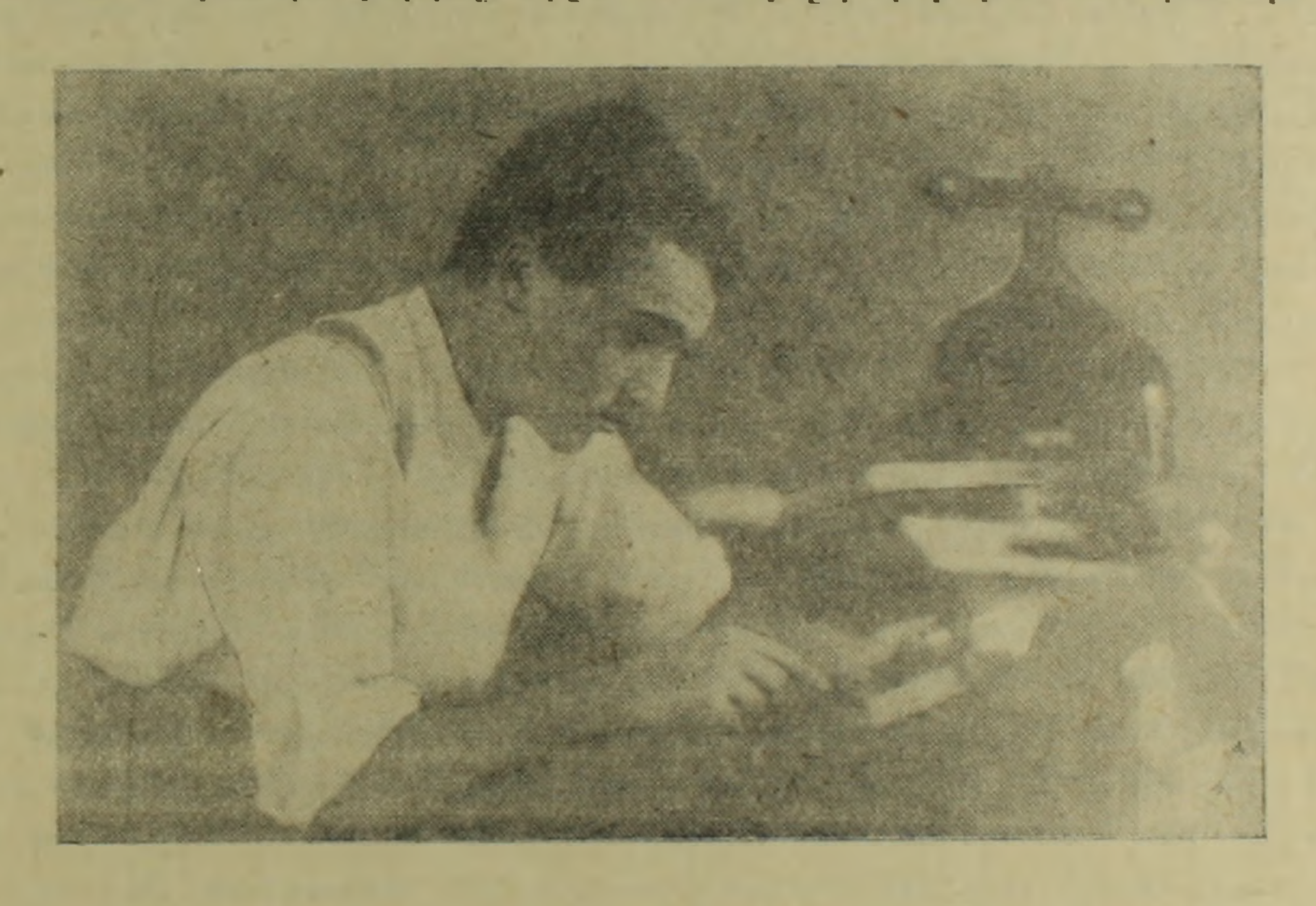
լ. Ա. ԱՎԱԳՅԱՆ

APSEUU JURBUPBUT

(«Անվանի հայ եւկւաբաննեւ» շաւքից)

Հայաստանի երկրաբանական ծառայության հնագույն աշխատող, անվանի երկրաբան Պետրոս Ղամբարյանը ծնվել է 1899 թվականին՝ Թիֆլիսում, ծառայողի ընտանիքում։ Նրա հայրը իրավունքի մագիստրոս էր, իսկ մայրը՝ դաշնակահար։

Նախնական կրթությունը Պետրոսը հիմնականում ստանում է տանր իր առաջին ուսուցիչների՝ ծնողների ղեկավարությամբ, իսկ քննությունները Տանձնում է էքստերն կարգով, միշտ ստանալով բարձր գնահատականներ։



Պետրոսը մանուկ հասակից հանդես է բերում բացառիկ սեր դեպի նկարլությունը։ Արտակարգ ընդունակ և մեծ շնորհքի տեր պատանին նկարում է բազմանիվ կտավներ, որոնցից շատերը ցուցադրվում են Թիֆլիսում կազմակերպված նկարիչների ցուցահանդեսներում և

¹ Այդ կատվահրի մի որոշ մասը ներկայումս գտնվում է նրա որդու, ՍՍԴ Միության Գիտությունների ակադեմիայի Կենդանարանության ինստիտուտի (Լենինգրադ) ավադ դիտական աշխատող Պ. Պ. Ղամրարյանի մոտ։

Յուղանկարչություսից բացի Պետրոսը ղբաղվում է նաև փորադրությամը։ Փայտի վրա նրա փորագրած լավագույն գործերից մեկը ձևուք է բերում Մոսկվայի նախկին Ռումյանցևի թանգարանը, իսկ այդ աշխատանքի լուսանկարը տպագրվում է անգլիական «The Studio» ամսադրում։

Ղամբարյանը մեծ հետաքրքրություն է հանդեծ բերում նաև դեպի որմնանկարչությունը։ Այդ բնագավառում կատարած նրկարատև աշխատանքի ու որոնումների արդյունքները ղբսևորվում են նրա «Չիբուխլի դյուղը Սևանա լճի ափին» խոշոր որմնանկարում, որը նա նկարել է Թիֆլիսի Ձերժինսկու փողոցի (Սոլոլակ) շենքերից մեկի պատի վրա (տարիների ընթացքում շենքի վերանորոգումների հետևանքով որմնանկարը ներկայումս չի պահպանվել)։

1920 թվականին Պետրոս Ղամբարյանը մեկնում է արտասահման բարձրագույն կրթություն ստանալու Սակայն, նյութական կարիքը հարկադրում
է նրան ժամանակավորապես հրաժարվել իր մտադրությունից և օրվա հաց
հարելու համար մտնել աշխատանքի։ 1920—1922 թվականների ընթացքում
Պ. Ղամբարյանը ապրում է Իտալիայում և աշխատում է երկրի մի քանի հանքավայրնրում որոյես բանվոր։

1922 թվականին Պ. Ղամբարյանը գալիս է Փարիզ, այստեղ նա թողնում է նկարչությունը և տարվում է նրկրաբանությամբ։ Նույն թվականին նա ընդունվում է Սորբոնի համալսարանը, ուր մի քանի տարի շարունակ մեծ սիրով ու նվիրվածությամբ լսում է երկրաբանական ցիկլի առարկաննրի լրիվ դասընթացը և միաժամանակ աշխատում է Բնա-պատմական թանդարանում ականավոր պրոֆեսորներ Մոդենի և Լաքրուաի ձեռքի տակ։ Երկրաբանական տեսական ու դործնական գիտելիքների տիրապետման գործում Պետրոսին մեծ օգնություն է ցույց տալիս նաև նշանավոր պրոֆ. Պիեր Բոնեն, որը նախկինում աշխատել էր Հայաստանում և բավական ծանոթ էր Հայաստանի երկրաբանական կառուցվածքի հետ։

1927 թվականին Պ. Ղամբարյանը ավարտում է համալսարանը և շարունակում է իր աշխատանքը Բնա-պատմական թանգարանում։ Սույն Բվականին նա ընտրվում է Ֆրանսիական հանքաբանական ընկերության իսկական
անդամ։ Պրոֆ. Մոգենը բարձր գնահատելով Ղամբարյանի գիտա-մանկավարժական աշխատանքի համար ունեցած արտակարգ ընդունակությունները,
առաջարկում է նրան որպես ասիստենտ աշխատել իր մոտ։ Սակայն երիտասարդ ու շատ համեստ երկրաբանին չեն դրավում ոչ Փարիզի շքեղությունն ու
դեղեցկությունը և ոչ էլ այնտեղ սպասվող ապագա փառքը։ Պետրոսին հզոր
մագնիսի ուժով ձգում են իր հեռավոր հայրենիքը և այնքան հարազատ ժողովուրդը, նրան առաջնորդում են իր հայրենիքի և ժողովրդի բարօրության համար ազնվաբար ու նվիրված ծառայելու պարաքի հատուցման վեհ դաղափարները։

1927 թվականին Պետրոս Ղամբարյանը թողնում է Փարիզը, գալիս է Սովետական Հայաստան ու աշխատանքի է հրավիրվում Երևանի Պետական համալսարանում։ Այստեղ նա աշխատում է սկղբում որպես քիմիական (որակական անալիզի) լաբորատորիայի վարիչ, իսկ այնուհետև երկրաբանական առարկաների (բյուրեղագիտություն, հանքաբանություն և քարագիտություն) դասախոս։ Շուտով նա ստանում է գոցենտի կոչում, իսկ 1930 թվականին, երբ Երևանի Պետական համալստրանի բաղաւի վրա ստեղծվում է Պոլիտեխնիկա-

կան ինստիտուտը, Պ. Ղամբարյանը դոցենտի պաշտոնով փոխադրվում է ալդ Նորաստեղծ բարձրադույն ուսումնական հաստատությունը։

Ինչպես համալսարանում, այնպես էլ Պոլիտնինիկական ինստիտուտում Պ. Ղամբարյանը հատուկ ուշադրություն է դարձնում երկրաբանական առարկաննի դասավանդման վրա և ականավոր երկրաբան պրոֆ. Տիդրան Ջրբաշյանի հետ միասին, մեծ աշխատանք է տանում Քիմիական ֆակուլտետում երկրաբանական թերումով ազդային մասնագիտական կադրեր պատրաստելու ուղղությամբ՝։ Ուշադրավ է, որ այդ կադրերի առաջնեկը հանդիսացել է Հայկական ՍՍՌ Գիտությունների ակադեմիայի Երկրաբանական դիտությունների ինստիտուտի պետրոդրաֆիայի բաժնի վարիչ Գևորգ Բաղդասարյանը, որը 1929 թվականից մինչև Պետրոս Ղամբարյանի ողբերգական մահը աշխատել է նրա մոտ և իր առաջին երկրաբանական մկրտությունը ստացել է իր տաղանդավոր ուսուցչի արշավախմբերում։

Մանկավարժական աշխատանքին զուգընթաց Պ. Ղամբարյանը 1928 թվականից սկսած մինչև իր կյանքի վերջը տանում է նաև գիտա-հետազոտական աշխատանք, պաշտոնավարելով ռեսպուբլիկայի երկրաբանական ծառայության սկզբնական օջախ հանդիսացող Երկրաբանական-հետազոտական վարչությունում։

1928—1933 Թվականների ընթացքում նա հետազոտում է Մերձերևանյան (լայն առումով) և Հրազդանի շրջանները, ուսումնասիրելով այդ շրջանների երկրաբանական կառուցվածքը և օգտակար հանածոները (դիատոմիտ, մար-մար, սրաքար, տրաս, կավ և այլն)։ Պետրոս Ղամբարյանի կատարած երկրա-բանական-հետախուղական աշխատանքների արդյունքները ամփոփված են հրատարակված երկու աշխատություններում և երեք տասնյակից անցնող դի-տա-տեխնիկական ձևռագիր հաշվետվություններում, որոնք պահվում են Հայկական ՍՍՌ Մինիստրների Սովետին առընթեր Երկրաբանության և ընդերքի սյահպանման վարչության ֆոնդերում։

Մի փոքր ավելի մանրամասն կանգ առնենք նրա կատարած գիտա-հետազոտական աշխատանքների վրա։

1928 թվականին Պ. Ղամբարյանը հետազոտում է Արովյանի շրջանի Ձորաղբյուր գյուղի շրջակայքի տրասները, որպես հիդրավլիկ ավելցուկ օգտագործման համար։ Ահա այդ ժամանակ էլ, դաչտային աշխատանքի հենց առաջին տարում Պ. Ղամբարյանը իրեն դրսևորում է որպես տաղանդավոր և փորձված հետաղոտողի, որը անցել է տեսական ու գործնական աշխատանքի ինքնուրույն, հիանալի դպրոց և հեշտությամբ կողմնորոշվում է ամենաբարդ երկրաբանական պայմաններում։ Այդ է հաստատում նաև 1929 թ. նրա ներկայացրած «Թեջրաբակի տրասները» հաշվետվությունը, որը ինչպես իր բովանդակությամբ, այնպես էլ ձևավորմամբ ներկայացնում է միանգամայն կատարյալ գիտա-տեխնիկական ավարտված, լավագույն գործ։

1929 թվականին Պետրոս Ղամբարյանը մասնակցում է Սովետական Միության Գիտությունների ակադեմիայի Անդրկովկասյան արշավախմբի աշխատանքներին իբրև Երևանի խմբի պետ։ Նա Հետաղոտում է Հրազդան գետի

հ Երևանի Պետական համալսարանի Երկրարանական ֆակուլտետը թացվել է ավելի ուշ. 1934 թվականին, պրոֆ. Տ. Ջրրաշյանի և համալսարանի ռեկտոր Տ. Մուշեղյանի նախաձեռնությամբ։

ստորին հոսանքի երկրաբանական կառուցվածքը և կազմում է այդ տեղամասի հրկրաբանական քարտեղը։ Այդ ուսումնասիրությունների արդյունքներն ամ-փոփված են նրա բավական ստվար աշխատությունում՝, որն ունի լևռնա-գրություն, երկրաբանություն, քարագիտություն, օգտակար հանածոներ գլուխ-ները, երկրաբանա-պետրոդրաֆիական քարտեղ և բազմաթիվ լուսանկարներ ու ապարների քիմիական կազմի աղյուսակներ։ Աշխատության հատկապես արժեքավոր մասը հանդիսանում է հրաբխային ապարների նկարադրությունը, նրանց փոխհարաբերության ու հասակի հարցերի որոշումը, ինչպես նաև Շոռաղբյուրի նստվածքային շերտախմբի և պարունակող ֆաունայի բնութա-գրումը։

1930 թվականին Պ. Ղամբարյանը ուսումնասիրում և հետազոտում Լ Աբովյանի շրջանի Նուռնուսի դիատոմիտի հանքավայրը, որը շուտով հանձնըվում է շահագործման։ Այդ հանքավայրին է նվիրված նրա երկրորդ տպագիր աշխատությունը, որը մանրամասն կերպով տալիս է Նուռնուսի տեղամասի երկրաբանական կառուցվածքը, որոնողա-հետախուզական աշխատանքների նկարագիրը և դիատոմիտի ֆիզիկա-քիմիական հատկությունների ու կիրառման բնութագիրը։ Աշխատության մեջ բերված են նաև հանքավայրի երկրաբանական քարտեզը, կտրվածքներ և մի շարք լուսանկարներ։

Այդ նույն թվականին Պ. Ղամբարյանը աշխատում է մարմարների գծով, հետազոտում է Հրազդանի շրջանի Արզականի և Աղվերանի հանքավայրերը, տալիս է նրանց պետրոգրաֆիական նկարագրությունը, մարմարների տեղա-դրման պայմանների ու հատկությունների բնութագիրը և հետադա որոնողա-հետախուզական աշխատանքների ուղությունը³։

1931 թվականին Ղամբարյանը որոնողա-հետախուզական աշխատանքներ է կատարում Փարաքար, Ձորաղբյուր և Փարբի գյուղերի շրջակայքում կավի («գիլ») և դիատոմիտի նոր հանքավայրեր հայտնաբերելու ուղղությամբ։

1932 թվականին նա երկրաբանական աշխատանքներ է տանում Արտաշատի և Վեդու շրջաններում և Ջաջուռի ածխի հանքավայրում։

Պետրոս Ղամբարյանը գիտա-հետազոտական աշխատանքներ է կատարնը նաև ինժեներական երկրաբանության բնագավառում։ Նա Քանաքեռգէսի շի-նարարության կապակցությամբ ուսումնասիրել է գրունտների հատկություն-նարտության և այլ խոշոր խուսումներ հիդրո-տեխնիկական և այլ խոշոր

Ղամբարյանի գրչին են պատկանում ևս մի շարք ձեռագիր աշխատություններ և հաշվետվություններ, որոնք նվիրված են Երևանի բազալտների էլեկտրաձուլման և վերաբյուրեղացման, ռեսպուբլիկայի հնարավոր նավթա-

¹ «Геолого-петрографический очерк района средней Занги». Бассейн реки Занги, часть II. Геолого-гидрогеологические очерки. Труды Совета по изучению природных ресурсов (СОПС). Серия Закавказская, вып 10. Издательство АН СССР, Ленинград, 1934.

² «Нурнусское месторождение диатомита», Сборник научно-исследовательских трудов НИС-а Уполи. НКТП при СНК ССР Армении, № 1. Отв. редактор гор. инж. А. С. Зорабян. Ереван, 1934.

³ Sb'и «Арзаканское месторождение мрамора» зигишини прини

Ինչպես երևում է Պ. Ղամբարյանի կատարած գիտա-հետազոտական աշխատանքների համառոտակի շարադրումից, նա ընդգրկել է երկրաբանական գիտությունների լայն շրջանակներ, հավասարաչափ կերպով զբաղվել է և հանույթով, և օգտակար հանաժոների որոնողա-հետախուղական աշխատանքներով։ Ղամբարյանն ուներ տեսական ու դործնական գիտելիքների մեծ պատրաստականություն և դաշտային հետազոտման աշխատանքների ինքնատիպ մեթողներ. նա ազատ կերպով տիրապետում էր եվրոպական մի քանի լեզուների (ֆրանսերեն, իտալերեն, դերմաներեն ու անգլերեն) և ջաջ գիտակ էր համաշխարհային մասնագիտական գրականությանը։

Պետրոս Ղամբարյանը ղոհվեց 1934 թվականի փետրվարի 8-ին, ինքնաթիռի աղետի ժամանակ, երբ նա Բաքվից վերադառնում է Թիֆլիս, ուր մեկնել էր պրոֆ. Վ. Վ. Բոգաչևի մոտ կուսուլտացիաննը ստանալու և մի քանի տարիների ընթացքում հավաքած հնէաբանական նյութեր մշակելու համար։

Պ. Ղամբարյանի անակնկալ մահը մեծ վիշտ պատճառեց ոչ միայն ռեսպուբլիկայի լեռնա-հանքային արդյունաբերության աշխատողներին, այլև ինտելիգենցիայի լայն շրջանների մարդկանց։ Լեռնային ինժեներ Ա. Զորաբյանի խմբագրությամբ լույս տեսած «Գիտա-հետազոտական աշխատությունների ժողովածուի» անդրանիկ համարում՝ Պետրոս Ղամբարյանի մահվան առթիվ տպագրվում են դամբանական և նրա «Նուռնուսի դիատոմիտի հանքավայրը» աշխատությունը։

Շատ քիչ ապրեց, ընդամենը երեսունհինգ տարի, հազիվ կես կյանք և չատ-շատ քիչ, ընդամենը հինգ-վեց տարի, երկրաբանական ակնիարի ստեղ-ծագործեց Պ. Ղամբարյանը, սակայն մարդու կյանքի արժեքը չափվում է ոչ ին ապրած տարիների քանակով, այլ տվածով և այդ տեսակետից էլ նա շատ տվեց և քիչ ստացավ։

Ղամբարյանը այն հազվադեպ, բնածին և մեծ տաղանդի տեր մարդկանցից էր, որն իր գործունեության հենց առաջին տարիներին ճանաչվեց և սիրվեց բոլորի կողմից իբրև իր գործին մինչև վերջ նվիրված, բյուրեղյա, մաքուր, ազնիվ, արտակարգ պարզ ու հասարակ մարդ, մեծ քաղաքացի և հայրենասեր։

Պետրոս Ղամբարյանը մեռավ իր ստեղծագործական ուժերի բուռն ծաղկման շրջանում, երբ Հայաստանում նոր էր ծավալվում երկրաբանական հանույթի և օգտակար հանածոների որոնողա-հետախուզական աշխատանքները և նա ամենայն իրավմամբ իր ժամանակակիցների հետ (Հովհ. Կարապետյան, Տ. Ջրբաշյան, Ա. Զորաբյան և ուրիշներ) հանդիսացավ երկրաբանության հետագա առատ բերքի առաջին սերմնացանը։

¹ St'и «Сборник научно-исследовательских трудов», № 1.

огугшр. 6 шуюштышаг. арт. XV, № 2. 1962 Геологич. и географич науки

НАУЧНАЯ ХРОНИКА

к г ширинян

МЕЖДУНАРОДНЫЙ СИМПОЗИУМ «ИГНИМБРИТЫ И ГИАЛОКЛАСТИТЫ» В ИТАЛИИ

Понятие об игнимбритах как об определенном классе пород, впервые было введено Маршаллом в 1935 г. Вначале казалось, что эти специфические образования должны иметь весьма ограниченное распространение. Но как выяснилось в дальненшем, породы типа игнимбрито в распространены по всему миру, известны во всех геологических эпохах и их исследование имеет существенное значение в познании геологических процессов прошлого.

Однако вопрос о механизме процессов и характере извержений, обуславливающих образование игнимбритов и родственных с ними пород, а также ряд других вопросов, связанных с условием их формирования, не нашел еще свое окончательное решение. Между тем известно, какую опасность представляют извержения игнимбритов, как одних из наиболее катастрофических вулканических явлений и какое большое значение приобретает полная разгадка их природы и разработка защитных мер в местах возможных их извержений.

С некоторыми древними игнимбритами связаны месторождения полезных ископаемых, другие являются прекрасными строительными материалами.

Поэтому не случайно, что Ассоциация вулканологии МГГС темои. Международного симпозиума избрала вопрос об игнимбритах.

Симпознум проходил с 15 сентября по 1 октября 1961 г. в Италин

Как по числу участников, так и по количеству и содержательности докладов Симпозиум был весьма представительным.

В его работах принимали участие более 100 делегатов, представлякщих 21 страну. В числе участников известные иностранные ученые Р. Бемемелен (Голландия), С. К. Бентор (Израиль), Д. Вайт (Австралия), Ж. Вестервелд (Голландия), Е. Ф. Кук (США), Г. Куно (Япония), Г. Маринелли (Италия), Г. Панто (Венгрия), Н. Раст (Англия), А. Риттман (Италия), Р. Смит (США), А. Стейнер (Новая Зеландия), Г. Тазиев (Франция) и многие другие.

В состав Советской делегации входили В. И. Влодавец, В. П. Петров.

Н. И. Хитаров и К. Г. Ширинян.

Согласно программе с 15 по 19 сентября, до открытия официальной части симпозиума, был организован ряд экскурсии в районы Тоскании

и Лации, где делегаты имели возможность ознакомиться, с пользующимися в этих районах широким распространением, игнимбритами, реоигнимбритами, поццоланами, а также общими особенностями вулканизма указанных районов.

Официальное открытие симпозума состоялось 20 сентября во второй половине дня в здании Университета города Катанин (остров Сицилия).

На 5 научных заседаниях были заслушаны около 50 докладов, из ко-

торых 11 по гналокластитам.

Советская делегация прибыла в Италию вечером 22 сентября и потому участвовала только на последних двух заседаниях, состоявшихся утром и вечером 23. IX. 61 г.

Вввиду опоздания мы не участвовали в экскурсиях, имевших место до официального открытия симпозума, а также в экскурсии на действующий вулкан Этну, состоявшейся между двумя заседаниями — 22 сентября. Однако вулкан Этну нам удалось увидеть при перелете из Рима в Катанию. Пролетев в непосредственной близости и на небольшой высоте над вулканом, мы увидели главный кратер и расположенные рядом огромные бокки, из которых бурно выделялись белые клубы пара. Хорошо были видны разбросанные по склону сотни паразитических конусов, а также другие морфологические особенности вулкана.

От Советского Союза на симпозиум были представлены следующие доклады: В. И. Влодавец «Туфолавы и игнимбриты на территории СССР», К. Г. Ширинян «Игнимбриты и туфолавы. Принципы классификации и условия формирования на примере Армении», В. П. Петров «Зональность лавовых потоков, образующихся после их излияний, и формирование туфовых лав», Б. И. Пийп «Кроноцкие игнимбриты на Камчатке», В. И. Влодавец «О генезисе туфолав Камчатки», Е. Ф. Малеев «Игнимбриты юга Камчатки», Г. С. Горшков «К вопросу генезиса игнимбритов в связи с современными извержениями», Е. Е. Милановский и Н. В. Короновский «Туфолавы и родственные им образования Центрального Кавказа».

Из указанного большого числа докладов, были заслушаны лишь первые два, остальные ввиду нашего опоздания и загруженности программы симпознума пришлось представить оргкомитету в письменном виде. Однако, получив от нас резюме всех докладов на английском и французском языках, а также сборник опубликованных докладов Всесоюзного симпозиума «Игнимбриты и туфолавы», представители зарубежных стран имели полную возможность ознакомиться как с содержанием всех докладов советских ученых, так и с постановкой работ и результатами исследований в нашей стране. К сожалению, такой возможности не было у советских ученых, во-первых потому, что организаторы симпознума не позаботились о подготовке тезисов докладов, а во-вторых потому, что нам пришлось заслушать лишь небольшую часть докладов. Необходимо добавить также, что доклады на симпозиуме читались не только на английском, французском, но и на итальянском языках. Для каждого доклада был установлен регламент 20 мин., включая и время на лискуссию, и поэтому широкой дискуссии по докладам фактически не было. Таким образом, несмотря на обширный материал, изложенный в докладах, обсуждение каждого из них ограничивалось 1—2 выступлениями. Это является несомненным минусом в хорошо организованном и проведенном, во всех других отношениях, симпозиуме.

Этим самым можно объяснить то обстоятельство, что к окончанию работ симпозиума не представлядось возможным подготовить проект решения. Последнее будет принято в мае 1962 г. в Японии, где состоится очередной симпозиум по вопросу «Прогноз времени и места вулканических извержений».

Для подробного изучения всех представленных материалов и подготовки проекта резолюции была избрана комиссия под председательством профессора Рейн ван Беммелена.

Не менее интересны были доклады по гиалокластитам. По сравнению с игнимбритами эти породы имеют довольно ограниченное распространение. Об этом говорит хотя бы то обстоятельство, что из прослушанных всего 11 докладов 9 были посвящены гиалокластитам острова Сицилия. На условиях, порождающих эти породы, мы остановимся ниже при описании одной из экскурсий, а пока укажем только, что заслушав все доклады можно было заключить, что какие-либо принципиальные противоречия относительно природы их образования не существуют.

После окончания официальной части симпознума был проведен ряд новых экскурсий, в Сицилию, на Эоловые острова, в район Флегрейских полей, на Везувий, на остров Искью. Советская делегация принимала участие во всех указанных экскурсиях.

Первая экскурсия состоялась 24.IX в районе гор. Иблен, на юго-востоке Сицилии.

В этом районе большим распространением пользуются осадочно-морские образования, переслаиваемые подводными излияниями лав. Такой разрез здесь прослеживается, начиная от среднего триаса до плейстоцена.

Установлено большое постоянство состава лав, представленных базальтами или тефритовыми базальтами. Характерная для этого региона тефритовая природа магмы объясняется пневматолитовой дифференциацией первичной базальтовой магмы. Десиликация магмы происходила в больших абиссальных трещинах путем обогащения верхних частей магматического расплава щелочами, железом и титаном.

Большой интерес представляют здесь подводные излияния лав со столбчатой отдельностью, лишний раз подтверждающие контракционную гипотезу их образования.

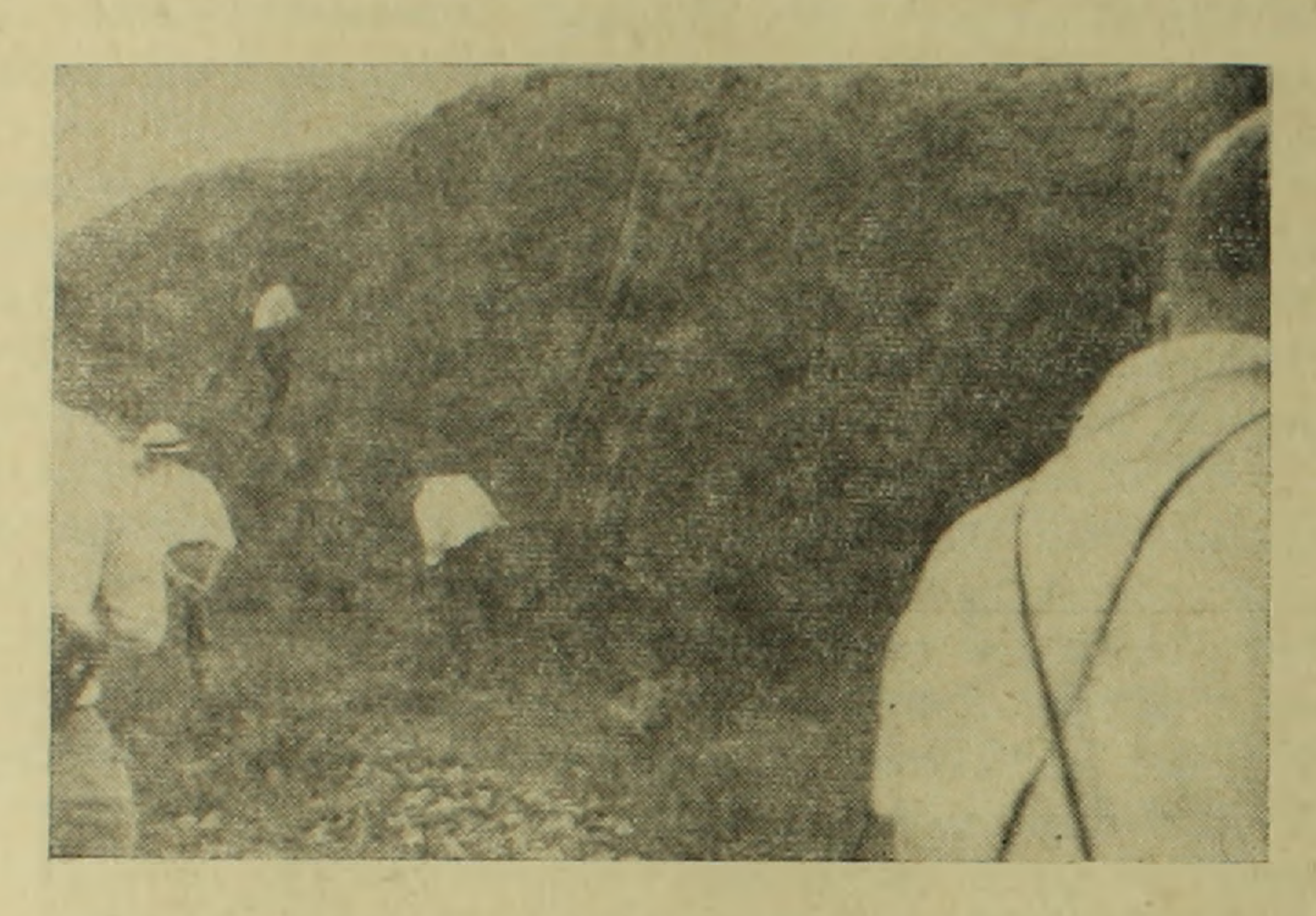
Основной задачей экскурсии был осмотр широко распространенных здесь гиалокластитов.

Гиалокластиты это структурно-измененные разновидности тех же основных лав, образованные в подводной среде вследствие превращения лавы под влиянием охлаждающего действия морской воды на мелкие остроугольные обломки.

Механизм образования гиалокластитов Риттман объясняет следующим образом. Во время подводного излияния лава, быстро охлаждаясь, по-

крывается стеклянной коркой, но вследствие продвижения лавового потока она разбивается и-крошится на мелкие куски. Тем временем образуется новая стеклянная корка, которая также превращается в мелкие кусочки и т. д. Этот процесс продолжается до тех пор пока напор лавы и ее движение не прекращаются, в последнем случае образуются подушечные (Pillow) формы, а ниже столбчатые отдельности лав. Мощность гиалокластитов значительная и измеряется десятками метров.

Местами они прорваны дайками той же магмы (фиг. 1). Контакты даек с гиалокластитами имеют стекловатую структуру. Нам показали



Фиг. 1. Дайка, секущая гиалокластиты.

разрез, пде дайка, прорывая гналокластиты, переходит в поток. Устанавниваются случаи, когда лава заливает промежутки ранее образованных структур.

Следующим объектом нашего посещения был самый южный из группы Эоловых островов, остров Вулькано.

На Вулькано мы прибыли утром 25. IX. Вулькано — это составной страто-вулкан, находящийся в стадии фумаральной деятельности. Хорошо исследованы составляющие остров кратеры.

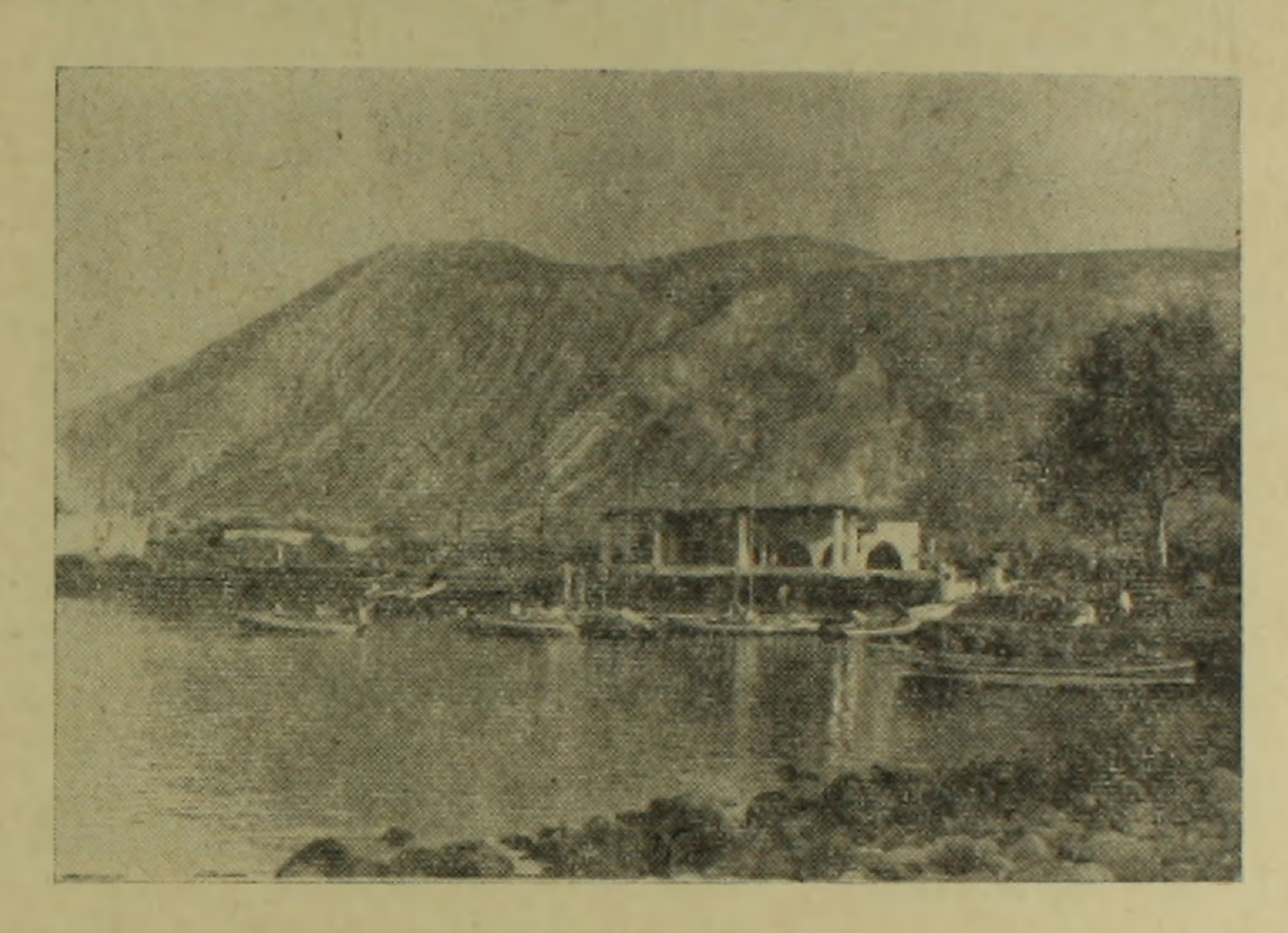
Наиболее древний из них — липаритовый купол Лентия, от которого в настоящее время сохранилось несколько холмов, пронизанных дайками. Позднее образовались Вулькано I — страто-вулкан с крутыми склонами и Вулькано II (фиг. 2), находящиеся сейчас в стадии сольфатарной деятельности.

Для Вулькано II были характерны очень редкие прерывистые излияния лавовых потоков, которые едва достигали основания конуса. Последнее излияние имело место в 1739 г.

В 30-х годах девятнадцатого века в 1,5 км от уже существующего северного берега острова из-под уровня моря возник новый центр извержения — Вульканелло.

В настоящее время хорошо сохранился один из шлаковых конусов Вульканелло, с хорошо выраженным кратером циркообразной формы (300 м глубина и 500 м ширина). У подножья конуса можно видеть поток лейцитового базанита, с отчетливо выраженной волнистой структурой поверхности остывания.

В отличие от Лентии продукты деятельности всех последующих кратеров были по составу основными,— это оливиновые трахибазальты и трахиандезиты (Вулькано I), трахиты (Вулькано II), лейцитовые базаниты и тефритовые трахиандезиты (Вульканелло).



Фиг. 2. Вульканелло II.

После общего знакомства с Вулькано в целом и осмотра кратеров Вулькано II и Вульканелло мы прибыли на остров Липари. Липари самый крупный из группы Эоловых островов (38 км²) и состоит из большого числа потухших вулканов.

Полагают, что остров начал формироваться начиная с послеплиоценового времени. Извержения начались выбросом туфового материала, чередующегося с лавовыми потоками базальтового и андезито-базальтового состава. Глубокая обнаженность некоторых из самых первых вулканических аппаратов позволяет видеть как туфы и лавовые потоки прорезываются интрузиями больших даек.

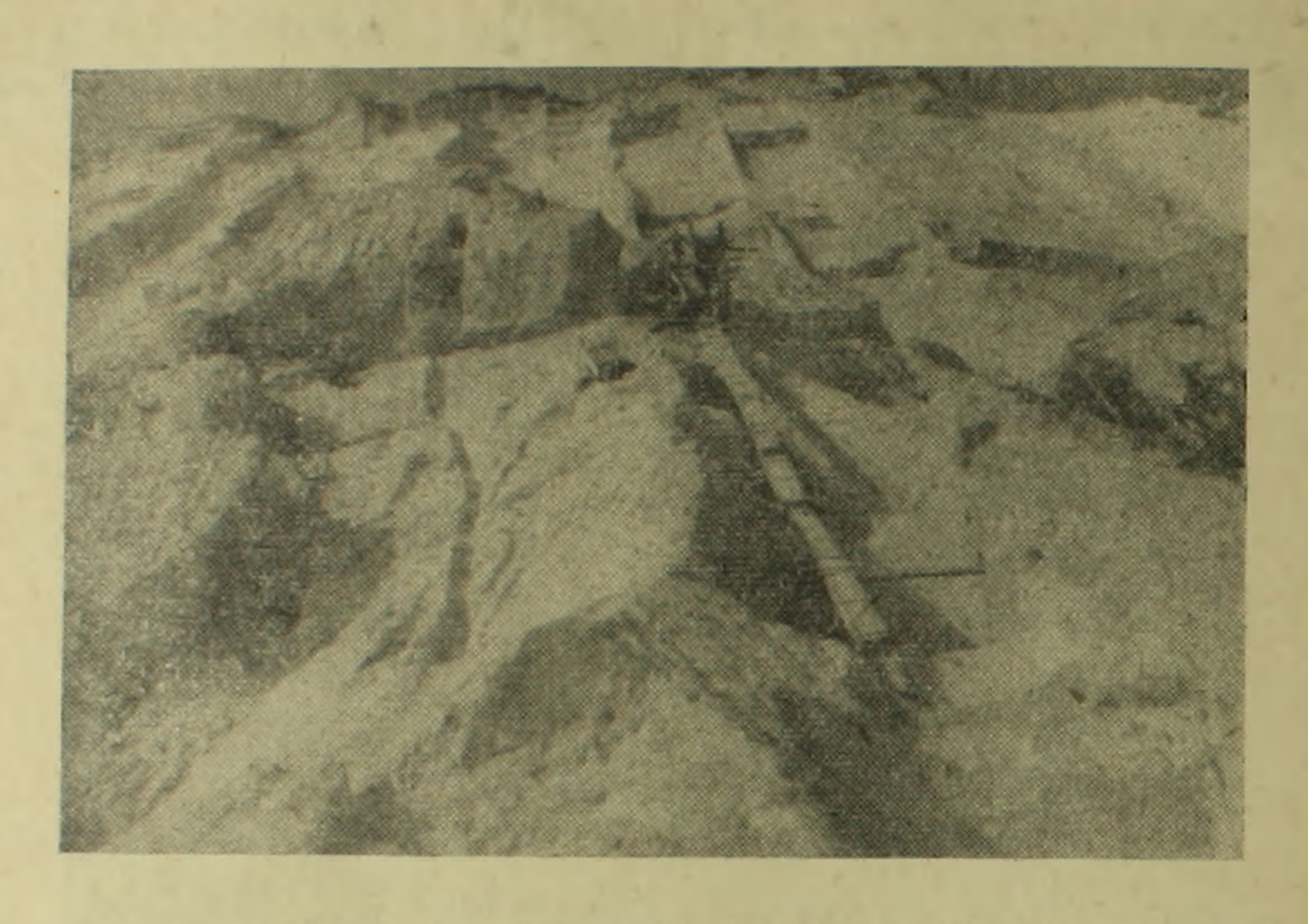
В дальнейшем формируются вулканы куполовидной формы с потоками риолитовых обсидианов. С деятельностью вулканов этого типа связано формирование в Италии крупного месторождения пемзы.

Месторождение занимает северо-восточную часть острова. Идя вдоль восточного побережья северной части острова можно было видеть слоистое сложение пемзовой толщи, мощностью сто и более метров.

В долинообразном углублении поверхности пемзы залегает поток обсидиана, длиною в 1 км, берущий начало от кратера и спускающийся

в море. Поток в некоторых частях компактный, но в основном имеет слоистую или струйчатую текстуру. Местами он сильно изменен фумаральной деятельностью.

Несмотря на свои крупные размеры, месторождение разрабатывается довольно примитивно с применением дешевой рабочей силы. Интересна система разработки: добываемая наверху пемзовая масса по заранее под-



Фиг. 3. Участок карьера пемзы на острове Липари.

тотовленным вертикальным стволам проходит через сито различных диаметров, вследствие чего отделяются фракции различной крупности.

Более чистая сортировка и упаковка производится на фабрике, находящейся тут же, на берегу моря. Там же производится погрузка на корабли и отправка.

На о. Липари мы осмотрели также риолитовые игнимбриты, кордиеритовые андезиты и ряд других интересных образований.

27 сентября мы прибыли на вулкан Стромболи и в тот же день поднялись на его вершину.

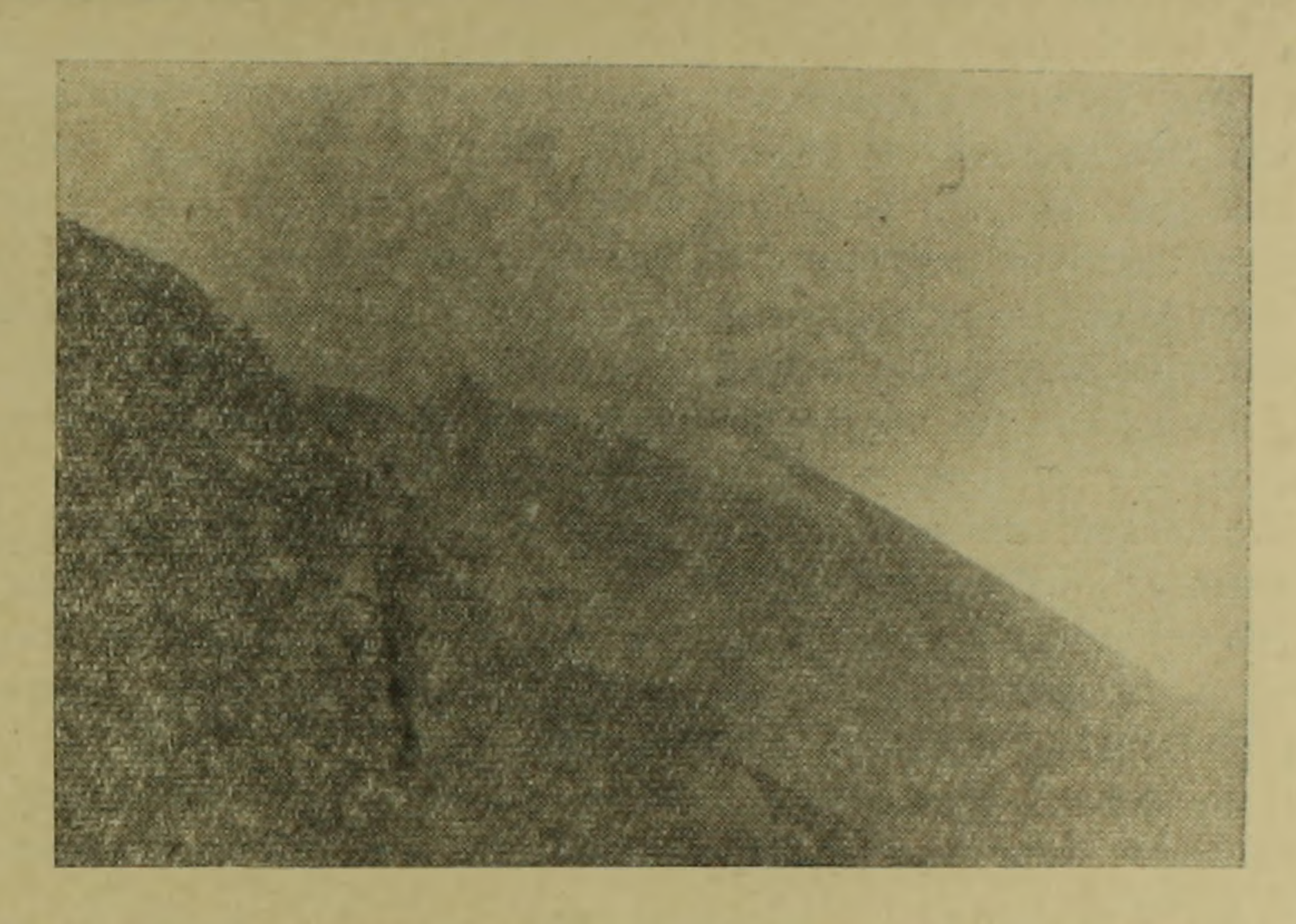
Вулкан Стромболи по продолжительности своей активности наиболее известный среди вулканов Липарских островов. Беспрерывная деятельность этого вулкана продолжается уже несколько тысячелетий. Непрерывная центральная активность вулкана, представленная выбросами шлаков, пепла и фонтанов лавы, сопровождается иногда излияниями лавовых потоков. По составу вулканические продукты основные — это базальты, трахибазальты и трахиандезиты.

На вершину горы Стромболи ведет специально построенная для туристов пешеходная дорога. Нижние и средние склоны вулкана местами покрыты густой растительностью. При подъеме на вершину по ряду обнажений можно видеть слагающие склоны вулкана шлаки, пеплы и туфы, переслаивающиеся с лавами.

Высота вулкана Стромболи со дна моря около 2000 м, из которых 926 м возвышается над уровнем моря. Площадь, занимаемая вулканом. 12 км².

Наиболее высокая часть горы представляет остаток древнего кратера имеет полукольцевую форму, открытую в северо-западном направлении.

Современный действующий кратер содержит пять пологих эруптивных конусов. Наибольший из них расположен в северо-восточной части кратера и находится в постоянной активности, извергая с небольшими интервалами фонтаны лавы.



Фиг. 4. Фумаролы на внешнем склоне кратера Стромболи.

Извержение сопровождается глухим громыханием. Иногда вместо лавового фонтана наблюдаются высокие резкие взрывы пламени, причиной которых являются взрывы газовой смеси, состоящей из водорода и воздуха.

Поднявшись на вершину и наблюдая за извержением, мы ждали наступления ночи, когда выбросы раскаленных лавовых фонтанов в ночном небе представляют особо красивое зрелище и оставляют неизгладимое впечатление.

29 сентября, рано утром мы прибыли в Неаполь и, сойдя с поезда, тут же на автобусах отправились на знаменитые Флегрейские поля, где нам представилась возможность осмотреть несколько разрезов туфов и «Сольфатару».

Согласно имеющимся представлениям, Флегрейские поля по своему геологическому строению представляют сложную кальдеру с диаметром 14 км, в которой расположены до 50 эруптивных центров; это район все еще продолжающегося активного вулканизма. Разделенный большим сбросом, южный блок кальдеры погружается под уровень моря.

Особый интерес для нас представлял осмотр знаменитых «пиперно», известия, XV, № 2—6

поскольку очень часто при описании туфолав или игнимбритов многие исследователи, как у нас, так и за рубежом ссылаются на сходство с пиперно.

Многие из изучавших армянские туфы, основываясь на литературные данные также находили в них сходство с пиперно. Однако, как нам пришлось убедиться, между армянскими туфами и туфами Флегрейских полей существует скорее всего лишь некоторое внешнее структурное сходство, чем генетическое.

Собственно, в районе Флегрейских полей известны две разновидности туфовых пород кроме пиперно — это так называемые желтые неаполитанские туфы. Последние внешне похожи на наши пемзовые туфы анийского типа. Это хаотические образования, состоящие из пемзы, пепла, отдельных кристаллов и более плотных кусков лапилли. При мощности несколько десятков метров отсутствует какая-либо слоистость или градация материала. Это субареальные образования, в которых устанавливается некоторая аналогия с игнимбритами, но в отличие от них в желтых туфах при весьма незначительной роли спекания имеет место цементация посредством гидротермальных и пневматолитовых процессов.

Что касается пиперно, то эта порода состоит из темносерых фьямме, заключенных в тонкозернистую светлую главную массу. Выше по разрезу пиперно переходит в туф, где фьямме отсутствуют и процессы спекания выражены весьма слабо. По всей мощности слои пиперно подвергнуты автопневматолизу и перекристаллизации.

В настоящее время итальянские ученые пиперно рассматривают как разновидность игнимбритов, образовавшихся вследствие извержения лавовых фонтанов.

Вторую половину дня мы посвятили осмотру «Сольфатары». Так называется расположенный недалеко от Неаполя кратер, находящийся в стадии фумарольной активности. Нам пришлось наблюдать, как во многих местах, в кратере под большим давлением выходят нагретые до 140—150° газы, состоящие из водяных паров H_2S , CO_2 со следами AgH_3 . Кругом у выходов видны отложения серы. Местами, выходящие на поверхность, высоконагретые воды образуют кипящие грязевые лужи.

На второй день нашего пребывания в Неаполе мы отправились на остров Искью. Искья является первоклассным по красоте своей природы туристическим центром, но и для геологов этот юстров представляет большой интерес своими горячими источниками и фумаролами, большим числом сбросов и других нарушений вулкано-тектонического характера, слагающими остров разнообразными типами вулканических пород, представленными трахитами и родственными с ними латитами, содалитовыми фонолитами.

октября, что официально можно считать днем окончания работы симпозиума, была совершена экскурсия на Везувий и в т. Помпею.

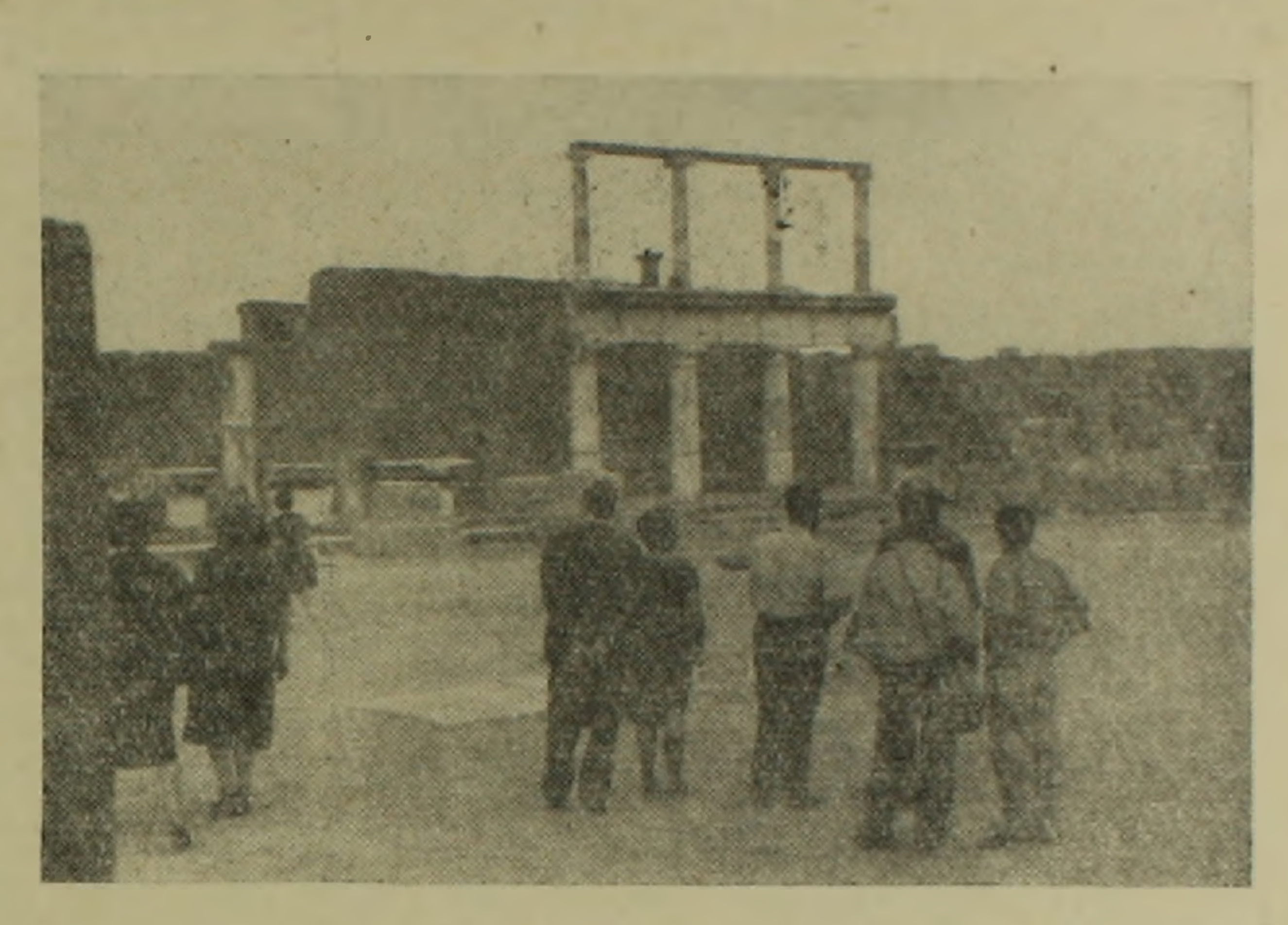
При подъеме на Везувий мы имели возможность ознакомиться не только с особенностями строения этого классического по типу вулканиче-

ского сооружения, известного в литературе как атрио-вулкана или вулкана типа Соммы, но и лавовыми потоками 1858 г. и 1944 г.

Первый из них представляет волнистую текучую лаву типа пехуху; лава 1944 г. представляет типичный лейцитовый тефрит.

В завершении осмотра Везувия мы поднялись по подвесной канатной дороге на ее вершину, представляющую гребень кратера. Хорошее обнажение (300 м глубина) эллиптического кратера с почти отвесными стенами позволило рассмотреть все наслоения вулканических пород и другие особенности его строения.

На южной стенке кратера наблюдался слабый выход фумарол.



Фиг. 5. Осмотр развалин Помпеи

Прибыв в Помпею, наряду с осмотром раскопок древнего города, мы ознакомились с пирокластическими продуктами извержения, обрушившимися в 79 году до н. э. на город.

Разрез пород представлен в основном мелкой пемзой, переходящей кверху в вулканический песок и пепел. Общая мощность слоя 3,5 м. В основании разреза каменные лапилли, представляющие куски взорванной пробки вулканического канала.

Осмотром Помпен работа симпозиума была завершена и Советская делегация выехала в Рим, откуда 5 октября вылетела на Родину.

Институт геологических наук АН Армянской ССР

Поступила 10.1. 1962.

կ Գ. ՇիբինցԱՆ

«ԻԳՆԻՄԲՐԻՏՆԵՐ ԵՎ ՀԻԱԼՈԿԼԱՍՏԻՏՆԵՐ» ՄԻՋԱԶԳԱՅԻՆ ՍԻՄՊՈԶԻՈՒՄԸ ԻՏԱԼԻԱՅՈՒՄ

Uniphali

1961 թ. սեպտեմբերի 15-ից մինչև Տոկտեմբերի 1-ը Իտալիայում կայացավ իգնիմբրիտների և հիալոկլաստիտների առաջացման հարցերին նվիրված ղ իծանգայիր որը ահականիսւը։

Սիմպոզիումի աշխատանքներին մասնակցում էին քսանմեկ հրկրներո ճարյուր պատգամավորներ։ Քննարկման էին ներկայացված ավելի քան 50

ցեկուցումներ, որոնցից 11-ը հիալոկլաստիտների վերաբերյալ։

Սովետական Միության կողմից սիմպողիումի աշխատանքներին մասնակցեցին Վ. Հ. Վլոդավեցը, Վ. Պ. Պետրովը, Ն. Հ. Խիտարովը և Կ. Գ. Շիրինյանը։ Սիմպոզիումին էին ներկայացված սովետական դիտնականների 8 ղեկուցումներ։ Սիմպոզիումի սեսիոն նիստերը տեղի ունեցան Սիցիլիա կղզու Կատանիա քաղաքում, որոնց հաջորդեցին մի շարք հետաքրքիր էքսկուրսիաներ։ Առաջին էքսկուրսիան անցկացվեց Սիցիլիա կղզու հարավ-արևելյան մասում, որտեղ մեծ տարածում ունեն ստորջրյա ժայթքման բազմաթիվ ապարներ և, առանձնապես, մեծ հետաքրքրություն ներկայացնող հիալոկլասաիտները։

Մյուս էքսկուրսիաների ընթացքում, որոնք տեղի ունեցան Էոլյան (Լիպարյան) հրաբխային կղզիների շրջանում, պատգամավորները հնարավորություն ունեցան ծանոթանալու Վուլկանո հրաբխի հետ, որը այժմ գտնվում Լ ակտիվության սոլֆատարային ստադիայում, այցելեցին Լիպարի կղզին, որտեղ ծանոթացան պեմզայի խոշորագույն հանքավայրերից մեկի, ինչպես րար ղի շաևճ անն չբատեևճիև տաանքրել :բա։

Բարձրանալով գործող Ստրոմբոլի հրաբխի գապանը, հրարավորություն ստեղծվեց դետելու հրաբխի ժամանակակից խառնարանը և նրանից տեղի ուրբնում քաղանիր Հատևվարրբերի գանքեսւուրբևեւ

Մեծ չետաքրքրություն էին ներկայացնում նաև հաջորդ էքսկուրսիանևրը. որոնց ընթացքում հնարավորություն տրվեց ծանոթանալու, այսպես կոչված. ֆլեգրեյան դաշտի տուֆերի հետ, ինչպես նաև այցելել նույն շրջանում գրտնրվող դեռևս ակտիվ Սոլֆատար խառնարանը, ծանոթանալ Իսկիա կղզու երկսաբանական կառուցվածքի և այնտեղ տարածված մի շարբ ալկալային ապարների հետ։ Էքսկուրսիաների վերջին օրը նվիրված էր Վեզուվի հրաբխի կասունվացեի ը տվը իտնղաման տահանրբևի աւռաւղըտորևողարև։

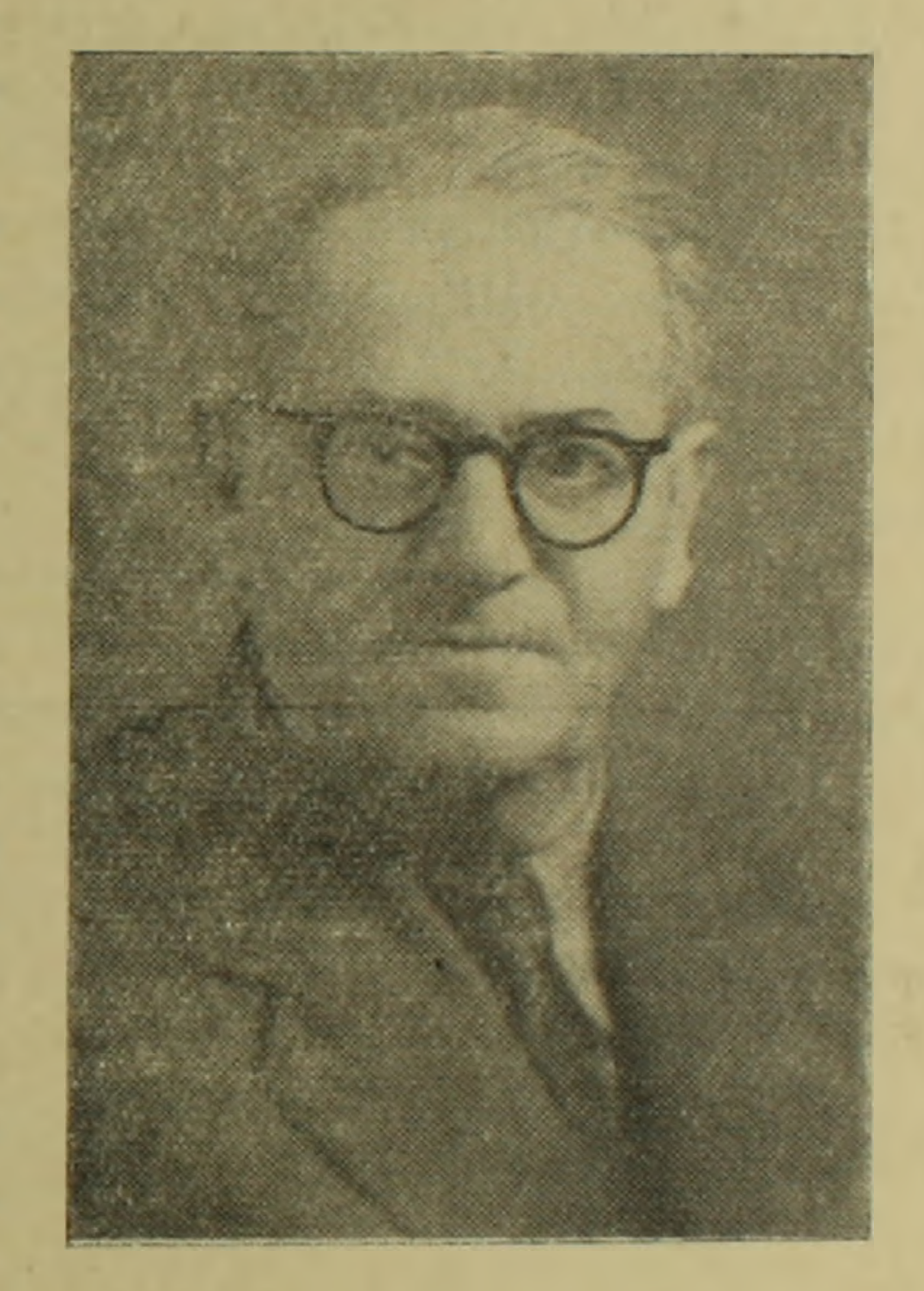
Այդ էքսկուրսիայի ընթյացքում կազմակհրալվեց նաև հնագույն Պոմպեյ ճամաճի միասուըև։

2ก42นโโยบ บระ**ค**นโ3นโ

Փետրվարի 9-ին, 74 տարեկան հասակում, ծանր հիվանդությունից հետո վախճանվեց սովետահայ ականավոր աշխարհագրադետ Հովհաննես Սարգսի Ստեփանյանը։ Մեզանից հեռացավ վառ հայրենասերը և հայ մշակույթի անխոնջ աշխատավորը, որի ողջ դիտակցական կյանքը նվիրված է եղել ժողուվըրդին ծառայելուն։

Հովհաննես Ստեփանյանը ծնվել է 1888 թ. Բաքվում, ծառայողի ընտանիքում։ Նրա ծնողները ծագումով գյուղացի էին, նախկին Երևանյան նահան-

գի Ագուլիս գյուղից, որտեղ հաճախա-4ի հյուր էր լինում պատանի Հովհաննեսը։ Հայրենի բնաշխարհի՝ հնամենի Գողթան դավառի շունչը հոգում, ուսման անհագուրդ տենչով բռնկված նա հաստատ մտադրվում է իր ուժերը նվիրել երկրի աշխարհագրական ուսումնասիրություններին։ 1908 թվին ավարտելով Թիֆլիսի արական գիմնազիան, նա ընդունվում է Մոսկվայի համալսարանի պատմա-բանասիրական ֆակուլտետր և ունկնդրում է աշխարհագրության հարցերի շուրջը կարդացվող դասախոսություններին։ Այն ժամանակ Որուսաստանում աշխարհագրական ֆակուլտետներ դեռևս չկային. մասնադիտական կրթության պակասը հարկ է լինում լրացնել ինքնուրույնաբար։ Համալսարանն ավարտելուց հետո 1915 թվից Հ. Ստեփանյանն անցնում է մանկավարժական աշխա-



տանքի, դասավանդելով պատմություն և աշխարհադրություն էջմիածնի Գեվորգյան ճեմարանում, Թիֆլիսի Գայանյան ուսումնարանում, Երևանի գիմնազիանհրում։ Առավել բազմակողմանի է դառնում նրա գործունեությունը
Հայաստանում սովետական կարդերի հաստատումից հետո։ Մանկավարժական նորաստեղծ Բանֆակում, Լենինականի ֆինանսա-տնտեսագիտական
ինստիտուտում, Երևանի Պետական համալսարանում դասախոսություններ
կարդալուց բացի Հ. Ստեփանյանը հռանդուն կերպով աշխարհադրական գիտելիջներ է տարածում աշխատավորական կոլնկտիվներում, Կարմիր բանակի

վորամասերում, պիոներների և դպրոցականների պալատում և այլն։ Հարուստ դիտելիքների, հյութեղ ու գրավիչ լեզվի շնորհիվ նրա դասախոսություններն ու

Մեծ էր Հ. Ստեփանյանի գիտական նախասիրությունների շրջանակը։ Նա զբաղվում էր աշխարհագրության պատմության և պատմական աշխարհագրության, քարտեզագրության և ֆիզիկա-աշխարհագրական շրջանացման Տարցերով։ Նա Հայկական աշխարհագրական ընկերության հիմնադիրներից մեկն էր և նրա գիտնական քարտուղարը 25 տարի շարունակ։ Նա աշխատել է իբրև ՀՍՍՌ Լուսժողկոմատի աշխարհագրության հանձնաժողովի նախագահ, ակտիվորեն մասնակցել է ՀՍՍՌ Գերագույն Սովհտի տրանսկրիպցիոն հանձնաժողովի գործունեությանը, հրատարակել է ռևսպուբլիկայի աշխարհագրական անունների վերաբերյալ տեղեկատու ձեռնարկ, մի շարք բրոշյուրներ, բազմանիվ հոդվածներ և քարտեզներ։ Նրա նարգմանունյամբ և խմբագրությամբ լույս են տեսել Սովետական Միության ականավոր աշխարհագրագետների կազմած բուհական և դպրոցական շատ դասագրքեր, ինչպես նաև Վ. Ի. լենինի մի շարք աշխատություններ. նա աշխատակցել է գանազան ամսագրերի և կոլեկտիվ գիտական հրատարակությունների։ Հ. Ստեփանյանի գրչին է պատկանում նաև «Հայ քարտեզագրական հրատարակությունները 260 տարում» աշխատությունը, որը հեղինակի երկարամյա հետազոտությունների արդյունքն է և եզակի տեղ է գրավում մեր աշխարհագրական գրականության մեջ։ Նրա ամենախոշոր գործը, սակայն, ռուսերեն լեզվով գրված «Հայկական ՍՍՈ ֆիզիկա-աշխարհագրական շրջանացումն է»՝ հայրենի երկրի բնության անձնական ուսումնասիրությունների և գոյություն ունեցող գրական տվյալների քննադատական վերլուծության և ընդհանրացման արդասիքը, որը தயப்ரை பரமர் մինչև այժմ լույս չի ընծայված և անծանոթ է մասնագետների լայն շրջաններին։

Թե՛ իր հասարակական աշխատանքներում և Թե՛ գիտա-մանկավարժական գործունեության մեջ Հովհաննես Ստեփանյանը ցուցաբերել է նվիրվածություն ու եռանդ և վայելել է շրջապատի սերն ու հարդանքը։

Նրա հիշատակը միշտ վառ կմնա մեր սրտերում։

8եկոսնիիա 	40
Ս. Կ. Արզումանյան. Նոր տվյալներ Երևանյան աղարհը ավագանի տեկտոնիկայի վե- րաթեթյալ	3
Հրաբխագիտություն	
. Կ. Ի. Կարապետյան, Առմաղանի հրարուխը․ ․ ․ ․ ․ ․ ․ ․ ․ ․ ․ ․ ․	13
Մինեւալոգիա	
Ռ. և Զառյան. Թելուրիդները և կասլարի Թելուրիտը Ղափանի պղնձի հանջավայրում	25
Գեոքիմիա	
Մ. Ս. Սաթիան, Է. Ա. Կյուրեղյան, Գ. Մ. Մկրտչյան, Մ. Ցա. Մարտիրոսյան. Մոլիը-	31
Հիդrոզեոքիմիա	
Ա. Ռ. Դալսայան. Շորժայի քրոմիտի հանքավայրի հիդրոգեոքիմիայի հարցի չուրջը Ս. Ռ. Կրայնով, Մ. Խ. Կորոլկովա. Հայաստանի ածխաթթվային ջրերում մի բանի միկրոտարրերի տարածման օրինաչափությունների մասին	35
Ֆիզիկական աշխարհագրություն	
Կ. Գաբրիելյան, <i>Հայկական ՍՍՌ-ում հավերժական սառցույթի հարցի մասին</i>	59
Գիsության պաsւՐություն	
է. Ա. Ավագյան, <i>Գետրոս Ղամբարյան</i>	69
Գիքական խոսնիկա	
Կ- Դ. Շիրինյան. «Իգնիմբրիտներ և հիալոկլաստիտներ» միջազգային սիմպոզիումը Իտալիայում	75
Հովճաննես Ստեփանյան	8.5

СОДЕРЖАНИЕ

	Стр.
Тектоника	
С. К. Арзуманян. Новые данные о тектонике Ереванского соленосного бассейна	3
Вулканология	
К. И. Карапетян. Вулкан Армаган. · · · · · · · · · · · · · · · · · · ·	15
Минералогия	
Р. Н. Зарьян. Теллуриды и теллурит свинца в рудах Кафанского месторождения	25
Геохимия	
М. А. Сатиан, Э. А., Кюрегян, Г. М. Мкртчян, М. Я. Мартиросян. О ра- спространении молибдена в отложениях Большого Севана • • • • • • •	31
Гидрогеохимия	
А. Р. Галстян. К вопросу о гидрогеохимии Шоржинского хромитового месторождения	35
С. Р. Крайнов, М. Х. Королькова. О закономерностях распространения некоторых микроэлементов в углекислых водах Армении	43
Физическая география	
Г. К. Габриелян. К вопросу вечной мерзлоты в Армянской ССР	59
История науки	
Л. А. Авакян. Петрос Гамбарян	69
Научная хроника	
К. Г. Ширинян. Международный симпозиум "Игнимбриты и гиалокластиты" в Итааии · · · · · · · · · · · · · · · · · ·	75
Оганес Степанян	85
STATE	

ВФ 90514. Заказ 84, изд. 2083, тираж 600, объем 5¹/₂ п. л.

4. P. B. 7. W. P. W. L.